

มีเทนชั้นของคาร์บอนมอนอกไซด์และคาร์บอนไดออกไซด์บนตัวเร่งปฏิกิริยานิกเกิลออกไซด์/ทัลก์

นางสาววิจิณาภรณ์ คำบุญเรือง

วิทยานิพนธ์นี้เป็นส่วนหนึ่งของการศึกษาตามหลักสูตรปริญญาวิทยาศาสตรมหาบัณฑิต

สาขาวิชาเทคโนโลยีเชื้อเพลิง ภาควิชาเคมีเทคนิค

คณะวิทยาศาสตร์ จุฬาลงกรณ์มหาวิทยาลัย

ปีการศึกษา 2555

ลิขสิทธิ์ของจุฬาลงกรณ์มหาวิทยาลัย

บทคัดย่อและแฟ้มข้อมูลฉบับเต็มของวิทยานิพนธ์ตั้งแต่ปีการศึกษา 2554 ที่ให้บริการในคลังปัญญาจุฬาฯ (CUIR)

เป็นแฟ้มข้อมูลของนิสิตเจ้าของวิทยานิพนธ์ที่ส่งผ่านทางบัณฑิตวิทยาลัย

The abstract and full text of theses from the academic year 2011 in Chulalongkorn University Intellectual Repository(CUIR) are the thesis authors' files submitted through the Graduate School.

METHANATION OF CO AND CO₂ ON NiO/TALC CATALYST

Miss Watchanaporn Khambunrueang

A Thesis Submitted in Partial Fulfillment of the Requirements
for the Degree of Master of Science Program in Fuel Technology

Department of Chemical Technology

Faculty of Science

Chulalongkorn University

Academic Year 2012

Copyright of Chulalongkorn University

หัวข้อวิทยานิพนธ์	มีเทนเนสชันของคาร์บอนมอนอกไซด์และคาร์บอนไดออกไซด์บนตัวเร่งปฏิกิริยานิกเกิลออกไซด์/ทัลก์
โดย	นางสาววิจิณาภรณ์ คำบุญเรือง
สาขาวิชา	เทคโนโลยีเชื้อเพลิง
อาจารย์ที่ปรึกษาวิทยานิพนธ์หลัก	ผู้ช่วยศาสตราจารย์ ดร. ประพันธ์ คูชดถาวรา

คณะวิทยาศาสตร์ จุฬาลงกรณ์มหาวิทยาลัย อนุมัติให้บัณฑิตวิทยาลัยรับนี้เป็นส่วนหนึ่งของการศึกษาตามหลักสูตรปริญญาวิทยาศาสตรบัณฑิต

..... คณบดีคณะวิทยาศาสตร์
(ศาสตราจารย์ ดร.สุพจน์ หารหนองบัว)

คณะกรรมการสอบวิทยานิพนธ์

..... ประธานกรรมการ
(รองศาสตราจารย์ ดร.แก้วลี พุกษาทอ)

..... อาจารย์ที่ปรึกษาวิทยานิพนธ์หลัก
(ผู้ช่วยศาสตราจารย์ ดร.ประพันธ์ คูชดถาวรา)

..... กรรมการ
(ผู้ช่วยศาสตราจารย์ ดร. ประเสริฐ เวียบร้อยเจริญ)

..... กรรมการภายนอกมหาวิทยาลัย
(ดร. สุชาดา บุตรนาค)

วัจนาภรณ์ คำบุญเรือง :มีเทนเนชันของคาร์บอนมอนอกไซด์และคาร์บอนไดออกไซด์บนตัวเร่งปฏิกิริยานิกเกิลออกไซด์/ทัลก์. (METHANATION CO AND CO₂ ON NiO/TALC CATALYST) อ. ที่ปริกษาวิทยานิพนธ์หลัก : ผศ. ดร. ประพันธ์ คุชฌาภา, 103 หน้า.

งานวิจัยนี้ศึกษาการผลิตมีเทนจากมีเทนเนชันของคาร์บอนมอนอกไซด์และคาร์บอนไดออกไซด์ในเครื่องปฏิกรณ์แบบเบดนิ่ง ที่อุณหภูมิ 400 500 และ 600 องศาเซลเซียส นอกจากนี้ยังทำการศึกษาปัจจัยอื่นๆ เช่น ความดัน อัตราส่วนโดยโมลที่ทำปฏิกิริยาของไฮโดรเจนต่อคาร์บอนมอนอกไซด์และคาร์บอนไดออกไซด์ที่มีผลต่อร้อยละการเปลี่ยนของสารตั้งต้นและการเลือกเกิดมีเทนของปฏิกิริยา ตัวเร่งปฏิกิริยาที่ใช้จะเป็นตัวเร่งปฏิกิริยาชนิดโลหะนิกเกิลบนตัวรองรับทัลก์ที่ผ่านการปรับปรุงประสิทธิภาพแล้ว จากผลทดลองพบว่าตัวเร่งปฏิกิริยาชนิดนี้สามารถเร่งการเกิดมีเทนในมีเทนเนชันได้อย่างมีประสิทธิภาพ เมื่อมีการเพิ่มอุณหภูมิ ความดัน และเพิ่มอัตราส่วนของโมลไฮโดรเจน โดยภาวะดำเนินการที่เหมาะสมของปฏิกิริยามีเทนเนชันของคาร์บอนมอนอกไซด์ คือ ที่ภาวะอุณหภูมิ 600 องศาเซลเซียส ความดันบรรยากาศ อัตราส่วนโดยโมลของไฮโดรเจนต่อของคาร์บอนมอนอกไซด์ในปฏิกิริยาคาร์บอนมอนอกไซด์มีเทนเนชัน คือ 3 ต่อ 1 ร้อยละการเปลี่ยนของสารตั้งต้น คือ 100 และร้อยละการเลือกเกิดมีเทน คือ 51.3 และผลของปฏิกิริยามีเทนเนชันของคาร์บอนไดออกไซด์ที่ภาวะอุณหภูมิและความดันเดียวกัน โดยใช้อัตราส่วนโดยโมลของไฮโดรเจนต่อคาร์บอนไดออกไซด์ในปฏิกิริยามีเทนเนชันของคาร์บอนไดออกไซด์ คือ 4 ต่อ 1 ร้อยละการเปลี่ยนของสารตั้งต้น คือ 85 และร้อยละการเลือกเกิดมีเทน คือ 70.5 ผลการทดลองที่ได้นี้สามารถสรุปได้ว่าตัวเร่งปฏิกิริยานิกเกิลบนตัวรองรับทัลก์มีประสิทธิภาพในการเร่งปฏิกิริยามีเทนเนชันของคาร์บอนมอนอกไซด์และคาร์บอนไดออกไซด์ ที่ภาวะในการทำปฏิกิริยาที่อุณหภูมิ 600 องศาเซลเซียส ที่ความดันบรรยากาศได้

ภาควิชา.....เคมีเทคนิค.....ลายมือชื่อนิสิต.....
 สาขาวิชา.....เทคโนโลยีเชื้อเพลิง.....ลายมือชื่อ อ.ที่ปริกษาวิทยานิพนธ์หลัก.....
 ปีการศึกษา.....2555.....

5372525723 : MAJOR FUEL TECHNOLOGY

KEY WORDS : METHANATION/ NIO/TALC CATALAYST

WATCHANAPORN KHAMBUNRUEANG: METHANATION OF CO AND CO₂ ON
NiO/TALC CATALYST. ADVISOR : ASST.PROF.PRAPAN KUCHONTHARA, Ph.D.,
103 pp.

This research studied methane production of carbon monoxide (CO) and carbon dioxide (CO₂) in a fixed-bed reactor at temperature of 400 – 600 °C. The other parameters, such as pressure and molar ratio of H₂/CO and H₂/CO₂ which affects to CO and CO₂ %conversion and selectivity of methanation, were also studied. Nickel Oxide supported Talcum (NiO/Talc) was used as a catalyst. The result showed that NiO/Talc was capable of enhancing %conversion and %selectivity of reactants to methane at higher temperature, pressure and molar ratio of H₂. The optimum conditions for CO methanation were temperature of 600 °C at atmospheric pressure with H₂/CO molar ratio about 3 : 1. That gave 100 %conversion and 51.3 %selectivity. The other one, CO₂ methanation, optimum conditions were temperature of 600 °C at atmospheric pressure with H₂/CO₂ molar ratio about 4 : 1. It gave 85 %conversion and 70.5 %selectivity. These results approved that NiO/Talc was able to give high selectivity toward methane for both of CO and CO₂ methanation at temperature of 600 °C and atmospheric pressure.

Department :Chemical Technology..... Student's Signature.....

Field of Study :Fuel Technology..... Advisor's Signature.....

Academic Year : 2012.....

กิตติกรรมประกาศ

วิทยานิพนธ์ฉบับนี้สำเร็จลุล่วงได้ด้วยดีด้วยความช่วยเหลืออย่างดียิ่งของ ผู้ช่วยศาสตราจารย์ ดร. ประพันธ์ คูชดธาวา อาจารย์ที่ปรึกษา ซึ่งท่านได้ให้คำแนะนำและข้อคิดเห็นต่างๆ ด้วยดีตลอดมารวมทั้งคณาจารย์ทุกท่านในภาควิชาเคมีเทคนิคที่ได้ให้คำแนะนำในงานวิจัยนี้

งานวิจัยนี้ สำเร็จลุล่วงได้ด้วยดีโดยได้รับการสนับสนุนเงินทุนจากโครงการพัฒนาบัณฑิตศึกษาและวิจัยด้านเชื้อเพลิง และ ทุนอุดหนุนงานวิจัยในโครงการวิจัยร่วมของคณะวิทยาศาสตร์กับบริษัท ปตท. จำกัด (มหาชน) ผู้วิจัยต้องขอขอบพระคุณมา ณ ที่นี้

ขอกราบขอบพระคุณ รองศาสตราจารย์ ดร.เก็จวดี พฤษาทร ประธานกรรมการสอบวิทยานิพนธ์ ผู้ช่วยศาสตราจารย์ ดร.ประเสริฐ เรียบร้อยเจริญ ดร.สุชาติ บุตรนาค กรรมการสอบวิทยานิพนธ์ ที่กรุณาให้คำแนะนำในการจัดทำวิทยานิพนธ์ให้มีความสมบูรณ์

ขอขอบพระคุณเจ้าหน้าที่ของภาควิชาเคมีเทคนิคทุกท่าน ที่ให้ความช่วยเหลือในการสร้างซ่อมแซมเครื่องมือและอำนวยความสะดวกในการใช้เครื่องมือในการทดลองและห้องปฏิบัติการ

สุดท้ายนี้ขอกราบขอบพระคุณบิดา มารดา ญาติพี่น้อง ที่ให้ความช่วยเหลือ เป็นกำลังใจอย่างดีและให้การสนับสนุนจนสำเร็จการศึกษา รวมทั้งขอขอบคุณพี่ๆ เพื่อนๆ และน้องๆ ชาวเคมีเทคนิคทุกคนที่ให้กำลังใจ ช่วยเหลือและให้คำแนะนำด้วยดีเสมอมา

สารบัญ

	หน้า
บทคัดย่อภาษาไทย.....	ง
บทคัดย่อภาษาอังกฤษ.....	จ
กิตติกรรมประกาศ.....	ฉ
สารบัญ.....	ช
สารบัญตาราง.....	ฅ
สารบัญรูป.....	ญ
บทที่	
1 บทนำ.....	1
1.1 ความสำคัญและที่มาของโครงการ.....	1
1.2 วัตถุประสงค์.....	3
1.3 ขอบเขตของงานวิจัย.....	3
1.4 ขั้นตอนในการดำเนินงานวิจัย.....	3
1.5 ประโยชน์ที่คาดว่าจะได้รับจากงานวิจัย.....	4
2 วารสารปริทรรศน์.....	5
2.1 แก่สธรรมชาติ.....	5
2.2 กระบวนการผลิตก๊าซธรรมชาติสังเคราะห์.....	8
2.3 กระบวนการแกซีพีเคชั่น.....	9
2.4 กระบวนการมีเทนชั่น.....	12
2.5 ตัวเร่งปฏิกิริยาเคมี.....	17
2.6 การเตรียมตัวเร่งปฏิกิริยาโดยการฝังเคลือบ(impregnation).....	25
2.7 งานวิจัยที่เกี่ยวข้อง.....	27
3 เครื่องมือและวิธีการทดลอง.....	31
3.1 เครื่องมือและอุปกรณ์การทดลอง.....	31
3.2 สารตั้งต้นและสารเคมี.....	35
3.3 วิธีการทดลอง.....	36

บทที่	๗ หน้า
4 ผลการทดลองและการวิเคราะห์ผลการทดลอง.....	41
4.1 สมบัติทางกายภาพของตัวเร่งปฏิกิริยาก่อนใช้.....	42
4.2 ปฏิกิริยาคาร์บอนมอนอกไซด์มีเทนในเครื่องปฏิกรณ์แบบเบดนิ่ง.....	46
4.3 ปฏิกิริยาคาร์บอนไดออกไซด์มีเทนในเครื่องปฏิกรณ์แบบเบดนิ่ง.....	56
4.4 เสถียรภาพของตัวเร่งปฏิกิริยา.....	66
4.5 ผลของ Gas Hour Space Velocity.....	71
5 สรุปผลการทดลอง และข้อเสนอแนะ.....	76
5.1 สรุปผลการทดลอง.....	76
5.2 ข้อเสนอแนะ.....	78
รายการอ้างอิง.....	79
ภาคผนวก.....	82
ภาคผนวก ก.....	83
ภาคผนวก ข.....	85
ภาคผนวก ค.....	87
ภาคผนวก ง.....	99
ประวัติผู้เขียนวิทยานิพนธ์.....	103

สารบัญตาราง

ณ

ตารางที่	หน้า
2.1 องค์ประกอบโดยทั่วไปของก๊าซธรรมชาติ.....	5
2.2 การแบ่งประเภทของตัวเร่งปฏิกิริยาชนิดวิวิธพันธุ์.....	20
2.3 ประเภทของตัวเร่งปฏิกิริยาแบบเนื้อผสม.....	22
3.1 ภาวะที่ใช้ในการวิเคราะห์แก๊สด้วยเครื่องแก๊สโครมาโทกราฟี.....	34
3.2 อัตราการไหลที่ใช้ในการทดลอง.....	38
ค1 ความเข้มข้นของผลิตภัณฑ์แก๊สแต่ละชนิดของตัวมาตรฐาน (Standard).....	87
ค2 ความเข้มข้นของแก๊สตั้งต้นก่อนเริ่มทำปฏิกิริยาคาร์บอนมอนอกไซด์มีเทนชั้นแต่ละชนิด.....	88
ค3 ความเข้มข้นของแก๊สผลิตภัณฑ์ของปฏิกิริยาคาร์บอนมอนอกไซด์มีเทนชั้นแต่ละชนิด....	88
ค4 ความเข้มข้นของแก๊สแต่ละชนิดของตัวมาตรฐาน (Standard).....	93
ค5 ความเข้มข้นของแก๊สตั้งต้นก่อนเริ่มทำปฏิกิริยาคาร์บอนไดออกไซด์มีเทนชั้นแต่ละชนิด.....	94
ค6 ความเข้มข้นของแก๊สผลิตภัณฑ์ของปฏิกิริยาคาร์บอนไดออกไซด์มีเทนชั้นแต่ละชนิด....	94
ง1 ข้อมูลการทดลองผลของความดัน และอุณหภูมิ โดยใช้ตัวเร่งปฏิกิริยา 10% wt NiO/talc และกรณีไม่ใช้ตัวเร่งปฏิกิริยา ที่อัตราส่วนโดยโมลของไฮโดรเจนต่อโมลของคาร์บอนมอนอกไซด์ เท่ากับ 2/1 ในปฏิกิริยาคาร์บอนมอนอกไซด์มีเทนชั้น.....	99
ง2 ข้อมูลการทดลองผลของความดัน และอุณหภูมิ โดยใช้ตัวเร่งปฏิกิริยา 10% wt NiO/talc และกรณีไม่ใช้ตัวเร่งปฏิกิริยา ที่อัตราส่วนโดยโมลของไฮโดรเจนต่อโมลของคาร์บอนมอนอกไซด์ เท่ากับ 3/1 ในปฏิกิริยาคาร์บอนมอนอกไซด์มีเทนชั้น.....	100
ง3 ข้อมูลการทดลองผลของความดัน และอุณหภูมิ โดยใช้ตัวเร่งปฏิกิริยา 10% wt NiO/talc และกรณีไม่ใช้ตัวเร่งปฏิกิริยา ที่อัตราส่วนโดยโมลของไฮโดรเจนต่อโมลของคาร์บอนไดออกไซด์ เท่ากับ 3/1 ในปฏิกิริยาคาร์บอนไดออกไซด์มีเทนชั้น.....	101
ง4 ข้อมูลการทดลองผลของความดัน และอุณหภูมิ โดยใช้ตัวเร่งปฏิกิริยา 10% wt NiO/talc และกรณีไม่ใช้ตัวเร่งปฏิกิริยา ที่อัตราส่วนโดยโมลของไฮโดรเจนต่อโมลของคาร์บอนไดออกไซด์ เท่ากับ 4/1 ในปฏิกิริยาคาร์บอนไดออกไซด์มีเทนชั้น.....	102

สารบัญรูป

ญ

รูปที่ 2.1	มูลค่าการใช้พลังงานขั้นสุดท้ายของประเทศไทย 2555.....	6
รูปที่ 2.2	ปริมาณการใช้พลังงานทดแทนของประเทศไทย 2555.....	7
รูปที่ 2.3	แผนผังกระบวนการผลิตก๊าซธรรมชาติสังเคราะห์จากชีวมวล.....	8
รูปที่ 2.4	แผนผังการนำก๊าซสังเคราะห์ไปใช้งาน.....	9
รูปที่ 2.5	แสดงโซนของการเกิดปฏิกิริยาต่างๆของกระบวนการแกซีฟิเคชัน.....	10
รูปที่ 2.6	กระบวนการผลิตแก๊สสังเคราะห์เริ่มต้นจากแกซีฟิเคชัน.....	12
รูปที่ 2.7	แผนผังของเทคโนโลยี Temp.....	15
รูปที่ 2.8	แผนผังของกระบวนการ ICI ในสภาวะอุณหภูมิสูง.....	16
รูปที่ 2.9	แสดงการเปรียบเทียบการเปลี่ยนแปลงพลังงานระหว่างมีและไม่มีตัวเร่งปฏิกิริยา..	17
รูปที่ 2.10	ขั้นตอนการเกิดปฏิกิริยาเคมีที่ตัวเร่งปฏิกิริยามีวิวัฒนาการมาเกี่ยวข้อง.....	21
รูปที่ 2.11	ขั้นตอนการเตรียมตัวเร่งปฏิกิริยาโดยวิธีเคลือบฝัง.....	26
รูปที่ 3.1	เครื่องปฏิกรณ์แบบเบดนิ่งสองขั้นตอน.....	33
รูปที่ 3.2	แสดงแบบจำลองของเครื่องปฏิกรณ์แบบเบดนิ่งสองขั้นตอน.....	33
รูปที่ 3.3	แสดงเครื่องแก๊สโครมาโทกราฟี.....	34
รูปที่ 3.4	แสดงเครื่องอัดขึ้นรูปและชุดอุปกรณ์อัดขึ้นรูป.....	36
รูปที่ 3.5	แผนภาพแสดงโปรแกรมอุณหภูมิการรีดิวซ์.....	37
รูปที่ 3.6	แสดงการศึกษาตัวแปรต่างๆในมีเทนเซน.....	38
รูปที่ 4.1	ผลการวิเคราะห์โครงสร้างของแร่ทัลก์ก่อนการเผาด้วยเทคนิค XRD.....	42
รูปที่ 4.2	ผลการวิเคราะห์โครงสร้างของแร่ทัลก์ผ่านการเผาด้วยเทคนิค XRD.....	43
รูปที่ 4.3	ผลการวิเคราะห์โครงสร้างของตัวเร่งปฏิกิริยานิกเกิลบนตัวรองรับทัลก์ก่อนทำ ปฏิกิริยา.....	44
รูปที่ 4.4	ผลการวิเคราะห์ตัวเร่งปฏิกิริยานิกเกิลบนตัวรองรับทัลก์ด้วยเทคนิคTPR.....	45
รูปที่ 4.5	ร้อยละการเปลี่ยนของคาร์บอนมอนอกไซด์จากกระบวนการมีเทนเซนที่ความ ดัน 1 บาร์ H ₂ /CO เท่ากับ 3/1.....	46
รูปที่ 4.6	ร้อยละการเปลี่ยนของคาร์บอนมอนอกไซด์จากกระบวนการมีเทนเซนที่ความ ดัน 8 บาร์ H ₂ /CO เท่ากับ 3/1.....	47
รูปที่ 4.7	ร้อยละการเปลี่ยนของคาร์บอนมอนอกไซด์จากกระบวนการมีเทนเซนที่ความ ดัน 18 บาร์ H ₂ /CO เท่ากับ 3/1.....	47

รูปที่ 4.22	ร้อยละการเกิดมีเทนจากกระบวนการมีเทนชั้นที่ ความดัน 18 บาร์ H_2/CO_2 เท่ากับ 4/1.....	59
รูปที่ 4.23	ร้อยละการเปลี่ยนของคาร์บอนไดออกไซด์จากกระบวนการมีเทนชั้นที่ความดัน 1 บาร์ H_2/CO_2 เท่ากับ 3/1 และ 4/1.....	62
รูปที่ 4.24	ร้อยละการเปลี่ยนของคาร์บอนไดออกไซด์จากกระบวนการมีเทนชั้นที่ความดัน 8 บาร์ H_2/CO_2 เท่ากับ 3/1 และ 4/1.....	62
รูปที่ 4.25	ร้อยละการเปลี่ยนของคาร์บอนไดออกไซด์จากกระบวนการมีเทนชั้นที่ความดัน 18 บาร์ H_2/CO_2 เท่ากับ 3/1 และ 4/1.....	63
รูปที่ 4.26	ร้อยละการเกิดมีเทนจากกระบวนการมีเทนชั้นที่ความดัน 1 บาร์ H_2/CO_2 เท่ากับ 3/1 และ 4/1.....	63
รูปที่ 4.27	ร้อยละการเกิดมีเทนจากกระบวนการมีเทนชั้นที่ความดัน 8 บาร์ H_2/CO_2 เท่ากับ 3/1 และ 4/1.....	64
รูปที่ 4.28	ร้อยละการเกิดมีเทนจากกระบวนการมีเทนชั้นที่ความดัน 18 บาร์ H_2/CO_2 เท่ากับ 3/1 และ 4/1.....	64
รูปที่ 4.29	ผลของความเสถียรภาพต่อร้อยละการเปลี่ยนของคาร์บอนมอนอกไซด์และ คาร์บอนไดออกไซด์มีเทนชั้น ที่อุณหภูมิ 600 องศาเซลเซียส ความดัน 1 บาร์ H_2/CO เท่ากัน 3/1 และ H_2/CO_2 เท่ากับ 4/1.....	67
รูปที่ 4.30	ผลของความเสถียรภาพต่อร้อยละการเกิดมีเทนของคาร์บอนมอนอกไซด์และ คาร์บอนไดออกไซด์มีเทนชั้น ที่อุณหภูมิ 600 องศาเซลเซียส ความดัน 1 บาร์ H_2/CO เท่ากัน 3/1 และ H_2/CO_2 เท่ากับ 4/1.....	68
รูปที่ 4.31	ผลการวิเคราะห์ตัวเร่งปฏิกิริยานิกเกิลผ่านการทดลองที่ภาวะ H_2/CO เท่ากับ 3/1 อุณหภูมิ 600 องศาเซลเซียส ความดัน 1 บาร์ หลังทำปฏิกิริยาด้วยเทคนิค TGA.....	69
รูปที่ 4.32	ผลการวิเคราะห์ตัวเร่งปฏิกิริยานิกเกิลผ่านการทดลองที่ภาวะ H_2/CO_2 เท่ากับ 4/1 อุณหภูมิ 600 องศาเซลเซียส ความดัน 1 บาร์ หลังทำปฏิกิริยาด้วยเทคนิค TGA.....	70
รูปที่ 4.33	ผลของ GSHV ต่อร้อยละการเปลี่ยนของคาร์บอนมอนอกไซด์มีเทนชั้น ด้วยตัวเร่งปฏิกิริยานิกเกิล ที่ภาวะ H_2/CO เท่ากับ 3/1 อุณหภูมิ 500 องศาเซลเซียส.....	72

รูปที่ 4.34	ผลของ GSHV ต่อร้อยละการเกิดมีเทนของคาร์บอนมอนอกไซด์มีเทนเนชั่น ด้วยตัวเร่งปฏิกิริยานิกเกิล ที่ภาวะ H_2/CO เท่ากับ 3/1 อุณหภูมิ 500 องศาเซลเซียส.....	73
รูปที่ 4.35	ผลของ GSHV ต่อร้อยละการเปลี่ยนของคาร์บอนมอนอกไซด์มีเทนเนชั่น ด้วยตัวเร่งปฏิกิริยานิกเกิล ที่ภาวะ H_2/CO เท่ากับ 3/1 อุณหภูมิ 600 องศาเซลเซียส.....	74
รูปที่ 4.36	ผลของ GSHV ต่อร้อยละการเกิดมีเทนของคาร์บอนมอนอกไซด์มีเทนเนชั่น ด้วยตัวเร่งปฏิกิริยานิกเกิล ที่ภาวะ H_2/CO เท่ากับ 3/1 อุณหภูมิ 600 องศาเซลเซียส.....	75

บทที่ 1

บทนำ

1.1 ความสำคัญและที่มาของโครงการ

ในปัจจุบันเรื่องพลังงานเป็นปัญหาใหญ่ของโลก และนับวันจะมีผลกระทบรุนแรงต่อมวลมนุษยชาติมากขึ้นทุกที ทำให้หลายหน่วยงานให้ความสำคัญในการร่วมหาหนทางแก้ไข ทำการศึกษา ค้นคว้า สืบค้น ทดลอง ติดตามเทคโนโลยีอย่างจริงจังและต่อเนื่องมาโดยตลอด เพื่อเตรียมพร้อมสำหรับการนำพลังงานทดแทนและเทคโนโลยีใหม่ๆในด้านพลังงานทดแทนเข้ามาใช้ในประเทศไทย เพื่อให้เพียงพอต่อการอุปโภคบริโภคภายในประเทศ และสามารถใช้ได้อย่างยั่งยืน

ที่ผ่านมาประเทศไทยใช้เชื้อเพลิงต่างๆ เช่น น้ำมัน ถ่านหิน แก๊สธรรมชาติ ซึ่งเชื้อเพลิงต่างๆเหล่านี้มีปริมาณน้อยลงทุกวัน แล้วราคาเชื้อเพลิงดังกล่าวยังมีความผันผวนไปในแนวทางที่สูงขึ้นตามสถานการณ์ทางเศรษฐกิจและการเมืองของโลก ปัจจุบันประเทศไทยจึงเริ่มหันมาใช้พลังงานทดแทนซึ่งเป็นพลังงานทางเลือกรูปแบบใหม่ เพื่อลดการใช้น้ำมันเชื้อเพลิงและแก๊สธรรมชาติที่ต้องนำเข้าจากต่างประเทศ นอกจากนี้ยังช่วยลดสาเหตุภาวะโลกร้อนจากการปล่อยแก๊สเรือนกระจกได้อีกทางหนึ่งด้วย

พลังงานทดแทน (alternative energy) หมายถึง พลังงานที่นำมาใช้แทนน้ำมันเชื้อเพลิงและแก๊สธรรมชาติ สามารถแบ่งตามแหล่งที่ได้มาออกเป็น 2 ประเภท คือ พลังงานทดแทนจากแหล่งที่ใช้แล้วหมดไป เรียกว่า พลังงานสิ้นเปลือง (nonrenewable energy) ได้แก่ ถ่านหิน แก๊สธรรมชาติ หินน้ำมันเป็นต้น และพลังงานทดแทนอีกประเภทหนึ่งเป็นแหล่งพลังงานที่ใช้แล้วสามารถหมุนเวียนมาใช้ได้อีก เรียกว่า พลังงานหมุนเวียน (renewable energy) ได้แก่ แสงอาทิตย์ ลม น้ำ ชีวมวล และไฮโดรเจนเป็นต้น พลังงานประเภทที่ 2 เป็นพลังงานที่สะอาด ไม่มีผลกระทบต่อสิ่งแวดล้อม

แก๊สธรรมชาติ (natural gas) ถือเป็นแหล่งพลังงานจากฟอสซิล (fossil fuel) แหล่งหนึ่งที่มีการนำไปใช้เป็นเชื้อเพลิงทั้งในภาคอุตสาหกรรมและครัวเรือน อาทิเช่น ใช้ในโรงงานผลิตกระแสไฟฟ้า หรือใช้เป็นเชื้อเพลิงสำหรับรถยนต์ เป็นต้น มีปริมาณการใช้แก๊สธรรมชาติเพิ่มขึ้นอย่างต่อเนื่องทุกปี จากสถิติการใช้พลังงานในประเทศไทยตั้งแต่ปี พ.ศ. 2551 ถึง 2554* พบว่า แหล่งพลังงานที่มีการใช้มากที่สุดคือ แก๊สธรรมชาติ โดยคิดเป็นสัดส่วนของแก๊สธรรมชาติที่

ผลิตได้เองในประเทศประมาณร้อยละ 79 และนำอีกประมาณร้อยละ 21ต้องนำเข้าจากต่างประเทศ ซึ่งแนวโน้มของการใช้พลังงานจากแก๊สธรรมชาติยังคงเพิ่มสูงขึ้นอย่างต่อเนื่อง ไม่สอดคล้องกับปริมาณแก๊สธรรมชาติสำรองที่กำลังจะหมดไปในอนาคตอันใกล้นี้ เพื่อเป็นการป้องกันการเกิดสภาวะขาดแคลนแก๊สธรรมชาติ แนวทางในการผลิตแก๊สธรรมชาติสังเคราะห์ (Synthetic natural gas, SNG) จากวัสดุชีวมวลถือเป็นอีกแนวทางหนึ่งที่มีความน่าสนใจอย่างมาก เนื่องจากชีวมวล เป็นแหล่งพลังงานหมุนเวียนที่สามารถผลิตและใช้ได้อย่างต่อเนื่อง อีกทั้งยังเป็นแหล่งพลังงานที่เป็นมิตรต่อสิ่งแวดล้อม กระบวนการผลิตแก๊สธรรมชาติสังเคราะห์จากชีวมวลนั้น เริ่มจากการการนำเอาชีวมวลมาผ่านกระบวนการแกซิฟิเคชัน เพื่อผลิตเป็นแก๊สสังเคราะห์ (synthetic gas) ขึ้นมาก่อน จากนั้นนำแก๊สสังเคราะห์ที่ผลิตได้เข้าสู่กระบวนการผลิตมีเทน (methanation) ซึ่งมีเทนถือเป็นองค์ประกอบหลักของแก๊สธรรมชาติ

มีเทนชัน (Methanation) ประกอบด้วย 2 ปฏิกิริยาหลัก คือ คาร์บอนมอนอกไซด์ไฮโดรจีเนชัน (CO hydrogenation) และ คาร์บอนไดออกไซด์ไฮโดรจีเนชัน (CO₂ hydrogenation) ซึ่งเป็นปฏิกิริยาในการเปลี่ยนคาร์บอนมอนอกไซด์และคาร์บอนไดออกไซด์เป็นมีเทน โดยทั้ง 2 ปฏิกิริยาเป็นปฏิกิริยาคายความร้อน จึงนิยมใช้ภาวะดำเนินการที่อุณหภูมิต่ำ ความดันสูง และต้องใช้ตัวเร่งปฏิกิริยาร่วมด้วย มีเทนที่ผลิตได้มีค่าความร้อนสูงสามารถนำไปใช้เป็นเชื้อเพลิงได้โดยตรง กระบวนการนี้สามารถนำไปประยุกต์ใช้กับแก๊สสังเคราะห์ที่ผลิตได้จากแกซิฟิเคชันของชีวมวล ซึ่งมีคาร์บอนมอนอกไซด์ คาร์บอนไดออกไซด์ และไฮโดรเจน เป็นองค์ประกอบหลัก เพื่อเพิ่มค่าความร้อนของแก๊สสังเคราะห์ได้

งานวิจัยที่ผ่านมาส่วนใหญ่มุ่งศึกษาการดำเนินงานที่ภาวะอุณหภูมิต่ำในช่วง 250-350 องศาเซลเซียส ทำให้อัตราการเกิดปฏิกิริยาค่อนข้างช้า จึงจำเป็นต้องใช้ตัวเร่งปฏิกิริยาที่มีความว่องไวสูงร่วมด้วย คือกลุ่มโลหะมีสกุล เช่น Rh และ Ru เพื่อให้ค่าการเปลี่ยนคาร์บอนมอนอกไซด์และคาร์บอนไดออกไซด์สลายตัวอย่างสมบูรณ์ แต่โลหะเหล่านี้มีราคาแพงและมีเสถียรภาพทางความร้อนต่ำเมื่อใช้งานเป็นระยะเวลานาน นอกจากนี้จึงมีการพัฒนาการใช้ตัวเร่งปฏิกิริยาที่มีเสถียรภาพทางความร้อน และมีความจำเพาะต่อมีเทนชัน เช่น นิกเกิล (Ni) เป็นตัวเร่งปฏิกิริยาที่ได้รับความสนใจ เนื่องจากมีราคาถูกและหาได้ง่าย งานวิจัยที่ผ่านมายังไม่มีการศึกษาการดำเนินงานของมีเทนชันภาวะที่อุณหภูมิ 400-600 องศาเซลเซียส การดำเนินงานที่ภาวะที่อุณหภูมิสูงจะเพิ่มอัตราการเกิดปฏิกิริยาเพื่อให้เกิดมีเทนมากกว่าการทำที่อุณหภูมิต่ำกว่า จึง

ไม่จำเป็นต้องใช้ตัวเร่งปฏิกิริยาที่มีความว่องไวสูง อย่างไรก็ตามที่ผ่านมายังมีการศึกษามีเทนชันที่อุณหภูมิสูงน้อยมาก

ดังนั้นงานวิจัยนี้จึงมุ่งศึกษาและพัฒนาที่มีเทนชันที่ภาวะอุณหภูมิสูง และใช้นิกเกิลเป็นตัวเร่งปฏิกิริยา โดยศึกษาผลของตัวแปรดำเนินการต่างๆ ได้แก่ อุณหภูมิ ความดัน และอัตราส่วนโดยโมลระหว่างไฮโดรเจนต่อคาร์บอนมอนอกไซด์ (H_2/CO) และไฮโดรเจนต่อคาร์บอนไดออกไซด์ (H_2/CO_2) ที่มีผลต่อร้อยละการเปลี่ยนสารตั้งต้น และการเลือกเกิดมีเทน ซึ่งผู้วิจัยคาดหวังว่าองค์ความรู้ที่ได้จากงานวิจัยนี้สามารถนำไปผลิตมีเทนที่มีค่าความร้อนสูง

1.2 วัตถุประสงค์

1. ศึกษากระบวนการผลิตมีเทนจากคาร์บอนมอนอกไซด์และคาร์บอนไดออกไซด์ที่ภาวะอุณหภูมิสูง
2. ศึกษาปัจจัยที่มีผลต่อมีเทนชัน ได้แก่ อุณหภูมิ ความดัน และอัตราส่วนโดยโมลของ ไฮโดรเจนต่อคาร์บอนมอนอกไซด์ และไฮโดรเจนต่อคาร์บอนไดออกไซด์ ที่มีผลต่อร้อยละการเปลี่ยนของสารตั้งต้น และความจำเพาะการเกิดมีเทนในมีเทนชันที่ภาวะอุณหภูมิสูง

1.3 ขอบเขตของงานวิจัย

1. ศึกษาปัจจัยที่มีผลต่อมีเทนชัน ได้แก่ อุณหภูมิ ความดัน และอัตราส่วนโดยโมลระหว่างไฮโดรเจนต่อคาร์บอนมอนอกไซด์ และไฮโดรเจนต่อคาร์บอนไดออกไซด์ ที่เหมาะสมในการผลิตมีเทนด้วยมีเทนชันที่ภาวะอุณหภูมิสูง
2. วิเคราะห์การเปลี่ยนของสารตั้งต้นและการเลือกเกิดมีเทนของมีเทนชันที่ภาวะอุณหภูมิสูง

1.4 ขั้นตอนในการดำเนินงานวิจัย

1. ทบทวนบทความวิจัยที่เกี่ยวข้องโดยเฉพาะที่มีการตีพิมพ์เผยแพร่ล่าสุด โดยเฉพาะในช่วงปี 2007-2012
2. เตรียมตัวเร่งปฏิกิริยา Ni/talc และสารเคมีที่ใช้ในการทดลอง นำไปขึ้นรูปตัวเร่งปฏิกิริยาให้ได้ตามต้องการ และนำไปเผาที่อุณหภูมิ 300 องศาเซลเซียสเป็นเวลา 4 ชั่วโมง
3. จัดเตรียมเครื่องปฏิกรณ์ความดันสูงระดับห้องปฏิบัติการ
4. ศึกษาการสลายตัวด้วยความร้อนเบื้องต้นของตัวเร่งปฏิกิริยาที่ศึกษาด้วยเทคนิค TPR
5. วิเคราะห์องค์ประกอบธาตุของตัวเร่งปฏิกิริยาโดยเทคนิค EDX
6. ศึกษาผลของการใช้ตัวเร่งปฏิกิริยา และปัจจัยดำเนินการต่าง ๆ ที่มีผลต่อกระบวนการ โดยตัวแปรที่ใช้ศึกษามีดังต่อไปนี้.
 - อุณหภูมิของกระบวนการมีเทนชัน 400 – 600 องศาเซลเซียส
 - ความดันของกระบวนการมีเทนชัน 1 และ 8 และ 18 บาร์
 - อัตราส่วนโดยโมลระหว่างไฮโดรเจนต่อคาร์บอนมอนอกไซด์ (H_2/CO) เท่ากับ 2/1 และ 3/1 และไฮโดรเจนต่อคาร์บอนไดออกไซด์ (H_2/CO_2) เท่ากับ 3/1 และ 4/1
7. หาภาวะดำเนินการที่เหมาะสมที่สุดของแต่ละกระบวนการโดยเปรียบเทียบจากอัตราส่วนโดยโมล H_2/CO และ H_2/CO_2 พิจารณาร่วมกับความสามารถในการเกิดมีเทน
8. วิเคราะห์องค์ประกอบของผลิตภัณฑ์ที่ได้ด้วยเทคนิคแก๊สโครมาโทกราฟี (GC)
9. วิเคราะห์องค์ประกอบต่างๆ ของตัวเร่งปฏิกิริยาหลังจากการทดลองโดย เทคนิควิเคราะห์การเปลี่ยนแปลงน้ำหนักด้วย TGA และ เทคนิควิเคราะห์การเลี้ยวเบนรังสีเอกซ์ (XRD)
9. วิเคราะห์ข้อมูล สรุปผลการวิจัย และเขียนวิทยานิพนธ์

1.5 ประโยชน์ที่คาดว่าจะได้รับ

ได้ภาวะที่เหมาะสมของมีเทนชันจากคาร์บอนมอนอกไซด์และคาร์บอนไดออกไซด์ในการผลิตมีเทน

บทที่ 2

วารสารปริทรรศน์

2.1 แก๊สธรรมชาติ

แก๊สธรรมชาติ (Natural Gas) เป็นพลังงานปิโตรเลียมชนิดหนึ่งเช่นเดียวกับน้ำมันดิบและถ่านหิน โดยเกิดขึ้นเองตามธรรมชาติ จากการสะสมและทับถมของซากพืชและซากสัตว์ตามชั้นหิน ดิน และใต้ท้องทะเลเป็นเวลายาวหลายร้อยล้านปี แล้วแปรสภาพอยู่ในรูปที่เรียกว่า "ฟอสซิล" และเนื่องจากการเปลี่ยนแปลงสภาพความร้อนและความกดดันของผิวโลกจึงกลายมาเป็นน้ำมันดิบ แก๊สธรรมชาติ และถ่านหิน

2.1.1 ส่วนประกอบของแก๊สธรรมชาติ

แก๊สธรรมชาติ คือ ส่วนผสมของแก๊สไฮโดรคาร์บอน และสิ่งเจือปนต่างๆในสถานะแก๊ส สารประกอบไฮโดรคาร์บอนที่พบ ในธรรมชาติได้แก่ มีเทน อีเทน โพรเพน บิวเทน เพนเทน เป็นต้น สิ่งเจือปนอื่นๆที่พบในแก๊สธรรมชาติ ได้แก่ คาร์บอนไดออกไซด์ ไฮโดรเจนไดซัลไฟด์ เป็นต้น

ตารางที่ 2.1 องค์ประกอบโดยทั่วไปของแก๊สธรรมชาติ

ชื่อ	สูตรเคมี	สัดส่วนในแก๊สธรรมชาติ
Methane มีเทน	CH ₄	70 - 90%
Ethane อีเทน	C ₂ H ₆	0 - 20%
Propane โพรเพน	C ₃ H ₈	
Butane บิวเทน	C ₄ H ₁₀	
Carbon Dioxide คาร์บอนไดออกไซด์	CO ₂	0 - 8%
Oxygen ออกซิเจน	O ₂	0 - 0.2%
Nitrogen ไนโตรเจน	N ₂	0 - 0.5%
Hydrogen Sulfide ไฮโดรเจนซัลไฟด์	H ₂ S	0 - 5%
แก๊สอื่นๆ	Ar, He, Ne, Xe	เล็กน้อย

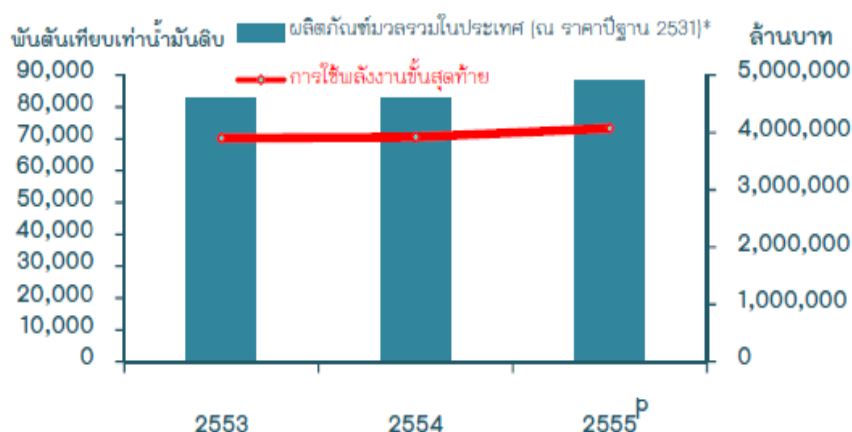
(ที่มา: ASEAN Energy Outlook 2030 :ออนไลน์)

2.1.2 คุณสมบัติของแก๊สธรรมชาติ

- เป็นเชื้อเพลิงปิโตรเลียมชนิดหนึ่ง เกิดจากการทับถมของสิ่งมีชีวิตนับล้านปี
- เป็นสารประกอบไฮโดรคาร์บอน ประกอบด้วยมีเทนเป็นหลัก
- ไม่มีสีและไม่มีกลิ่น ดังนั้น ในการขนส่งหรือในกระบวนการผลิตแก๊สธรรมชาติจึงต้องมีการเติมสารที่มีกลิ่นลงไป เพื่อความปลอดภัยในการใช้งาน
- เบากว่าอากาศ มีค่าความถ่วงจำเพาะ (Specific Gravity) ประมาณ 0.6-0.8 เมื่อรั่วไหลจะลอยขึ้นสู่ที่สูงและฟุ้งกระจายไปในอากาศอย่างรวดเร็ว
- ติดไฟได้ โดยมีช่วงของการติดไฟที่ 5-15 % ของปริมาตรในอากาศและอุณหภูมิที่สามารถติดไฟได้เองคือ 537-540 องศาเซลเซียส
- เป็นเชื้อเพลิงสะอาด เผาไหม้สมบูรณ์กว่า จึงส่งผลกระทบต่อสิ่งแวดล้อมน้อยกว่าเมื่อเปรียบเทียบกับเชื้อเพลิงปิโตรเลียมประเภทอื่น

2.1.3 ศักยภาพแก๊สธรรมชาติในประเทศไทย

จากข้อมูลการใช้พลังงานปี 2555 ประเทศไทย มีการใช้พลังงานเพิ่มขึ้นจากปีก่อนร้อยละ 3.9 โดยพบว่าน้ำมันสำเร็จรูปเป็นเชื้อเพลิงที่มีการใช้มากที่สุด



* สำนักงานคณะกรรมการพัฒนาเศรษฐกิจและสังคม

รูปที่ 2.1 มูลค่าการใช้พลังงานขั้นสุดท้ายของประเทศไทย 2555

(ที่มา: กรมพัฒนาพลังงานทดแทนและอนุรักษ์พลังงาน กระทรวงพลังงาน :ออนไลน์)

จากการที่มีการใช้พลังงานที่เพิ่มสูงขึ้น ทางรัฐบาลจึงมีนโยบายการใช้พลังงานทดแทน พลังงานทดแทนที่ได้ในประเทศประกอบด้วย พลังงานแสงอาทิตย์ พลังงานลม พลังงานน้ำ ชีวมวล แก๊สชีวภาพ ชยะและเชื้อเพลิงชีวภาพ(เอทานอลและไบโอดีเซล) โดยได้มีการปรับปรุงแผนพัฒนา และส่งเสริมการใช้พลังงานทดแทน 15 ปี เป็นแผนพัฒนาพลังงานทดแทนและพลังงานทางเลือก 25% ใน 10 ปี (2555-2564) เพื่อผลักดันให้มีการใช้พลังงานทดแทนเพิ่มขึ้น ได้ส่งผลให้ใช้พลังงานทดแทนในรูปไฟฟ้า ความร้อน และเชื้อเพลิงชีวภาพ ในปี 2555 เพิ่มขึ้นจากปีก่อน ร้อยละ 14.3 คิดเป็นอัตราส่วนร้อยละ 9.9 ของการใช้พลังงานทั้งหมดพบว่าแก๊สธรรมชาติมีปริมาณการใช้ที่เพิ่มมากขึ้นเมื่อเทียบกับพลังงานทดแทนชนิดอื่น เพราะแก๊สธรรมชาติใช้เป็นเชื้อเพลิงในการผลิต กระแสไฟฟ้า

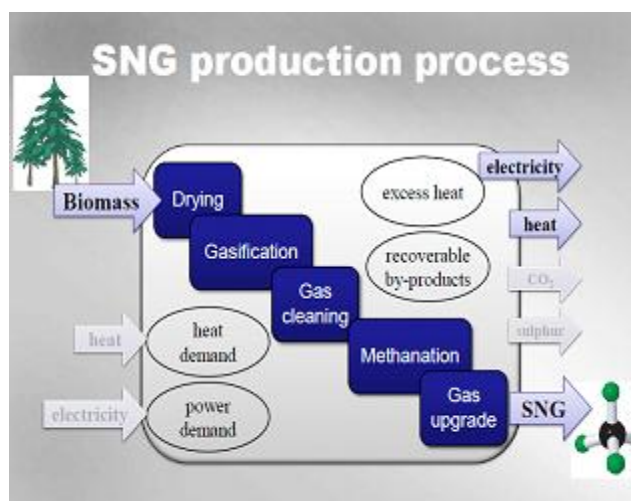
การใช้พลังงานทดแทน	ปริมาณ (พันตันเทียบเท่าน้ำมันดิบ)			อัตราการเปลี่ยนแปลง (ร้อยละ)
	2553	2554	2555 ^P	2555 ^P
1. ไฟฟ้า (แสงอาทิตย์ ลม น้ำ ชีวมวล ชยะ และแก๊สชีวภาพ)	304	372	455	22.3
2. ความร้อน (แสงอาทิตย์ ชีวมวล ชยะ และแก๊สชีวภาพ)	4,443	5,129	5,718	11.5
3. เชื้อเพลิงชีวภาพ				
- เอทานอล	329	331	364	10.0
- ไบโอดีเซล	475	547	755	38.0
รวม	5,551	6,379	7,292	14.3
4. การใช้พลังงานขั้นสุดท้าย	70,248	70,562	73,316	3.9
5. สัดส่วนการใช้พลังงานทดแทน	7.9	9.0	9.9	-

รูปที่ 2.2 ปริมาณการใช้พลังงานทดแทนของประเทศไทย 2555

(ที่มา : กรมพัฒนาพลังงานทดแทนและอนุรักษ์พลังงาน กระทรวงพลังงาน :ออนไลน์)

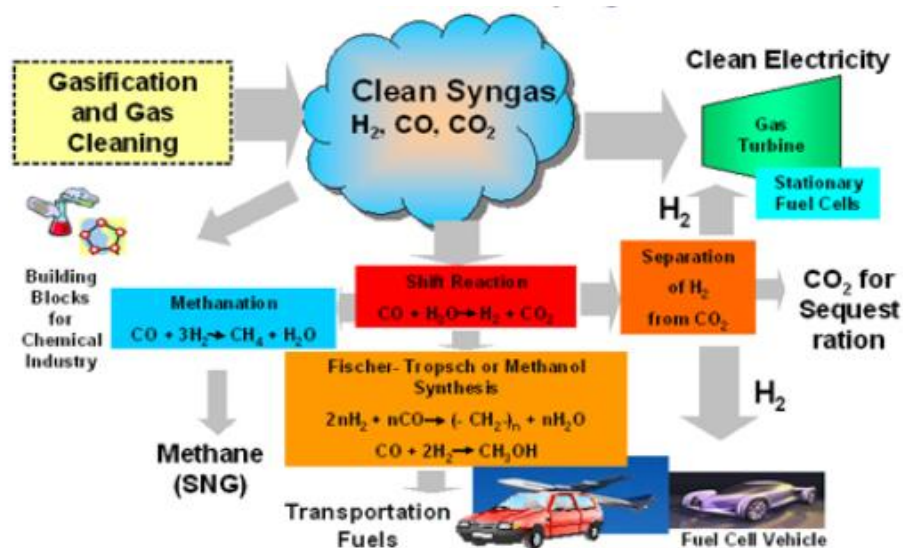
2.2 กระบวนการผลิตแก๊สธรรมชาติสังเคราะห์

กระบวนการผลิตแก๊สธรรมชาติสังเคราะห์ (Synthetic natural gas ; SNG production) ผลิตจากเชื้อเพลิงแข็ง ได้แก่ ถ่านหิน หรือ ชีวมวล โดยมีขั้นตอนการผลิต แสดงดังรูปที่ 2.3 กระบวนการจะเริ่มจากการนำชีวมวลมาผ่านกระบวนการทำแห้ง (drying) เพื่อลดความชื้นของชีวมวลและปรับสภาพให้ชีวมวลมีคุณสมบัติในการเป็นเชื้อเพลิงแข็งที่ดีขึ้น จากนั้นนำชีวมวลที่ผ่านกระบวนการทำแห้งแล้ว มาผ่านกระบวนการแกซิฟิเคชัน เพื่อผลิตเป็นแก๊สสังเคราะห์ ที่มีองค์ประกอบของไฮโดรเจน (H_2) คาร์บอนมอนอกไซด์ (CO) และคาร์บอนไดออกไซด์ (CO_2) จากนั้นนำแก๊สสังเคราะห์ที่ได้มาผ่านกระบวนการทำความสะอาดแก๊ส (gas cleaning) เพื่อกำจัดสิ่งเจือปนต่างๆ ก่อนที่จะนำเข้าสู่กระบวนการผลิตมีเทน (methanation) ผลิตก๊าซที่ได้ส่วนใหญ่เป็นมีเทน ซึ่งเป็นองค์ประกอบหลักของแก๊สธรรมชาติ ก่อนนำไปใช้งานต้องนำไปผ่านกระบวนการปรับปรุงคุณภาพของแก๊ส (gas upgrade) อีกครั้งหนึ่งแก๊สสังเคราะห์ที่ผลิตได้ สามารถเป็นสารตั้งต้นนำไปใช้งานเพื่อผลิตเป็นเชื้อเพลิงได้หลากหลายรูปแบบ เช่น กระบวนการฟิสเชอร์-ทรอปช (Fischer-Tropsch) กระบวนการมีเทนชัน(Methanation) เป็นต้น ดังรูปที่ 2.4



รูปที่ 2.3 แผนผังกระบวนการผลิตแก๊สธรรมชาติสังเคราะห์จากชีวมวล

(ที่มา : Stefan Heyne, “Optimising the efficiency of processes for the production of Bio-SNG” in Chalmers Energy Conference, 2011)

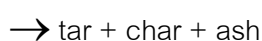
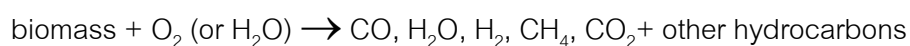


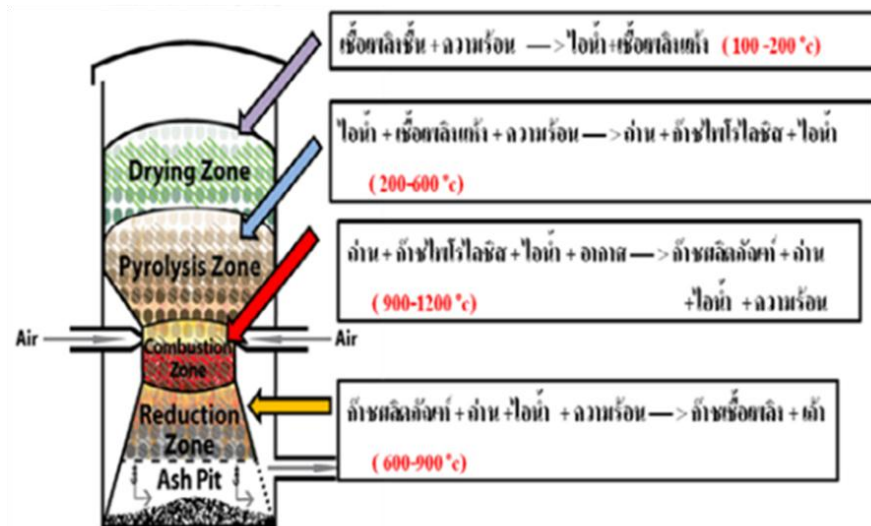
รูปที่ 2.4 แผนผังการนำแก๊สสังเคราะห์ไปใช้งาน

(ที่มา : The National Energy Technology Laboratory :ออนไลน์)

2.3 กระบวนการแกซีฟิเคชัน

แกซีฟิเคชันเป็นกระบวนการแปรรูปชีวมวลหรือสารอินทรีย์ ซึ่งมีธาตุคาร์บอนเป็นองค์ประกอบ (Carbonaceous Materials) โดยอาศัยปฏิกิริยาการเผาไหม้ของชีวมวล ผลิตภัณฑ์ส่วนใหญ่ของกระบวนการแกซีฟิเคชันอยู่ในรูปของแก๊สสังเคราะห์ (Synthetic Gas หรือ Producer Gas) หรือแก๊สชีวมวล ซึ่งประกอบด้วยคาร์บอนมอนอกไซด์ (CO) ไฮโดรเจน (H₂) แก๊สมีเทน (CH₄) และสารประกอบไฮโดรคาร์บอนที่ซับซ้อน (Complex hydrocarbons) เช่น C₂H₂ C₂H₄ รวมกันประมาณร้อยละ 38 และแก๊สคาร์บอนไดออกไซด์ (CO₂) ร้อยละ 11 ส่วนที่เหลืออีกประมาณร้อยละ 51 เป็นแก๊สไนโตรเจน (N₂) แก๊สสังเคราะห์ หรือแก๊สชีวมวลมีค่าความร้อนแตกต่างกันตามชนิด และคุณสมบัติของวัตถุดิบ ตลอดจนประเภทปฏิกิริยาที่ใช้ และความร้อนที่เกิดขึ้นนี้จะเร่งปฏิกิริยาแบบต่อเนื่องก่อให้เกิดผลิตภัณฑ์ที่เป็นแก๊สเชื้อเพลิงและผลิตภัณฑ์อื่นๆ เช่น ชาร์ (char) และทาร์ (tar) ซึ่งแสดงได้ดังปฏิกิริยาต่อไปนี้ (Li and Suzuki, 2008)





รูปที่ 2.5 โซนของการเกิดปฏิกิริยาต่างๆของกระบวนการแกซีฟิเคชัน

(ที่มา : ศูนย์วิศวกรรมคุณภาพ :ออนไลน์)

2.3.1 ผลิตภัณฑ์ที่ได้จากกระบวนการแกซีฟิเคชัน

ผลิตภัณฑ์หลักที่ได้จากกระบวนการแกซีฟิเคชันมี 3 ประเภทคือ ผลิตภัณฑ์ที่เป็นของแข็ง ผลิตภัณฑ์ที่เป็นของเหลว และผลิตภัณฑ์ที่เป็นแก๊ส ซึ่งสามารถนำไปเป็นสารตั้งต้นในการผลิตเชื้อเพลิงและสารเคมีต่อไป

2.3.1.1 ผลิตภัณฑ์ที่เป็นของแข็ง

มีคาร์บอนเป็นองค์ประกอบหลัก เรียกว่า ถ่านชาร์ สามารถนำมาใช้เป็นเชื้อเพลิงหรือผลิตสารเคมีอื่นได้อีก เช่น ถ่านกัมมันต์ แนฟทาลีน และแอนทราซีน เป็นต้น แต่ส่วนใหญ่จะนำมาใช้เป็นวัสดุเชื้อเพลิงไร้ควัน เพื่อใช้ในบ้านเรือนและอุตสาหกรรมขนาดเล็กหรือกลางได้ดี ยกตัวอย่างเช่น เป็น เชื้อเพลิงสำหรับหม้อไอน้ำ, การเผาอิฐ, การอบแห้งผลิตภัณฑ์ทางการเกษตร, โรงงานผลิตหินปูนและซีเมนต์ รวมไปถึงการใช้ในโรงงานถลุงเหล็กและทองแดง

2.3.1.2 ผลิตภัณฑ์ที่เป็นของเหลว

ประกอบด้วยน้ำและสารประกอบที่ละลายน้ำ อีกส่วนหนึ่งจะเป็นน้ำมันทาร์องค์ประกอบของน้ำมันทาร์เป็นสารประกอบที่ซับซ้อนของไฮโดรคาร์บอน ที่มีโครงสร้างส่วนมากพวกวงแหวนแนพทาลีนเชื่อมด้วยหมู่เอทีลีน โมเลกุลของน้ำมันทาร์มีองค์ประกอบของธาตุคาร์บอนตั้งแต่ $C_5 - C_6$ ประกอบเป็นโครงสร้างของสารเคมีต่าง ๆ อาจมีมากกว่า 200 ชนิด โดยแบ่งออกได้ตามอุณหภูมิที่ใช้ในการกลั่นเป็น 5 ส่วน คือ

- น้ำมันเบา (light oil) ช่วงอุณหภูมิ $<200^{\circ}C$ ได้แก่ เบนซีน เบนโซลดิบ โทลูอีน เอทิลเบนซีน ไซลีน
- น้ำมันช่วงกลาง (middle oil) ช่วงอุณหภูมิ $200 - 250^{\circ}C$ ได้แก่ ฟีนอล ไพริดีน
- น้ำมันช่วงหนัก (heavy oil) ช่วงอุณหภูมิ $250 - 300^{\circ}C$ ได้แก่ ไดเมทิล แนพทาลีน
- น้ำมันแอนทาซีน (anthracence) ช่วงอุณหภูมิ $300 - 350^{\circ}C$ ได้แก่ ฟลูออรีน ฟีนแอนทีน
- พิตช์ (pitch) ช่วงอุณหภูมิ $>350^{\circ}C$ ได้แก่ น้ำมันหนักบางประเภทพวกไซซึ่งเป็นส่วนที่เหลือจากการกลั่น

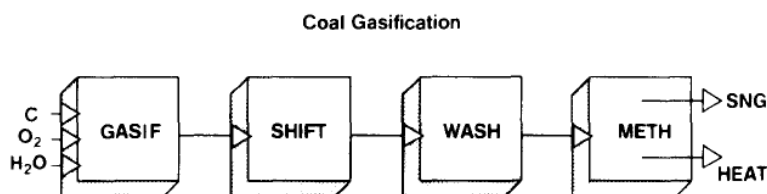
2.3.1.3 ผลิตภัณฑ์ที่เป็นแก๊ส

เป็นของผสมระหว่างแก๊สอินทรีย์และอนินทรีย์ โดยแก๊สอินทรีย์ ได้แก่ คาร์บอนมอนอกไซด์ คาร์บอนไดออกไซด์ ไฮโดรเจนและแอมโมเนีย ส่วนแก๊สอินทรีย์ ได้แก่ มีเทน อีเทน เอทีลีน เป็นต้น โดยแก๊สส่วนใหญ่จะเป็นแก๊สไฮโดรเจน แก๊สคาร์บอนไดออกไซด์ แก๊สคาร์บอนมอนอกไซด์ และแก๊สมีเทน ซึ่งสามารถนำไปใช้เป็นแก๊สเชื้อเพลิงในกระบวนการเผาไหม้เพื่อให้ความร้อน หรือการผลิตไฟฟ้าได้

2.4 กระบวนการมีเทนชัน

กระบวนการมีเทนชันถูกค้นพบโดยนักวิทยาศาสตร์ 2 ท่านคือ Sabatier and Senderens ในปีคริสต์ทศวรรษ 1790 บางครั้งจะเรียกกระบวนการมีเทนชันว่า ปฏิกิริยา Sabatier เพื่อให้เกียรติแก่ผู้ค้นพบ มีเทนชันเป็นปฏิกิริยาการเติมไฮโดรเจนเข้าไปในสารไฮโดรคาร์บอน ซึ่งปฏิกิริยามีเทนชันเป็นปฏิกิริยาไปข้างหน้าและย้อนกลับไป และเป็นปฏิกิริยาคายความร้อน ทำให้ภาวะอุณหภูมิต่ำประมาณ 300 -350 องศาเซลเซียส ที่ความดันสูง (S. A et al., 1972) ในสมัยนั้นได้ทำการศึกษาที่มีเทนชันเพื่อผลิตแก๊สสังเคราะห์เพื่อใช้ทดแทนแก๊สธรรมชาติเนื่องจากเกิดภาวะสงครามทำให้ขาดแคลนพลังงาน

ในปัจจุบันมีเทนชันได้กลับมาเป็นที่สนใจอีกครั้ง สาเหตุจากราคาน้ำมันดิบที่มีแนวโน้มเพิ่มมากขึ้น ทำให้มนุษย์สนใจมาใช้แก๊สธรรมชาติเป็นพลังงานทางเลือก แต่เนื่องจากแก๊สธรรมชาติเป็นพลังงานที่สามารถใช้แล้วหมดไป จึงมีการศึกษาการผลิตแก๊สธรรมชาติสังเคราะห์ (synthesis natural gas) จากแก๊สผสมที่ได้จากกระบวนการแกซิฟิเคชัน (Gasification) ได้แก่ ไฮโดรเจน คาร์บอนมอนอกไซด์ คาร์บอนไดร็อกไซด์ มีเทน และ ไนโตรเจน เป็นต้น



รูปที่ 2.6 กระบวนการผลิตแก๊สสังเคราะห์เริ่มต้นจากแกซิฟิเคชัน(B. HOHLEIN, 1984)

** GASIF = gasification, SHIFT = CO shift process, WASH = acid gas removal,

METH = methanation process**

มีเทนเจนมี 2 ปฏิกิริยาหลัก คือปฏิกิริยามีเทนเจนของคาร์บอนมอนอกไซด์ (CO methatation) และปฏิกิริยามีเทนเจนของคาร์บอนไดออกไซด์ (CO₂ methanation) ตามสมการที่ 2.1 และ 2.2

CO methanation ;

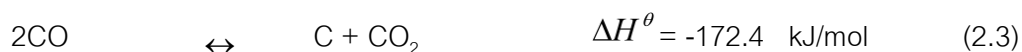


CO₂ methanation ;



ในขณะเดียวกันมีปฏิกิริยาย่อยเกิดขึ้น 5 ปฏิกิริยา

Boudouard reaction :



Water-gas shift :



Methane cracking :



Carbon monoxide reduction :



Carbon dioxide reduction :



2.4.1 ปัจจัยที่มีผลต่อมีเทนเนชัน

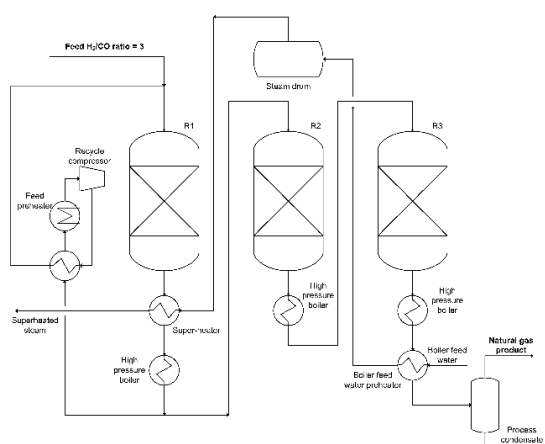
- อัตราส่วนของสารตั้งต้นในการทำปฏิกิริยา
- อุณหภูมิ และความดันในการดำเนินปฏิกิริยา
- ตัวเร่งปฏิกิริยาที่ใช้
- เวลาในการดำเนินปฏิกิริยา
- Gas hour space velocity (GHSV)

Gas hour space velocity คือ ปริมาตรแก๊สขาเข้าทั้งหมดที่สภาวะ 25 องศาเซลเซียส ความดันบรรยากาศ ต่อปริมาตรของเตาปฏิกรณ์ หรือ ต่อปริมาตรของตัวเร่งปฏิกิริยาสามารถคำนวณได้จากสมการดังนี้

$$GSHV = V_0 / V$$

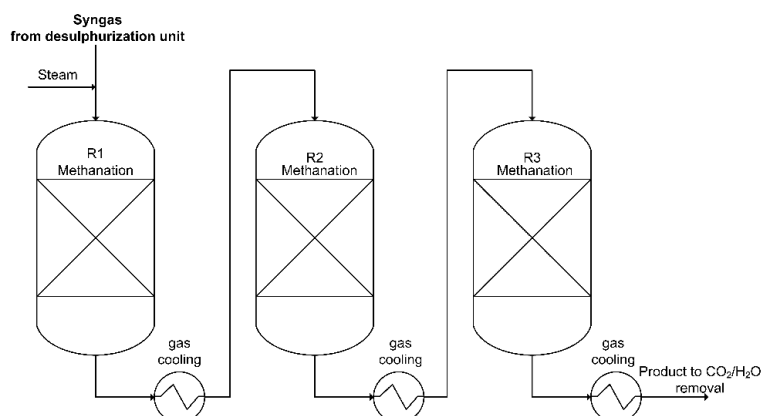
กระบวนการมีเทนเนชัน แบ่งได้เป็น 2 ประเภท ตามลักษณะของเตาปฏิกรณ์ ได้แก่ กระบวนการมีเทนเนชันแบบเบดนิ่ง (fixed-bed methanation) และ กระบวนการมีเทนเนชันแบบฟลูอิดไดซ์เบด (fluidized bed methanation) โดยกระบวนการมีเทนเนชันแบบเบดนิ่ง ริเริ่มโดยบริษัท Lurgi and El Paso Naturalgas Corporation ในปีค.ศ.1930 โดยได้พัฒนากระบวนการมีเทนเนชันแบบจำลอง (Pilot plant) ซึ่งกระบวนการดังกล่าวจะประกอบด้วยเตาปฏิกรณ์เบดนิ่งแบบอะไดบาติก 2 เตาปฏิกรณ์ และมีระบบรีไซเคิลแก๊สภายในกระบวนการร่วมด้วย ระบบดังกล่าวถูกติดตั้งไว้ 2 ที่ ในเมือง Sasoburg ประเทศแอฟริกาใต้ และอีกที่หนึ่งในประเทศออสเตรเลีย ต่อมากระบวนการมีเทนเนชันได้ถูกพัฒนาโดยบริษัท Lurgi และ Sasol จนสามารถผลิตแก๊สธรรมชาติสังเคราะห์จากถ่านหินได้เชิงการค้า (commercial plant) ติดตั้งที่เมือง North Dakota ประเทศสหรัฐอเมริกา ต่อมากระบวนการมีเทนเนชันเชิงการค้าถูกพัฒนาอย่างต่อเนื่อง จนได้ค้นพบเทคโนโลยีที่มีประสิทธิภาพสูง นั่นคือ กระบวนการ Tremp™ โดยบริษัท Haldor Topsoe ดังแสดงในรูป 2.7 เทคโนโลยีนี้ สามารถนำพลังงานความร้อนที่สูญเสียไปจากการคายพลังงานของปฏิกิริยามีเทนเนชัน กลับมาใช้ใหม่โดยการนำไปผลิตเป็นไอน้ำความดันสูงได้อย่างมีประสิทธิภาพ หนึ่งในแนวทางสำหรับกระบวนการนำความร้อนกลับมาใช้ใหม่ (heat recovery) นี้ ก็คือการนำความ

ร้อนจากปฏิกิริยากลับมาใช้ในภายใต้สภาวะที่มีอุณหภูมิสูง ซึ่งเทคโนโลยี Trepmp™ รองรับแนวทางนี้ และสามารถผลิตมีเทนได้ดีที่อุณหภูมิสูงกว่า 700 องศาเซลเซียส โดยใช้ตัวเร่งปฏิกิริยาเชิงการค้าที่มีชื่อว่า MCR-2X ร่วมด้วย ซึ่งตัวเร่งปฏิกิริยาชนิดนี้สามารถนำไปใช้ได้ในช่วงอุณหภูมิที่กว้าง 250 – 700 องศาเซลเซียส เทคโนโลยีนี้มีข้อดี คือ สามารถนำความร้อนจากปฏิกิริยากลับมาใช้ใหม่ในรูปของไอน้ำความดันสูง สามารถนำพลังงานกลับมารีไซเคิลได้อย่างมีประสิทธิภาพ และสามารถลดค่าใช้จ่ายของกระบวนการได้ ปัจจุบันเทคโนโลยี Trepmp™ ถูกพัฒนาอย่างต่อเนื่อง



รูปที่ 2.7 แผนผังของเทคโนโลยี Trepmp™ โดยบริษัท Topsoe , 2009

กระบวนการผลิตมีเทนแบบเบตนิ่งอีกกระบวนการหนึ่งที่น่าสนใจคือ กระบวนการ ICI ของบริษัท Imperial Chemical Industries ของประเทศอังกฤษ โดยได้พัฒนาระบบให้สามารถผลิตมีเทนได้ที่อุณหภูมิสูงและใช้ตัวเร่งปฏิกิริยาปริมาณมาก โดยตัวเร่งปฏิกิริยาที่เลือกใช้คือตัวเร่งปฏิกิริยานิกเกิล มีปริมาณนิกเกิลสูงถึงร้อยละ 60 แผนผังของกระบวนการแสดงดังรูปที่ 2.8 กระบวนการนี้จะใช้เตาปฏิกรณ์เบตนิ่งแบบอะไดแบติก 3 เตาปฏิกรณ์ต่อกันแบบอนุกรม พร้อมกับติดตั้งระบบหล่อเย็นของแก๊สไว้ภายในเพื่อควบคุมอุณหภูมิของเตาปฏิกรณ์ที่ 2 ให้ต่ำกว่า 750 องศาเซลเซียส อย่างไรก็ตามกระบวนการนี้ยังคงเป็นระดับทดลองที่ยังไม่มีการพัฒนาไปจนถึงระดับเชิงการค้า ในปัจจุบันมุมมองของการพัฒนากระบวนการมีเทนชั้นแบบเบตนิ่ง คือ เน้นการพัฒนาเพื่อสามารถดำเนินการได้ที่อุณหภูมิสูง เพื่อสามารถผลิตมีเทนได้ต่อเนื่องจากกระบวนการผลิตแก๊ส (gasification) และยังคงต้องมีการพัฒนาตัวเร่งปฏิกิริยาที่มีความว่องไว และเสถียรภาพสูงต่อสภาวะดำเนินการได้ในช่วงอุณหภูมิสูงได้อีกด้วย



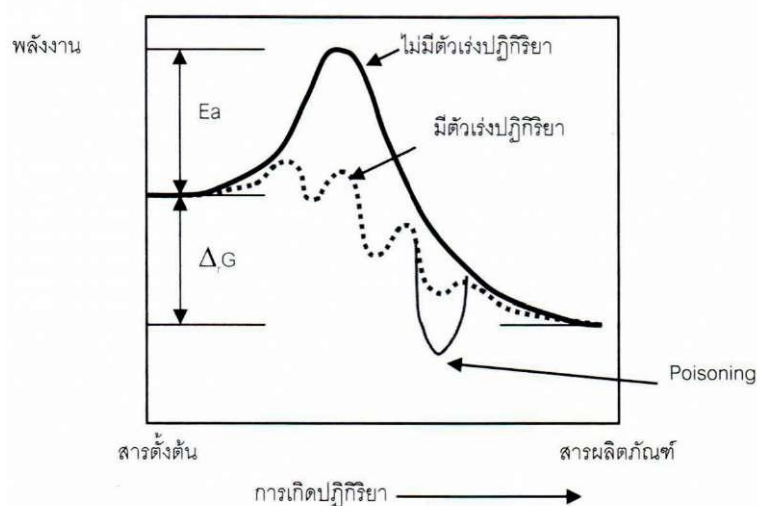
รูปที่ 2.8 แผนผังของกระบวนการ ICI ในสภาวะอุณหภูมิสูง โดยทีมงาน Kopyscinski et al., 2010

สำหรับกระบวนการมีเทนชันแบบฟลูอิดไดซ์เบดนั้น ถูกริเริ่มขึ้นในปี ค.ศ. 1952 โดย United States Department of Interior ประเทศสหรัฐอเมริกา ระบบประกอบด้วยเตาปฏิกรณ์แบบเบดนิ่ง 1 ตัว ต่อด้วยเตาปฏิกรณ์แบบฟลูอิดไดซ์เบด 2 ตัว สามารถผลิตมีเทนได้ต่อเนื่องมากกว่า 1000 ชั่วโมง อย่างไรก็ตามโครงการก็ถูกยับยั้งภายในปี 1956 ต่อมาโครงการ Bi-Gas โดยบริษัท Bituminous Coal Research Inc. ในปี ค.ศ. 1963 สำหรับผลิตแก๊สธรรมชาติสังเคราะห์จากถ่านหิน ซึ่งสามารถผลิตแก๊สธรรมชาติสังเคราะห์ที่ได้นานถึง 2200 ชั่วโมงในระดับปฏิบัติการ (pilot plant) และให้ร้อยละการเปลี่ยนของคาร์บอนมอนอกไซด์สูงถึงร้อยละ 70 – 95 ต่อมาในปี ค.ศ. 1975 และ 1986 ทีมงาน Thyssengas GmbH และ มหาวิทยาลัย Karlsruhe ประเทศเยอรมัน ได้พัฒนากระบวนการผลิตมีเทนจากเตาปฏิกรณ์แบบฟลูอิดไดซ์เบด เรียกกระบวนการดังกล่าวว่ากระบวนการ Conflux และในปี ค.ศ. 1977 มีแบบจำลอง (pilot plant) คิดค้นขึ้น และระบบผลิตมีเทนเชิงการค้าแบบฟลูอิดไดซ์เบด (commercial plant) ก็ได้ริเริ่มขึ้นช่วงปลายของปี 1981 มีกำลังผลิตมีเทน 2000 ลูกบาศก์เมตรต่อชั่วโมง

2.5 ตัวเร่งปฏิกิริยาเคมี (catalysts)

เนื่องจากภาวะดำเนินปฏิกิริยาที่อุณหภูมิต่ำ มีเทเนชันจำเป็นต้องใช้ตัวเร่งปฏิกิริยา

2.5.1. ตัวเร่งปฏิกิริยา (catalyst) ตัวเร่งปฏิกิริยา คือ สารที่เติมลงไปในปฏิกิริยาแล้ว ทำให้ปฏิกิริยาเกิดขึ้นได้เร็วขึ้น หรือ ทำให้อัตราการเกิดปฏิกิริยาเพิ่มขึ้น โดยที่ตัวเร่งปฏิกิริยา อาจจะมีส่วนร่วมในกาเกิดปฏิกิริยาดวยวิธีไม่ก็ได้ แต่เมื่อสิ้นสุดปฏิกิริยา ตัวเร่งเหล่านี้จะต้องมี ปริมาณเท่าเดิมและมีสมบัติเหมือนเดิม การที่ตัวเร่งปฏิกิริยาสามารถเพิ่มอัตราการเกิดปฏิกิริยาได้ เนื่องจากว่า ตัวเร่งปฏิกิริยาช่วยลดพลังงานก่อกัมมันต์ของปฏิกิริยาให้ต่ำลง จึงทำให้โมเลกุลที่มี พลังงานสูงกว่าหรือเทียบเท่าพลังงานก่อกัมมันต์จำนวนมากขึ้น ปฏิกิริยาเคมีจึงเกิดเร็ว แต่จะไม่ ทำให้พลังงานของปฏิกิริยาเปลี่ยนแปลงไป ดังรูป 2.9



รูปที่ 2.9 แผนภาพเปรียบเทียบพลังงานปฏิกิริยาที่ไม่มีตัวเร่งและมีพลังงานก่อกัมมันต์สูง และปฏิกิริยาที่มีตัวเร่งปฏิกิริยาที่มีพลังงานก่อกัมมันต์ (จตุพร วิทยาคุณ, 2547)

จากกราฟจะเห็นว่าพลังงานก่อกัมมันต์ของตัวเร่งปฏิกิริยาที่มีตัวเร่งปฏิกิริยาจะต่ำกว่า พลังงานก่อกัมมันต์ของปฏิกิริยา แต่พลังงานของปฏิกิริยายังคงเท่าเดิม เนื่องจากตัวเร่งปฏิกิริยา เพียงแต่ทำให้พลังงานก่อกัมมันต์ลดลง ไม่ทำให้พลังงานของสารตั้งต้นและผลิตภัณฑ์ เปลี่ยนแปลง

ในการเติมตัวเร่งปฏิกิริยาควรใช้เพียงเล็กน้อย เนื่องจากหากใช้มากเกินไป ตัวเร่งปฏิกิริยาอาจกลายเป็นสารตั้งต้นสารหนึ่งๆ ที่เข้าทำปฏิกิริยา ทำให้ปฏิกิริยาเปลี่ยนแปลงไป ในปฏิกิริยาหนึ่ง อาจใช้ตัวเร่งปฏิกิริยาได้มากกว่าหนึ่งชนิด และตัวเร่งปฏิกิริยาชนิดหนึ่ง อาจใช้เร่งปฏิกิริยาได้หลายชนิดเช่นเดียวกัน

คุณสมบัติของตัวเร่งปฏิกิริยาขึ้นอยู่กับลักษณะการใช้เร่งของตัวเร่งปฏิกิริยา โดยตัวเร่งปฏิกิริยาที่ดีต้องมีค่าความว่องไว (Activity) ที่สูง มีความเสถียร (Stability) ที่ดี และมีค่าการเลือกเกิดผลิตภัณฑ์ (Selectivity) ที่ต้องการมีค่าสูงตัวเร่งสำหรับปฏิกิริยามีเทนชัน มีความหลากหลายมาก แต่ที่พบมากที่สุดเป็นโลหะทรานซิชัน ได้แก่ โคบอลต์ เหล็ก เซอร์โคเนียม รูทีเนียม และนิกเกิล เป็นต้น

2.5.1.1 ความว่องไวของตัวเร่งปฏิกิริยา (catalyst activity)

ความว่องไวของตัวเร่งปฏิกิริยา (catalyst activity) แสดงถึงความสามารถในการเร่งปฏิกิริยาของตัวเร่งปฏิกิริยา หรืออัตราเร็วที่ทำให้ปฏิกิริยาดำเนินเข้าสู่สมดุลเคมีได้ โดยความว่องไวนี้ไม่เพียงขึ้นกับธรรมชาติของสารเคมีนั้นๆ แต่ยังขึ้นกับพื้นที่ผิวของตัวเร่งปฏิกิริยา (active surface) การกระจายตัวของขนาดรูพรุน และการผสมตัวปรับแต่ง (modifiers) ตัวส่งเสริม (promoter) หรือตัวยับยั้ง (inhibitors) ซึ่งสามารถเปลี่ยนคุณสมบัติของตัวเร่งปฏิกิริยาได้ โดยตัวปรับแต่งเหล่านี้ไม่สามารถเร่งปฏิกิริยาเองได้

2.5.1.2 สัดส่วนการเลือกทำปฏิกิริยาของตัวเร่งปฏิกิริยา (catalyst selectivity)

สัดส่วนการเลือกทำปฏิกิริยาของตัวเร่งปฏิกิริยา (catalyst selectivity) คือความสามารถของตัวเร่งปฏิกิริยาที่ทำให้เกิดปฏิกิริยาในเส้นทางหนึ่ง (reaction pathway) มากกว่าเส้นทางอื่นๆ ทั้งหมด โดยจะเลือกเร่งปฏิกิริยาที่ต้องการมากที่สุดและให้เกิดปฏิกิริยาข้างเคียง (side reaction) น้อยที่สุดการที่มีสัดส่วนการเลือกทำปฏิกิริยาสูงสำหรับผลิตภัณฑ์ที่ต้องการจะเป็นสิ่งที่จำเป็นอย่างยิ่งสำหรับคุณภาพของตัวเร่งปฏิกิริยา

2.5.1.3 ความเสถียร (stability)

ความเสถียร (stability) หรือ อายุการใช้งาน (lifetime) คือเวลาที่ตัวเร่งปฏิกิริยาสามารถคงสภาพในการเร่งปฏิกิริยาได้ก่อนที่จะเสื่อมสภาพ เนื่องมาจากการสูญเสียความว่องไว ตัวเร่งปฏิกิริยาที่ดีต้องมีอายุการใช้งานที่นาน สามารถเร่งปฏิกิริยาได้หลายรอบโดยที่ไม่เสื่อมสภาพ การเลือกใช้ตัวเร่งปฏิกิริยาควรคำนึงถึงความเสถียร เนื่องจากตัวเร่งปฏิกิริยาอาจเร่งได้หลายปฏิกิริยาและปฏิกิริยาข้างเคียงบางปฏิกิริยาอาจทำให้ตัวเร่งปฏิกิริยาเปลี่ยนรูปไปอยู่ในสภาพที่ไม่สามารถกลับมาใช้งานได้อีก

2.5.2. การจำแนกประเภทของตัวเร่งปฏิกิริยา

ตัวเร่งปฏิกิริยาจำแนกได้เป็น 3 ชนิด โดยพิจารณาจากเฟส (phase) ของตัวเร่งปฏิกิริยากับเฟสของสารตั้งต้น

2.5.2.1 ตัวเร่งปฏิกิริยาแบบเอกพันธ์ (homogeneous catalyst)

เป็นตัวเร่งปฏิกิริยาที่อยู่ในวัฏภาคเดียวกับสารตั้งต้นและผลิตภัณฑ์ไม่ว่าจะเป็นแก๊สหรือของเหลว

2.5.2.2 ตัวเร่งปฏิกิริยาแบบวิวิธพันธ์ (heterogeneous catalyst)

เป็นตัวเร่งปฏิกิริยาอยู่ในวัฏภาคที่ต่างจากสารตั้งต้นและผลิตภัณฑ์ส่วนใหญ่ตัวเร่งปฏิกิริยาวิวิธพันธ์มักจะอยู่ในสถานะของแข็ง ในขณะที่สารตั้งต้นมักจะอยู่ในสถานะแก๊สหรือของเหลว ซึ่งตัวเร่งชนิดนี้นิยมใช้กันมากในอุตสาหกรรม เนื่องจากทนความร้อนและแรงกระทบได้ดีการเก็บรักษาและการนำไปใช้งานง่ายกว่าตัวเร่งปฏิกิริยาเอกพันธ์ เพราะไม่ต้องอาศัยตัวทำละลาย นอกจากนี้ยังสามารถแยกออกจากสารผลิตภัณฑ์ได้ง่าย ทำให้มีค่าใช้จ่ายต่ำ

ตารางที่ 2.2 การแบ่งประเภทของตัวเร่งปฏิกิริยาชนิดวิวิธพันธุ์ (วิทยา เรื่องพริสทิต, 2547)

ประเภท	ปฏิกิริยา	ตัวอย่างตัวเร่งปฏิกิริยา
โลหะ	ไฮโดรจีเนชัน ดีไฮโดรจีเนชัน (dehydrogenation) ไฮโดรจีโนไลซิส (hydrogenolysis) ออกซิเดชัน*	Fe, Ni, Pd, Pt, Ag
ออกไซด์และซัลไฟด์ ของสาร กึ่งตัวนำ	ออกซิเดชัน ดีไฮโดรจีเนชัน ดีซัลเฟอร์ไรเซชัน (desulphurization) ไฮโดรจีเนชัน*	NiO, ZnO, MnO ₂ , Cr ₂ O ₃ , Bi ₂ O ₃ , MoO ₃
ออกไซด์ของสารฉนวนไฟฟ้า	ดีไฮเดรชัน (dehydration)	Al ₂ O ₃ , SiO ₂ , MgO
กรด**	แคตอลิกอัลคิเลชัน	SiO ₂ -Al ₂ O ₃ , Zeolites

* ปฏิกิริยาที่เกิดขึ้นได้แต่ไม่ดีนัก

** กรดที่เป็นของเหลว ได้แก่ HgPO₄ และ H₂SO₄ ใช้เป็นตัวเร่งปฏิกิริยาพอลิเมอไรเซชันและไอโซเมอไรเซชัน

แสดงให้เห็นถึงประเภทของตัวเร่งปฏิกิริยาชนิดวิวิธพันธุ์ประเภทที่เป็นของแข็ง โดยแบ่งตามชนิดของของแข็งหรือตามความสามารถในการเร่งปฏิกิริยา อย่างไรก็ตามปฏิกิริยาเคมีระหว่างตัวเร่งปฏิกิริยากับระบบของสารตั้งต้นและผลิตภัณฑ์ต้องไม่เปลี่ยนแปลงธรรมชาติทางเคมีของตัวเร่งปฏิกิริยา ยกเว้นที่บริเวณผิวของตัวเร่งปฏิกิริยา ดังนั้นการเปรียบเทียบปฏิกิริยาที่เกิดขึ้นบนผิวดังกล่าวเป็นปฏิกิริยาการดูดซับ (adsorption) เท่านั้น

สำหรับข้อสังเกตที่ได้จากตารางที่ 2.2 อาจสรุปการเกิดปฏิกิริยาได้เป็นข้อๆ ดังนี้

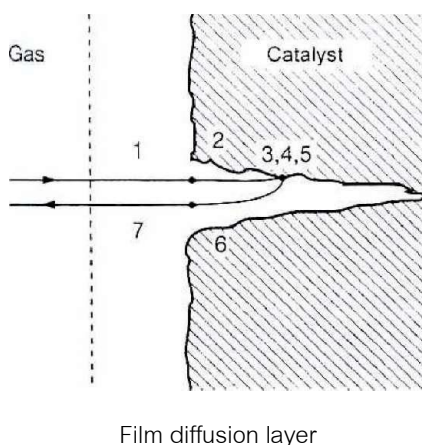
1. โลหะแทรนซิชันเป็นตัวเร่งปฏิกิริยาที่ดีที่สุดสำหรับปฏิกิริยาที่เกี่ยวข้องกับอะตอมไฮโดรเจนและสารประกอบไฮโดรคาร์บอน แต่เป็นตัวเร่งปฏิกิริยาที่ไม่ดีสำหรับปฏิกิริยาออกซิเดชัน สาเหตุเนื่องจากโลหะส่วนใหญ่ถูกออกซิไดซ์ได้ ยกเว้นโลหะโนเบล (nobel) ซึ่งได้แก่โลหะแพลเลเดียม (Pd), แพลทินัม (Pt), และ เงิน (Ag) ซึ่งโลหะโนเบลเหล่านี้ถูกออกซิไดซ์ได้ยาก ดังนั้นโลหะโนเบลจึงเป็นตัวเร่งปฏิกิริยาในปฏิกิริยาออกซิเดชันที่ไม่ดี

2. ออกไซด์ของโลหะหลายชนิด ส่วนมากทำให้เกิดปฏิกิริยาไฮโดรจีเนชัน ยกเว้น สารประกอบคอปเปอร์โครไมต์ (CuCr_2O) สาเหตุเนื่องจากโลหะในสารประกอบออกไซด์ของโลหะ ชนิดนี้สามารถทำให้เกิดปฏิกิริยาไฮโดรจีเนชันและดีไฮโดรจีเนชันซึ่งขึ้นกับอุณหภูมิของการเกิดปฏิกิริยารีดักชัน (reduction) ด้วยไฮโดรเจน สำหรับสารประกอบซัลไฟด์ของสารกึ่งตัวนำ

3. ออกไซด์ที่เป็นอะลูมินา (alumina) ซิลิกา (silica) และแมกนีเซียม (magnesia) สามารถทำให้เกิดปฏิกิริยาออกซิเดชันโดยออกซิเจนได้แต่เกิดได้ไม่ดี สารประกอบเหล่านี้จึงเป็นตัวเร่งปฏิกิริยาเพื่อการเกิดปฏิกิริยาออกซิเดชันที่แย่มาก แต่จะเป็นสารประกอบดูดซับน้ำได้ดีมาก ดังนั้นสารประกอบออกไซด์เหล่านี้จึงเป็นตัวเร่งปฏิกิริยาสำหรับเกิดปฏิกิริยาดีไฮเดรชันที่ดี

4. กรดแก่และสารประกอบอะลูมิโนซิลิเกต (aluminosilicate) เป็นสารประกอบที่ใช้เป็นตัวเร่งปฏิกิริยา สำหรับปฏิกิริยาพอลิเมอไรเซชัน และเป็นตัวเร่งปฏิกิริยาในกระบวนการแตกตัว (cracking)

โดยนิยมใช้กันมากในอุตสาหกรรมการเกิดปฏิกิริยาโดยอาศัยตัวเร่งปฏิกิริยาเคมี แบบเนื้อผสมนี้เนื่องจากความว่องไวและความสามารถในการทำงานของตัวเร่งปฏิกิริยา มีอิทธิพลโดยตรงจากลักษณะโครงสร้างพื้นผิวของของแข็ง สารที่เป็นตัวเร่งปฏิกิริยาจึงควรมีพื้นผิวต่อปริมาตรมาก โดยนำตัวเร่งปฏิกิริยามาเคลือบบนวัสดุ (support) ที่มีรูพรุนสูง ตัวเร่งปฏิกิริยาหลังจากที่ใช้ไปช่วงระยะเวลาหนึ่งจะเสื่อมสภาพลง จะต้องมีการปรับสภาพเดิมอีกเป็นระยะ ๆ เรียกว่า activation สำหรับตัวเร่งปฏิกิริยาเคมีที่เคลือบบนวัสดุที่มีความพรุนสูง (high porosity) จะมีขั้นตอนการเกิดปฏิกิริยาดังนี้ และสามารถที่จะแสดงได้ดังรูปที่ 2.10



รูปที่ 2.10 ขั้นตอนการเกิดปฏิกิริยาเคมีที่มีตัวเร่งปฏิกิริยามีรูพรุนสูง

(Jens Hagen, 2000)

1. การถ่ายเทมวลสารจากของไหลภายนอกไปยังผิวของตัวเร่งปฏิกิริยา (Mass transfer through external boundary layer)
 2. การแพร่มวลสารเข้าไปในรูพรุนของตัวเร่งปฏิกิริยา (Diffusion into pores)
 3. การดูดซับสารบนพื้นผิวของตัวเร่งปฏิกิริยา (Chemisorption)
 4. การเกิดปฏิกิริยาเคมีบนผิวของตัวเร่งปฏิกิริยา (Reaction)
 5. ผลิตภัณฑ์ที่เกิดขึ้นหลุดจากผิวของตัวเร่งปฏิกิริยา (Desorption of products)
 6. ผลิตภัณฑ์แพร่ออกจากรูพรุน (Diffusion of products out of pores)
- การถ่ายเทมวลสารของผลิตภัณฑ์ออกสู่ของไหล (Mass transfer back to bulk fluid)
- ดังนั้นประเภทของตัวเร่งปฏิกิริยาแบบเนื้อผสม (Heterogeneous catalyst) จึงสามารถจำแนกตามชนิดของเฟส ระหว่างตัวเร่งปฏิกิริยากับสารตั้งต้นดังแสดงไว้ในตารางที่ 2.3

ตารางที่ 2.3 ประเภทของตัวเร่งปฏิกิริยาแบบเนื้อผสม (Heterogeneous catalyst) (วิทยา เรื่องวิสุทธิ, 2547)

ตัวเร่งปฏิกิริยา	สารตั้งต้น	ตัวอย่างปฏิกิริยาและตัวเร่งปฏิกิริยา
ของเหลว	แก๊ส	พอลิเมอไรเซชัน (polymerization) ของอัลคีน (alkene) โดยมีกรดฟอสฟอริก (phosphoric) เป็นตัวเร่งปฏิกิริยา
ของแข็ง	ของเหลว	การสลายตัวของไฮโดรเจนเปอร์ออกไซด์ (hydrogen peroxide) โดยมีทองคำเป็นตัวเร่งปฏิกิริยา
ของแข็ง	แก๊ส	การสังเคราะห์แอมโมเนีย โดยมีเหล็กเป็นตัวเร่งปฏิกิริยา
ของแข็ง	ของเหลวผสมกับแก๊ส	ไฮโดรจีเนชัน (hydrogenation) ของสารประกอบไนโตร-เบนซีน (nitrobenzene) เพื่อทำให้เกิดสารประกอบอะนิลีน (aniline) โดยมี Pd เป็นตัวเร่งปฏิกิริยา

ในการกล่าวถึงตัวเร่งปฏิกิริยาชนิดวิวิธพันธุ์ ซึ่งส่วนมากมักเกี่ยวกับตัวเร่งปฏิกิริยาที่เป็นของแข็ง โดยที่สารตั้งต้นเป็นแก๊ส หรือของเหลว หรือแก๊สรวมอยู่กับของเหลว

2.5.3. องค์ประกอบของตัวเร่งปฏิกิริยา

โดยทั่วไปตัวเร่งปฏิกิริยาประกอบด้วยสารหลายชนิด แต่พอจะแบ่งออกได้ดังนี้

2.5.3.1 สปีชีส์ที่ว่องไว (Active Species)

ซึ่งเป็นสารที่ทำหน้าที่ เป็นตัวเร่งปฏิกิริยาที่แท้จริง ตัว เร่งปฏิกิริยาอาจประกอบด้วยสปีชีส์ที่ว่องไว (active species) ล้วนๆ แต่ในกรณีที่ สปีชีส์ที่ว่องไวเป็นสารที่มีราคาแพงหรือมีพื้นที่ผิวต่ำ จะนิยมใช้วิธีเคลือบสปีชีส์ที่ว่องไวลงบนตัวรองรับ

2.5.3.2 ตัวรองรับ

ตัวรองรับ คือ ออกไซด์หรือคาร์บอนของโลหะที่มีปริมาณรูพรุน และพื้นที่ผิวสูงสำหรับหน้าที่หลักของตัวรองรับ คือ เพิ่มการกระจายให้กับตัวเร่งปฏิกิริยา และทำให้มีความแข็งแรงเชิงกลมากขึ้น โดยตัวรองรับต้องมีความเสถียรที่ดีภายใต้สภาวะที่ใช้ในการทดลอง และต้องไม่ทำปฏิกิริยากับสารตั้งต้น อย่างไรก็ตามจะมีปฏิกิริยาระหว่างตัวเร่งปฏิกิริยากับตัวรองรับเกิดขึ้นทั้งทางกายภาพและทางเคมี ดังนั้นตัวรองรับที่เลือกใช้ในตัวเร่งปฏิกิริยาจะมีผลต่อความว่องไวและความเสถียรของตัวเร่งปฏิกิริยาซึ่งอาจจะต้องพิจารณาพื้นที่ผิวของตัวรองรับและความเป็นกรดเบสของตัวรองรับที่จะมีผลโดยตรงต่อความว่องไวและความเสถียรของตัวเร่งปฏิกิริยา โดยตัวรองรับที่มีการนำมาศึกษากันอย่างกว้างขวางเพื่อนำมาใช้ ได้แก่ อะลูมินา

2.5.3.2.1 ตัวรองรับทัลค์

ทัลค์หรือเรียกว่าทัลค์ม (Mg₃(Si₄O₁₀)(OH)) มีชื่อทางเคมีว่าไฮดรรัสแมกนีเซียมซิลิเกต (Hydrous magnesium silicate: Mg₃Si₄O₁₀(OH)₂) รูปผลึกระบบโมโนคลินิก ลักษณะของ ผลึกเป็นแผ่นหนารูปสี่เหลี่ยมขนมเปียกปูนและรูปหกเหลี่ยม เป็นสารประกอบของ แมกนีเซียมซิลิเกตและน้ำ เป็นวัตถุดิบแมกนีเซียมตามธรรมชาติที่มีราคาถูก แมกนีเซียมบริสุทธิ์หรือแมกนีเซียม ลังเคราะห์จะมีราคาแพงกว่ามาก แผ่นแร่มีเนื้อเสมานแน่น บางทีก็มีลักษณะแผ่เป็นรูปรัศมี แนว แตกเรียบสมบูรณ์ลักษณะที่เป็นแผ่น

บางๆ จะโค้งงอได้แต่กลับไม่ได้ความถ่วงจำเพาะ 2.7-2.8 วาวแบบมุกและมันฉาบ สีเขียว แอปเปิล เทา ขาว หรือสีน้ำเงิน สำหรับหินสบู่ (soapstone) จะมีสีเทาแก่หรือสีเขียวลึน มือทล็กมักจะเป็นแร่ทุติยภูมิ ซึ่งเกิดจากการผุสลายแปรสภาพของ แร่แมกนีเซียมซิลิเกต เช่น โอลิวีน ไพรอกซีนและแอมฟิโบล ทล็กอาจพบเกิดเป็นส่วนประกอบของ หินแปรพวกชีสต์เช่นทล็กชีสต์ในประเทศไทยมีการกำเนิดสัมพันธ์กับหินเซอร์เพนทีไนต์และแร่คลอไรต์ในบริเวณที่มีหินอัลตราเมฟิก ทล็กหรือแมกนีเซียมซิลิเกตนิยม ใช้เป็นวัตถุผสมในเนื้อดิน ซึ่งเผาในอุณหภูมิสูง แมกนีเซียมมีคุณสมบัติพิเศษ คือ มีอัตราการขยายตัวต่ำเมื่อโดนเผาผ่าน ความร้อน ดังนั้นจึง สามารถสะท้อนความร้อนได้ดี (thermal shock resistance) เหมาะสำหรับ ผสมเนื้อดินที่ทำผลิตภัณฑ์ประเภทหม้ออบและภาชนะถ้วยชามที่ใช้ในเตาอบ แต่ทล็กมีข้อเสีย คือ มีอุณหภูมิในการเผาจำกัด หรือ มีช่วงอุณหภูมิในการเผาแคบ ถ้าเผาเกินอุณหภูมิผลิตภัณฑ์ จะยุบตัวเสียรูปทรงได้ง่าย และการที่เนื้อดินมีอัตราการขยายตัวต่ำมาก ทำให้หาคืออบมาเข้ากัน ได้ยาก เนื้อดินที่ผสมทล็กที่เผาในอุณหภูมิต่ำ 1100 องศาเซลเซียส มีการขยายตัวต่ำแต่มีความ พูนตัวสูง เมื่อใช้งานไปนานๆ คือบจะเกิดรอยแตกช้าๆ ได้ (delay crazing) โดยปกติในเนื้อดินที่ เผาในอุณหภูมิต่ำ จะใช้ทล็กคู่กับหินปูนเล็กน้อย เพื่อเพิ่มความแข็งแรงให้กับเนื้อดิน ลดการแตกรานของน้ำเคลือบ และการดูดซึมน้ำของเนื้อดิน ถ้าเผาต่ำกว่าอุณหภูมิ 1200 องศาเซลเซียส (จุมพล คีนตัก และรัชชัย พิงค์มี, 2530)

องค์ประกอบทางเคมี

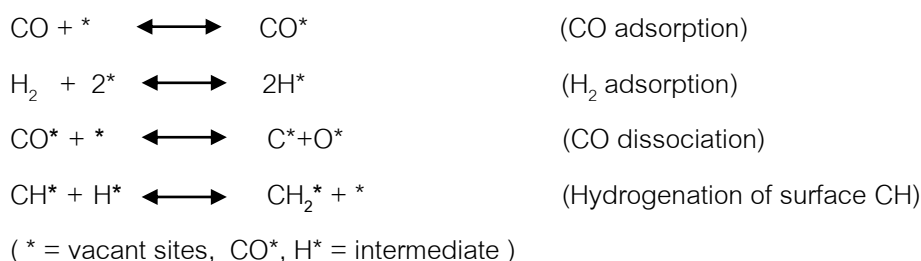
SiO ₂	ร้อยละ 63.5
MgO	ร้อยละ 31.7
H ₂ O	ร้อยละ 4.8

ข้อดี

- ไม่เกิดปฏิกิริยากับกรด ถ้าทำให้ชุ่มด้วยโคบอลต์ไนเตรด (cobalt nitrate) จึงเหมาะสมใช้ในกระบวนการมีเทนชัน

2.5.3.3 โลหะนิกเกิล

โลหะนิกเกิล เป็นธาตุที่อยู่กลุ่มโลหะทรานซิชัน เป็นธาตุที่มีเลขอะตอม (atomic number) เท่ากับ 28 น้ำหนักอะตอม (atomic weight) เท่ากับ 58.69 โลหะนิกเกิลถูกนำไปใช้เป็นตัวเร่งปฏิกิริยาที่เกี่ยวข้องกับการเติมไฮโดรเจน (hydrogenation) หรือ กำจัดไฮโดรเจน (dehydrogenation) อย่างแพร่หลาย ในกระบวนการผลิตมีเทน เพราะนิกเกิลมีคุณสมบัติมีความเป็นเบส และสามารถเป็นตัวเร่งปฏิกิริยาที่ดำเนินไปข้างหน้า (methanation) และปฏิกิริยาย้อนกลับ (steam reforming) ได้และยังมีราคาถูกและสามารถหาได้ง่าย จึงเหมาะสมที่นำมาใช้ในมีเทนเนสชันได้มีการศึกษาประสิทธิภาพของตัวเร่งปฏิกิริยานิกเกิลบนตัวรองรับอะลูมินา (Ni/Al₂O₃) ต่อกกลไกการเกิดมีเทนจากคาร์บอนไดออกไซด์ ซึ่งมีกลไกการเกิดปฏิกิริยา ดังนี้ (Rajiv and Robert, 1992)

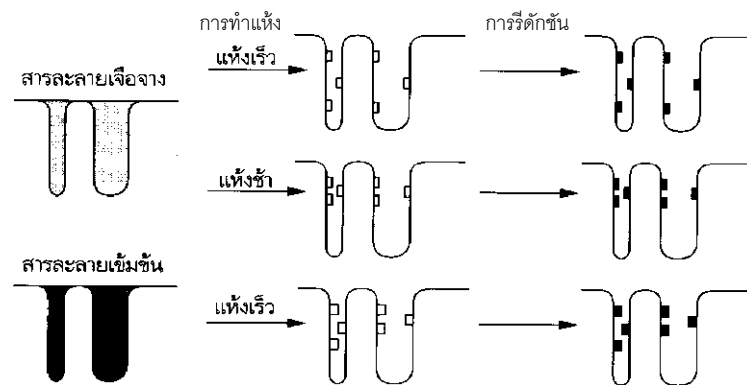


2.6 การเตรียมตัวเร่งปฏิกิริยาโดยการฝังเคลือบ (impregnation)

การเคลือบโลหะโดยวิธีการฝังตัว (impregnation) เป็นวิธีที่มีความนิยมมากเพราะวิธีนี้จะเพิ่มพื้นที่ผิวของบริเวณที่มีความว่องไวในการเกิดปฏิกิริยา (active phase) เป็นการเตรียมโลหะตัวเร่งปฏิกิริยาชนิดที่มีตัวรองรับโดยแบ่งเป็นขั้นตอนสำคัญได้ 4 ขั้นตอนคือ

1. ขั้นตอนการเตรียมพื้นผิว (precursor) ของตัวรองรับ โดยการทำให้สะอาดด้วยสารละลายน้ำ ตัวอย่างตัวรองรับได้แก่ สารประกอบ Al₂O₃ และ SiO₂
2. ขั้นตอนการทำแห้ง (drying)
3. ขั้นตอนการทำแคลซิเนชัน (calcination) เป็นการทำความสะอาดโดยการเผาด้วยความร้อน
4. ขั้นตอนการทำปฏิกิริยารีดักชัน (reduction) เพื่อเปลี่ยนแปลงโลหะที่มีประจุให้เป็นโลหะที่เป็นกลางโดยทำปฏิกิริยากับแก๊สไฮโดรเจนที่เจือจางด้วยแก๊สไนโตรเจน

ตัวอย่างขั้นตอนการเตรียมตัวเร่งปฏิกิริยาโดยวิธีฝังตัวด้วยโลหะแพลทินัมดังแสดงไว้ในรูปที่ 2.4 ซึ่งเป็นการฝังโลหะไปบนตัวรองรับที่มีลักษณะเป็นโพรง โดยโลหะและไอออนในสารละลายต้องไม่ทำปฏิกิริยากับสารที่ใช้เป็นตัวรองรับ ตัวอย่างการเตรียมตัวเร่งโดยวิธีฝังตัวด้วยโลหะแพลทินัมบนผิวของซิลิกาที่ใช้เป็นตัวรองรับ



รูปที่ 2.11 ขั้นตอนการเตรียมตัวเร่งปฏิกิริยาโดยวิธีฝังตัวด้วยโลหะบนตัวรองรับ
(วิทยา เรื่องพรสุทธิ, 2547)

สาเหตุของการเสื่อมสภาพในการทำงานของตัวเร่งปฏิกิริยาอาจเกิดจากปฏิกิริยา

2 แบบ คือ

1. ปฏิกิริยาผันกลับโดยสารเจือปนที่ปนอยู่กับสารตั้งต้น ทำให้เกิดปฏิกิริยาพิษต่อตัวเร่งปฏิกิริยา
2. ปฏิกิริยาการผันกลับของการเปลี่ยนแปลงทางกายภาพ (physical change) และการสึกกร่อนของพื้นที่ผิวอันเนื่องจากการเผาตามกระบวนการหลอมรวม (sintering) อย่างไรก็ตาม ปฏิกิริยาผันกลับดังกล่าวอาจได้รับการแก้ไขได้โดยวิธีง่ายๆ เช่น การทำให้เกิดปฏิกิริยาออกซิเดชันโดยไม่ต้องเอาตัวเร่งปฏิกิริยาออกจากเครื่องปฏิกรณ์

2.7 งานวิจัยที่เกี่ยวข้อง

Ma และคณะ (2011) ได้ทำการเตรียมตัวเร่งปฏิกิริยานิกเกิลบนตัวรองรับอะลูมินา ($\text{Ni}/\text{Al}_2\text{O}_3$) ด้วยวิธีตกตะกอนร่วม (co-precipitation) ในตัวกลาง (medium) ที่เป็นน้ำ เปรียบเทียบกับตัวกลางที่เป็นเอทิลีนไกลคอล (Ethylene glycol) นอกจากนี้ยังศึกษาผลของอุณหภูมิที่ใช้ในการเผาตัวเร่งปฏิกิริยา (calcination temperature) ต่อประสิทธิภาพของตัวเร่งปฏิกิริยา โดยตัวเร่งปฏิกิริยาที่เตรียมขึ้นในแต่ละสภาวะจะถูกนำไปทดสอบในกระบวนการมีเทนชัน ที่สภาวะดำเนินการต่างๆ จากการทำการศึกษามีเทนชัน ที่สภาวะ อุณหภูมิ 573 เคลวิน ณ ความดันบรรยากาศ และ H_2/CO เท่ากับ 3 ต่อ 1 พบว่า ตัวเร่งปฏิกิริยา $\text{Ni}/\text{Al}_2\text{O}_3$ ที่เตรียมในตัวกลางเอทิลีนไกลคอล และผ่านการเผาที่อุณหภูมิ 673 เคลวิน มีความเหมาะสมในการทำการปฏิกิริยามากที่สุด โดยให้ร้อยละการเลือกเกิดมีเทนสูงที่สุด และ ให้ร้อยละการเปลี่ยนของคาร์บอนมอนอกไซด์มากที่สุด เท่ากับร้อยละ 98.2 ซึ่งจากผลการวิเคราะห์พื้นที่ผิวของตัวเร่งปฏิกิริยาด้วยเทคนิค BET พบว่า ตัวเร่งปฏิกิริยาที่เผาที่อุณหภูมิ 673 เคลวิน มีขนาดรูพรุน และมีพื้นที่ผิวในการทำการปฏิกิริยาที่เหมาะสม

Yu และคณะ (2011) ได้ศึกษากระบวนการผลิตมีเทนจากปฏิกิริยาคาร์บอนมอนอกไซด์ไฮโดรจีเนชัน โดยใช้ตัวเร่งปฏิกิริยานิกเกิลบนตัวรองรับซิลิกาคาร์ไบด์ (Ni/SiC) ที่เตรียมขึ้นด้วยเทคนิคแบบเคลือบฝัง (impregnation) จากการศึกษาผลของปริมาณโลหะนิกเกิล และอุณหภูมิที่ใช้ในการเผาต่อประสิทธิภาพของตัวเร่งปฏิกิริยา พบว่า ตัวเร่งปฏิกิริยาที่มีปริมาณนิกเกิล ร้อยละ 15 โดยน้ำหนัก และเผาที่อุณหภูมิ 550 องศาเซลเซียส จะให้ร้อยละการเลือกเกิดมีเทน และร้อยละการเปลี่ยนของสารตั้งต้นมากที่สุด นอกจากนี้เมื่อทำการเปรียบเทียบตัวเร่งปฏิกิริยา Ni/SiC กับตัวเร่งปฏิกิริยานิกเกิลไทเทเนียมออกไซด์ (Ni/TiO_2) พบว่า ตัวเร่งปฏิกิริยา Ni/SiC มีเสถียรภาพทางความร้อน และมีความต้านทานต่อการเสื่อมสภาพของตัวเร่งปฏิกิริยามากกว่า เนื่องจากความสามารถในการนำความร้อนที่สูงของตัวรองรับซิลิกอนคาร์ไบด์

Misirlioglu และคณะ (2007) ศึกษาการเตรียมถ่านชาร์จากถ่านหินลิกไนต์ โดยศึกษาผลของอุณหภูมิในการเผา คือ 700 และ 900 องศาเซลเซียส จากนั้นนำถ่านชาร์ที่เตรียมได้มาใช้ในการกระบวนการไฮโดรแกซิฟิเคชันเพื่อผลิตแก๊สสังเคราะห์ที่มีความเข้มข้นของมีเทนสูง พบว่าอุณหภูมิในการเผาชาร์และชนิดของถ่านหินไม่ส่งผลต่ออัตราการเกิดมีเทนในกระบวนการแกซิฟิเคชัน โดยปฏิกิริยาไฮโดรแกซิฟิเคชันแบ่งได้เป็น 2 ขั้นตอน คือ ขั้นตอนแรกเป็นการทำการปฏิกิริยาระหว่างไฮโดรเจนกับหมู่ออกซิเจนบนถ่านชาร์ของถ่านหิน ขั้นตอนนี้จะมีอัตราการเกิดปฏิกิริยาเร็ว ส่วนในขั้นตอนที่สอง เป็นช่วงของการเกิดปฏิกิริยาการเติมไฮโดรเจนให้แก่สารประกอบไฮโดรคาร์บอน

เกิดเป็นโครงสร้างของคาร์บอนที่มีความหนาแน่นสูงขึ้น ได้แก่ สารประกอบพวกอะโรมาติก ในขั้นตอนนี้อัตราการเกิดปฏิกิริยาจะช้ากว่าขั้นตอนแรกมาก ซึ่งอัตราการเกิดของมีเทน จะขึ้นกับอัตราการเกิดปฏิกิริยาในขั้นตอนแรกมากกว่า จากการทดลองพบว่า ถ่านชาร์ที่ผ่านการเผาที่อุณหภูมิต่ำ จะมีความว่องไวในการเกิดปฏิกิริยาในขั้นตอนแรกสูงกว่าถ่านชาร์ที่เผาที่อุณหภูมิสูง ส่งผลให้มีอัตราการเกิดมีเทนสูงกว่าและจะมีอัตราการเกิดมีเทนที่สูงขึ้นเมื่อทำปฏิกิริยาที่ภาวะความดันและอุณหภูมิสูง

Fujita และคณะ (1997) ศึกษาความแตกต่างของปฏิกิริยาคาร์บอนมอนอกไซด์มีเทนเนชัน (CO methanation) และคาร์บอนไดออกไซด์มีเทนเนชัน (CO₂ methanation) ต่อร้อยละการเลือกเกิดมีเทน โดยใช้ตัวเร่งปฏิกิริยาชนิดต่างๆ ได้แก่ NiO, Ni/Al₂O₃, Ni/SiO₂ และ Ru/SiO₂ พบว่า ในปฏิกิริยาคาร์บอนมอนอกไซด์มีเทนเนชัน จะเกิดขั้นตอนการดูดซับของคาร์บอนมอนอกไซด์โมเลกุลบนพื้นผิวของตัวเร่งปฏิกิริยาก่อนที่ไฮโดรเจนจะเข้าทำปฏิกิริยา ซึ่งการดูดซับลักษณะดังกล่าวจะทำให้อัตราการเกิดปฏิกิริยาการเติมไฮโดรเจน (hydrogenation) ของคาร์บอนโมเลกุล เกิดผลิตภัณฑ์เป็นมีเทนนั้นลดลง ในขณะที่ปฏิกิริยาคาร์บอนไดออกไซด์มีเทนเนชัน การดูดซับของโมเลกุลคาร์บอนมอนอกไซด์มีโอกาสเกิดขึ้นได้บ้าง แต่ไม่ถึงกับทำให้อัตราการเกิดปฏิกิริยาลดลง จึงอาจจะกล่าวได้ว่า ปฏิกิริยาคาร์บอนไดออกไซด์มีเทนเนชันน่าจะมีร้อยละการเลือกเกิดมีเทนมากกว่าในปฏิกิริยาคาร์บอนมอนอกไซด์มีเทนเนชัน อย่างไรก็ตาม ร้อยละการเลือกเกิดมีเทน (CH₄ selectivity) จะขึ้นอยู่กับ ปริมาณคาร์บอนมอนอกไซด์ที่ถูกดูดซับ และปริมาณพื้นผิวของคาร์บอนที่มีความว่องไวสูง (active site of carbon) ที่เกิดขึ้นในปฏิกิริยา

Tada และคณะ (2012) ศึกษาผลของความว่องไวและร้อยละการเลือกเกิดมีเทน ของปฏิกิริยาคาร์บอนไดออกไซด์มีเทนเนชัน (CO₂ methanation) โดยใช้ตัวเร่งปฏิกิริยานิกเกิลที่มีตัวรองรับที่แตกต่างกัน โดยตัวเร่งปฏิกิริยาที่เตรียมขึ้น จะกำหนดให้มีปริมาณนิกเกิลร้อยละ 10 โดยน้ำหนัก และใช้ตัวรองรับที่ต่างกัน ได้แก่ CeO₂, Al₂O₃, TiO₂ และ MgO จากการทดลองพบว่า ตัวเร่งปฏิกิริยา Ni/CeO₂ มีร้อยละการเปลี่ยนของสารตั้งต้นมากที่สุด และมีร้อยละการเลือกเกิดมีเทนมากกว่าตัวเร่งปฏิกิริยาชนิดอื่น จากการวิเคราะห์ผลด้วยเทคนิค CO₂-TPD พบว่า ตัวเร่งปฏิกิริยา Ni/CeO₂ มีความสามารถในการดูดซับคาร์บอนไดออกไซด์ได้มาก จึงส่งผลให้สามารถเร่งปฏิกิริยาคาร์บอนไดออกไซด์มีเทนเนชันได้มากด้วย

Silva และ คณะ (2012) ได้ทำการศึกษาประสิทธิภาพของตัวเร่งปฏิกิริยานิกเกิลบนตัวรองรับเซอร์โคเนียไดออกไซด์ (Ni/ZrO_2) ในปฏิกิริยาคาร์บอนมอนอกไซด์มีเทนชัน พบว่าตัวเร่งปฏิกิริยา Ni/ZrO_2 มีประสิทธิภาพดีสำหรับการเกิดปฏิกิริยาคาร์บอนมอนอกไซด์มีเทนชัน เนื่องจากมีความสามารถในการดูดซับคาร์บอนมอนอกไซด์ และความสามารถในการเคลื่อนย้ายโมเลกุลของไฮโดรเจน (H-spillover) ได้ดี อย่างไรก็ตาม ประสิทธิภาพของตัวเร่งปฏิกิริยา Ni/ZrO_2 จะลดลงเมื่อนำไปใช้กับปฏิกิริยาคาร์บอนไดออกไซด์มีเทนชัน

Muhamad และคณะ (2006) ทำการศึกษามีเทนชันของคาร์บอนมอนอกไซด์และคาร์บอนไดออกไซด์ที่ภาวะอุณหภูมิ 230 องศาเซลเซียส โดยใช้ตัวเร่งปฏิกิริยานิกเกิลที่มีตัวรองรับ 3 ตัว คือ ลาเทเนียมออกไซด์ (La_2O_3) โรเดียม (Rh) และ รูทีเนียม (Ru) จากผลการทดลองพบว่าเมื่อทำการเพิ่มอุณหภูมิที่สูงขึ้น ค่าร้อยละการเปลี่ยนของสารตั้งต้นจะมีค่าใกล้เคียง 100 และขณะเดียวกัน เมื่ออุณหภูมิเพิ่มสูงขึ้นค่าการเปลี่ยนของคาร์บอนมอนอกไซด์และคาร์บอนไดออกไซด์จะมีค่าใกล้เคียงกัน

Yongfa และคณะ (2012) ศึกษาการเลือกเกิดมีเทนของปฏิกิริยาคาร์บอนมอนอกไซด์มีเทนชัน ในภาวะที่ไฮโดรเจนที่มากเกินพอ โดยใช้ตัวเร่งปฏิกิริยารูทีเนียมบนตัวรองรับอะลูมินา โดยใช้ปริมาณร้อยละรูทีเนียม 0.5 ถึง 5 โดยทำการเตรียมตัวเร่งปฏิกิริยาแบบฝังเคลือบ (impregnation) โดยทำการเคลือบตัวเร่งปฏิกิริยาที่อุณหภูมิ 400 องศาเซลเซียส จากการทดลองพบว่าปริมาณรูทีเนียมที่ใส่ลงที่ร้อยละ 2 โดยน้ำหนักได้ค่าร้อยละการเปลี่ยนของคาร์บอนมอนอกไซด์ 97.2 และค่าร้อยละการเลือกเกิดมีเทน 83.3 จึงสรุปได้ว่าปริมาณของรูทีเนียมส่งผลต่อการเกิดปฏิกิริยาคาร์บอนมอนอกไซด์มีเทนชัน

จากการศึกษางานวิจัยที่ผ่านมาเกี่ยวกับกระบวนการมีเทนชัน พบว่าปัจจัยดำเนินการ ได้แก่ อุณหภูมิ ความดัน อัตราส่วนโดยระหว่างโมลไฮโดรเจนกับโมลคาร์บอนมอนอกไซด์ (H_2/CO) อัตราส่วนโดยระหว่างโมลไฮโดรเจนกับโมลคาร์บอนไดออกไซด์ (H_2/CO_2) และชนิดของตัวเร่งปฏิกิริยามีผลอย่างมากต่อร้อยละการเปลี่ยนของสารตั้งต้น และ ร้อยละการเลือกเกิดมีเทน (CH_4 selectivity) งานวิจัยส่วนใหญ่ศึกษาการทำปฏิกิริยามีเทนชัน ณ สภาวะอุณหภูมิต่ำและความดันสูงเพื่อให้ปฏิกิริยาดำเนินไปข้างหน้าตามหลักของอุณหพลศาสตร์ อย่างไรก็ตามเนื่องจากการดำเนินการ ณ ภาวะความดันสูงเป็นการสูญเสียค่าใช้จ่ายในการดำเนินการ แนวทางในการดำเนินการที่สภาวะความดันต่ำ จึงเป็นแนวทางหนึ่งที่น่าสนใจ จากงานวิจัยที่ผ่านมาที่ได้มี

การผลิตมีเทนที่สภาวะความดันต่ำ การผลิตมีเทนที่สภาวะความดันต่ำ จะได้ค่าร้อยละการเปลี่ยนเท่ากับ 100 ก็ต่อเมื่อดำเนินการที่อุณหภูมิต่ำ (200 ถึง 340 องศาเซลเซียส) อย่างไรก็ตามแนวคิดในการผลิตมีเทนที่อุณหภูมิ 400 ถึง 600 องศาเซลเซียส ยังคงมีความน่าสนใจเนื่องจากแก๊สสังเคราะห์ที่ได้จากกระบวนการผลิตแก๊สนั้นมีอุณหภูมิสูง ดังนั้นในงานวิจัยนี้จึงมุ่งที่จะศึกษาความเป็นไปได้ในการเกิดปฏิกิริยามีเทนชั้นที่อุณหภูมิ 400 ถึง 600 องศาเซลเซียส ที่ความดันบรรยากาศ โดยคาดว่าดำเนินการที่อุณหภูมิ 400 ถึง 600 องศาเซลเซียส จะช่วยเพิ่มอัตราการเกิดปฏิกิริยาเคมีของสารตั้งต้นในวัฏภาคแก๊ส ทำให้ร้อยละการเปลี่ยนของสารตั้งต้นสูงขึ้น นอกจากนี้การใช้ตัวเร่งปฏิกิริยาที่ความว่องไวสูงและราคาถูก เช่น ตัวเร่งปฏิกิริยานิกเกิล ก็น่าจะเป็นอีกปัจจัยหนึ่งที่สามารถเพิ่มร้อยละการเปลี่ยนของสารตั้งต้น ไปพร้อมๆกับการเพิ่มค่าร้อยละการเลือกเกิดมีเทนได้

บทที่ 3

เครื่องมือและวิธีการทดลอง

3.1 เครื่องมือและอุปกรณ์การทดลอง

3.1.1 ชุดอุปกรณ์ที่ใช้ในการเตรียมตัวเร่งปฏิกิริยา 10% NiO/talc

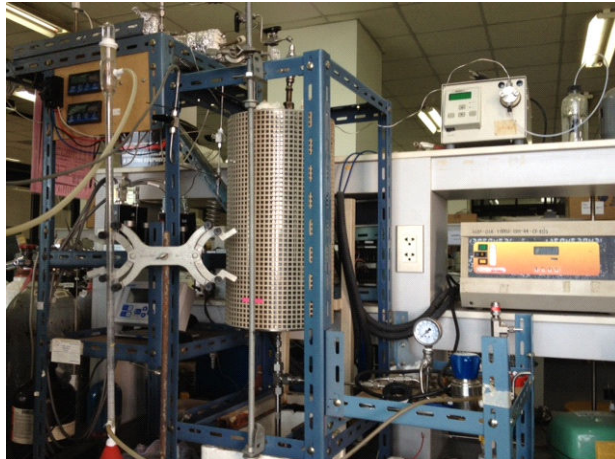
การเตรียมตัวเร่งปฏิกิริยา ที่ใช้ศึกษาในงานวิจัยนี้ เตรียมโดยวิธีเคลือบฝัง (impregnation) มีวัสดุอุปกรณ์ที่ใช้ดังนี้

1. ปีกเกอร์ (beaker) ขนาด 600 มิลลิลิตร
2. แท่งคน
3. ขวดวัดปริมาตร (volumetric flask)
4. เตาอบ (oven)
5. เตาเผาความร้อนสูง (muffle furnace)
6. มอเตอร์สำหรับหมุนใบกวน (mortar)
7. ช้อนตักสาร
8. หลอดหยด (dropper)
9. ถ้วยกระเบื้อง (crucible)
10. เครื่องอัดเม็ด

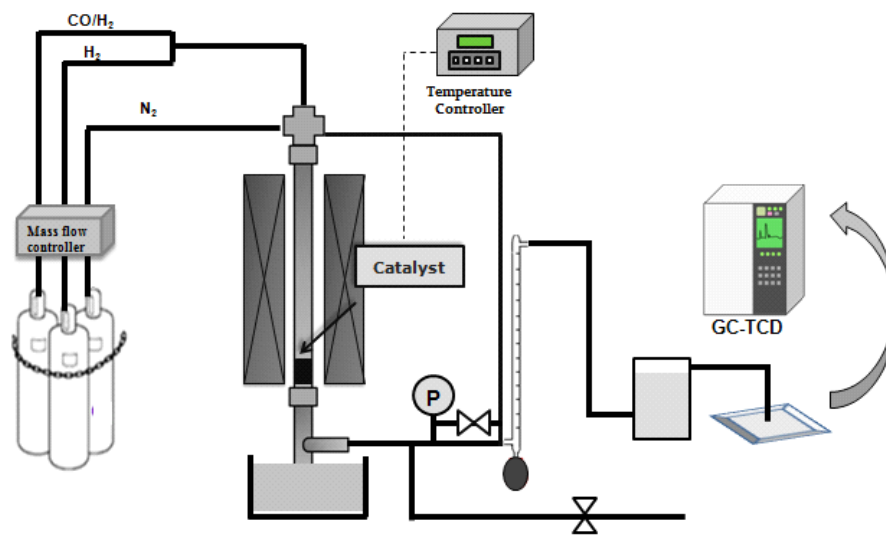
3.1.2 เครื่องปฏิกรณ์แบบเบตนิ่ง (Fixed-bed reactor)

เครื่องปฏิกรณ์แบบเบตนิ่งที่ใช้ในการทดลองนี้ แสดงดังรูปที่ 3.1 และ 3.2 ซึ่งประกอบด้วย ส่วนต่างๆ ดังนี้

1. เครื่องปฏิกรณ์แบบเบตนิ่ง ทำจากเหล็กทนความร้อนสูง (stainless) 56.0 เซนติเมตร เส้นผ่านศูนย์กลางภายใน 12.5 มิลลิเมตร เส้นผ่านศูนย์กลางภายนอก 14.5 มิลลิเมตร โดยที่บริเวณกึ่งกลางมีการคอดแก้วเพื่อรองรับตัวเร่งปฏิกิริยา
2. อุปกรณ์วัดและควบคุมอัตราการไหล (mass flow controller) ของแก๊สคาร์บอนมอนอกไซด์ ไฮโดรเจนและไนโตรเจน โดยควบคุมอัตราการไหลรวมให้คงที่เท่ากับ 118 มิลลิลิตรต่อนาที
3. เทอร์โมคัพเพิล (thermocouple) ชนิด K
4. เครื่องควบคุมอุณหภูมิ (temperature controller)
5. เตาเผา (tube furnace)
6. อุปกรณ์ดูดความชื้น บรรจุด้วยซิลิกาเจล
7. อุปกรณ์วัดอัตราการไหล (bubble flow) ของแก๊สขาออก
8. อุปกรณ์ควบคุมความดันของแก๊สในเตาปฏิกรณ์
9. ถุงเก็บตัวอย่างแก๊ส (sampling bag) ขนาด 2 ลิตร



รูปที่ 3.1 เครื่องปฏิกรณ์แบบเบดนิ่ง



รูปที่ 3.2 แบบจำลองเครื่องปฏิกรณ์แบบเบดนิ่ง

3.1.3 เครื่องแก๊สโครมาโทกราฟ (Gas Chromatograph)

งานวิจัยนี้ใช้เครื่องแก๊สโครมาโทกราฟ ยี่ห้อ Shimadzu รุ่น GC- 2014 ดังรูปที่ 3.3 สำหรับใช้ในการวิเคราะห์องค์ประกอบและปริมาณของแก๊สผลิตภัณฑ์ที่ผลิตได้จากเตาปฏิกรณ์ โดยสภาวะที่ใช้ในการวิเคราะห์แก๊ส แสดงดังตารางที่ 3.1



รูปที่ 3.3 เครื่องแก๊สโครมาโทกราฟ

ตารางที่ 3.1 สภาวะที่ใช้ในการวิเคราะห์แก๊สด้วยเครื่องแก๊สโครมาโทกราฟ

แก๊สพา (carrier gas)	แก๊สอาร์กอน (Ar)
ชนิดคอลัมน์	Unibeads C packed column
อุณหภูมิการฉีด (injector temperature)	120 องศาเซลเซียส
อุณหภูมิคอลัมน์	60, 120 และ 140 องศาเซลเซียส
ระบบตรวจวัด (detector)	ระบบวัดสภาพการนำความร้อน (TCD)

3.2 สารตั้งต้นและสารเคมี

1. ไฮโดรซิลแมกนีเซียมซิลิเกต ($Mg_3Si_4O_{10}(OH)_2$) จากบริษัท Street Response Laboratories
2. นิกเกิลไนเตรต ($Ni(NO_3)_2$) จาก บริษัท Fluka
3. ซิลิกาเจล จากบริษัท วิทยาศาสตร์ จำกัด
4. ไนโตรเจน บริสุทธิ์ 99.99% จากบริษัท แพร็กซ์แอร์ (ประเทศไทย) จำกัด
5. แก๊สผสมคาร์บอนมอนอกไซด์ กับ ไฮโดรเจน สัดส่วน 48.6 % กับ 48.6 % จากบริษัทแพร็กซ์แอร์ (ประเทศไทย) จำกัด
6. แก๊สผสมคาร์บอนไดออกไซด์ กับ ไนโตรเจน สัดส่วน 50% กับ 50 % จากบริษัทแพร็กซ์แอร์ (ประเทศไทย) จำกัด
7. ไฮโดรเจน บริสุทธิ์ 99.99 % จากบริษัท แพร็กซ์แอร์ (ประเทศไทย) จำกัด

3.3 วิธีการทดลอง

3.3.1 การเตรียมตัวรองรับไฮดรॉสแมกนีเซียมซิลิเกต (Talc)

1. นำไฮดรॉสแมกนีเซียมซิลิเกตหรือแร่ทัลค์ธรรมชาตินำไปเผาในเตาเผา ความร้อนสูง (muffle furnace) ที่อุณหภูมิ 1200 องศาเซลเซียส เป็นเวลา 5 ชั่วโมง
2. นำตัวรองรับมาอบให้ละเอียดและขึ้นรูป ด้วยเครื่องอัดขึ้นรูปตัวเร่งปฏิกิริยา แสดงดังรูปที่ 3.4 หลังจากนั้นนำไปอบแห้งที่อุณหภูมิ 120 องศาเซลเซียส เป็นเวลา 24 ชั่วโมง

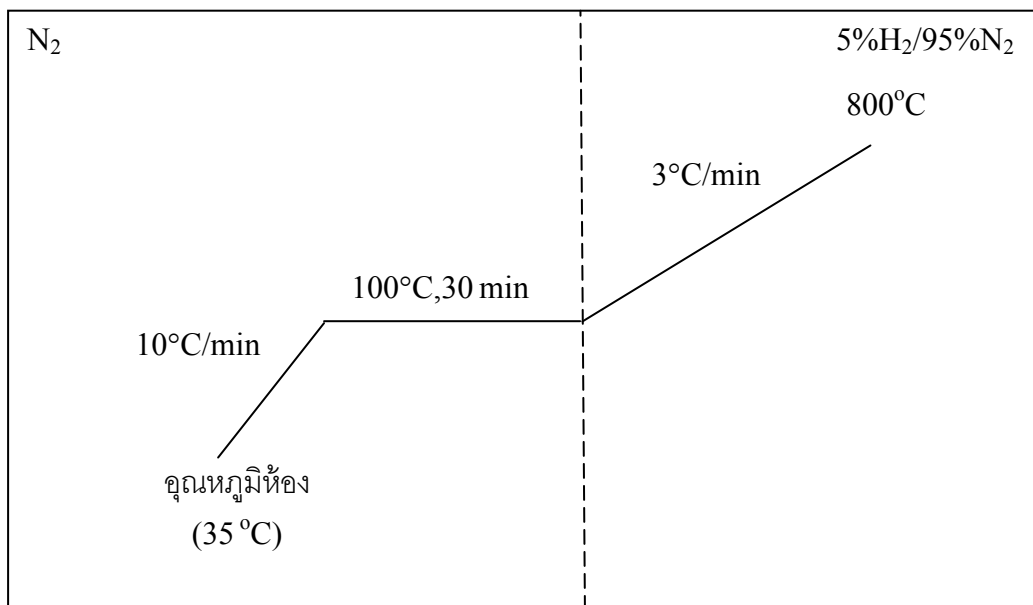


รูปที่ 3.4 เครื่องอัดขึ้นรูปและชุดอุปกรณ์อัดขึ้นรูป

3. นำตัวรองรับที่ได้ไปเผาในเตาเผา ที่อุณหภูมิ 300 องศาเซลเซียส เป็นเวลา 3 ชั่วโมงจะได้ตัวรองรับที่ใช้ในการทดลองแล้วจึงนำไปวิเคราะห์ด้วยเทคนิค
 - การเลี้ยวเบนของรังสีเอกซ์ (X-Ray Diffractometer , XRD) เพื่อศึกษาโครงสร้างผลึกของตัวเร่งปฏิกิริยา ซึ่งการตรวจสอบใช้เครื่องมือรุ่น Bruker AXS model D8 Advance
 - วิเคราะห์การเกิดรีดักชันตามอุณหภูมิ (Temperature Programmed Reduction, TPR) เป็นเทคนิคที่หาใช้หาพฤติกรรมการรีดิวซ์ (reduction) และความสามารถในการรีดิวซ์ของตัวเร่งปฏิกิริยา ใช้ปริมาณตัวเร่งปฏิกิริยา 0.1 กรัมในการตรวจสอบ ช่วงอุณหภูมิการ

ทดสอบแบ่งเป็นสองช่วง ช่วงที่หนึ่งจาก 35 ถึง 100 องศาเซลเซียส ด้วยอัตราการให้ความร้อน 10 องศาเซลเซียส/นาที เมื่อถึงอุณหภูมิที่ต้องการคงที่ไว้เป็นเวลา 30 นาที พร้อมทั้งเปิดแก๊สไนโตรเจนเพื่อกำจัดความชื้นและสิ่งปนเปื้อน ช่วงที่สองจาก 100 ถึง 800 องศาเซลเซียส ด้วยอัตราการให้ความร้อน 3 องศาเซลเซียส/นาที แก๊สที่ใช้ในการรีดิวซ์คือแก๊สไฮโดรเจนร้อยละ 5 ในแก๊สไนโตรเจน มีอัตราการไหล 30 มิลลิลิตร/นาที ซึ่งแสดงดังภาพที่ 3.5

$$\text{ค่าร้อยละการรีดิวซ์ (\%)} = \frac{\text{โมลของไฮโดรเจนที่ใช้ (จากการวัด)}}{\text{โมลของไฮโดรเจนที่ใช้ (จากการคำนวณ)}} \times 100$$

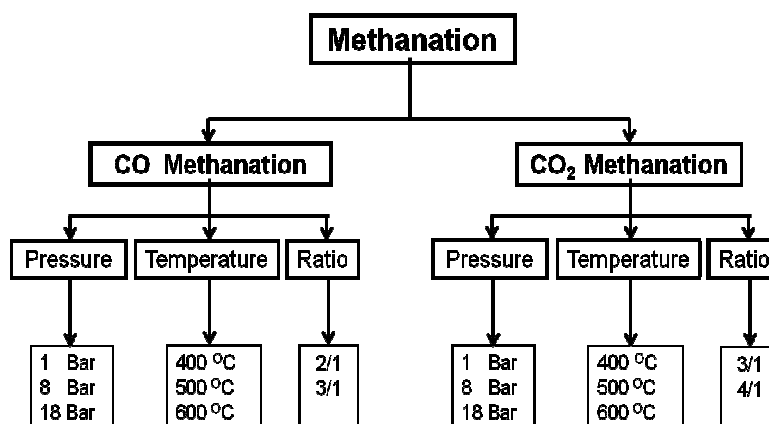


รูปที่ 3.5 แผนภาพแสดงโปรแกรมอุณหภูมิการรีดิวซ์

3.3.2 การเตรียมตัวเร่งปฏิกิริยานิกเกิลออกไซด์บนตัวรองรับไฮดรอกไซด์แมกนีเซียมซิลิเกต โดยเทคนิคเคลือบฝัง (impregnation method)

1. เตรียมสารละลายอิมเพรกแนนต์ (impregnant) โดยเตรียมสารละลายนิกเกิลในเตรทเข้มข้น 0.5 โมลต่อลิตร โดยตวงปริมาตรของสารละลายตาม ร้อยละของนิกเกิลในตัวเร่งปฏิกิริยาที่ต้องการ เท่ากับ ร้อยละ 10 โดยน้ำหนัก
2. นำสารละลายอิมเพรกแนนต์ที่เตรียมได้มาใส่บนตัวรองรับไฮดรอกไซด์แมกนีเซียม ซิลิเกตให้ความร้อนที่อุณหภูมิประมาณ 70 องศาเซลเซียส พร้อมกับกวนตลอดเวลาด้วยอัตราเร็วรอบเท่ากับ 300 รอบต่อนาที จนกระทั่งสารละลายแห้ง
3. หลังจากนั้นนำไปอบให้แห้งที่อุณหภูมิ 120 องศาเซลเซียส เป็นเวลา 24 ชั่วโมง
4. จากนั้นนำไปเผาในเตาเผาความร้อนสูง (muffle furnace) ที่อุณหภูมิ 300 องศาเซลเซียส เป็นเวลา 4 ชั่วโมง
5. นำตัวเร่งปฏิกิริยามาอบให้ละเอียดอีกครั้งและขึ้นรูป ด้วยเครื่องอัดขึ้นรูปตัวเร่งปฏิกิริยา หลังจากนั้นนำไปอบให้แห้งที่อุณหภูมิ 120 องศาเซลเซียส เป็นเวลา 24 ชั่วโมง
6. นำตัวเร่งปฏิกิริยาที่เตรียมได้ไปเผาในเตาเผาที่อุณหภูมิ 300 องศาเซลเซียส เป็นเวลา 2 ชั่วโมง จะได้ตัวเร่งปฏิกิริยานิกเกิลบนตัวรองรับทัลค์ (10%wt NiO/talc)

3.3.3 ภาวะและตัวแปรในกระบวนการมีเทนชัน



รูปที่ 3.6 แสดงการศึกษาตัวแปรต่างๆในมีเทนชัน

3.3.4 ขั้นตอนในกระบวนการมีเทนชันแบบใช้ตัวเร่งปฏิกิริยา

1. ชั่งตัวเร่งปฏิกิริยา 4 กรัม
2. ใส่ quart wool ไว้ตรงบริเวณส่วนตรงกลางท่อปฏิกรณ์
3. ใส่ตัวเร่งปฏิกิริยา โดยจะมีความสูงรวมเท่ากับ 2 เซนติเมตร
4. ประกอบท่อปฏิกิริยา แล้วนำไปใส่ลงในเตาเผา ตามลักษณะที่ได้ ออกแบบไว้ดังรูปที่ 3.1
5. เปิดไนโตรเจน ไฮโดรเจน คาร์บอนมอนอกไซด์ และคาร์บอนไดออกไซด์ เข้าสู่ระบบ ด้วยอัตราการไหลดังตาราง 3.2

ตารางที่ 3.2 อัตราการไหลที่ใช้ในการทดลอง

Condition (mL/min)	CO methanation		CO ₂ methanation	
	2/1	3/1	3/1	4/1
N ₂	60	60	60	60
H ₂	41	45.5	47	50
CO	17	12.5	-	-
CO ₂	-	-	11	8

6. เมื่อได้อัตราส่วนของแก๊สตามที่ต้องการ ทำการเปิดสวิทช์ของเตาเผา ปรับอุณหภูมิให้ได้ตามที่ต้องการ ซึ่งในการทดลองนี้จะศึกษาอุณหภูมิในช่วง 400 ถึง 600 องศาเซลเซียส
7. เมื่ออุณหภูมิในเครื่องปฏิกรณ์ถึงสภาวะที่กำหนดแล้ว เก็บแก๊สที่ได้ทุกๆ 15 นาที เป็นเวลา 120 นาที โดยใช้ถุงเก็บแก๊สขนาด 2 ลิตร แล้วนำแก๊สที่ได้ไปวิเคราะห์หาชนิดและปริมาณด้วยเครื่องแก๊สโครมาโทกราฟี (GC)
8. เมื่อทำการทดลองครบ 120 นาที ทำการปิดเตาให้ความร้อน และปิดแก๊ส ไนโตรเจน ไฮโดรเจน และ ไฮโดรเจน/คาร์บอนมอนอกไซด์
9. เมื่ออุณหภูมิลดลงต่ำกว่า 50 องศาเซลเซียส แล้วทำการเก็บตัวอย่าง ปฏิริยาที่ผ่านการทดลอง เพื่อนำมาวิเคราะห์ด้วยเทคนิคอื่นๆต่อไป

บทที่ 4

ผลการทดลองและการวิเคราะห์ผลการทดลอง

งานวิจัยนี้ ศึกษาการผลิตมีเทนผ่านปฏิกิริยามีเทนชั้นของคาร์บอนมอนอกไซด์และคาร์บอนไดออกไซด์ ทำการทดลองโดยใช้เครื่องปฏิกรณ์แบบเบดนิ่ง ตัวเร่งปฏิกิริยาที่ใช้เป็นโลหะนิกเกิลร้อยละ 10 บนตัวรองรับทัลก์ (Talc) ที่ผ่านการเผาที่อุณหภูมิ 300 องศาเซลเซียส (10 wt% NiO/talc) เพื่อศึกษาผลของตัวแปรต่างๆ ได้แก่ อุณหภูมิ ความดัน อัตราส่วนโดยโมลของไฮโดรเจนต่อคาร์บอนมอนอกไซด์ และอัตราส่วนโดยโมลของไฮโดรเจนและคาร์บอนไดออกไซด์ ต่อร้อยละการเปลี่ยนของคาร์บอนมอนอกไซด์ (CO conversion) ร้อยละการเปลี่ยนของคาร์บอนไดออกไซด์ (CO₂ conversion) และร้อยละการเลือกเกิดมีเทน (CH₄ selectivity) นอกจากนี้ยังวิเคราะห์ตัวเร่งปฏิกิริยาด้วยเทคนิคต่างๆ ได้แก่ การวิเคราะห์โครงสร้างผลึกของตัวเร่งปฏิกิริยา (XRD) ความสามารถในการรีดักชันของโลหะบนตัวเร่งปฏิกิริยา (TPR) และเทคนิควิเคราะห์การเปลี่ยนแปลงน้ำหนักของสารโดยอาศัยคุณสมบัติทางความร้อน (TGA) รวมทั้งทำการทดสอบเสถียรภาพ (Stability) ของตัวเร่งปฏิกิริยานิกเกิลบนตัวรองรับทัลก์

โดยผลการทดลองและการวิเคราะห์ผลการทดลองแบ่งออกเป็น 5 ส่วนหลัก ได้แก่ ส่วนที่ 1 คือผลการวิเคราะห์สมบัติของตัวเร่งปฏิกิริยา 10wt%NiO/talc ก่อนใช้ด้วยเทคนิค XRD 10 wt% NiO/talc ก่อนทำปฏิกิริยาด้วยเทคนิค TPR ส่วนที่ 2 คือผลตัวแปรต่างๆต่อปฏิกิริยามีเทนชั้นของคาร์บอนมอนอกไซด์ ส่วนที่ 3 คือผลตัวแปรต่างๆต่อปฏิกิริยามีเทนชั้นของคาร์บอนไดออกไซด์ ซึ่งในส่วนที่ 2 และ 3 ประกอบด้วย 4 ส่วนย่อย ดังนี้

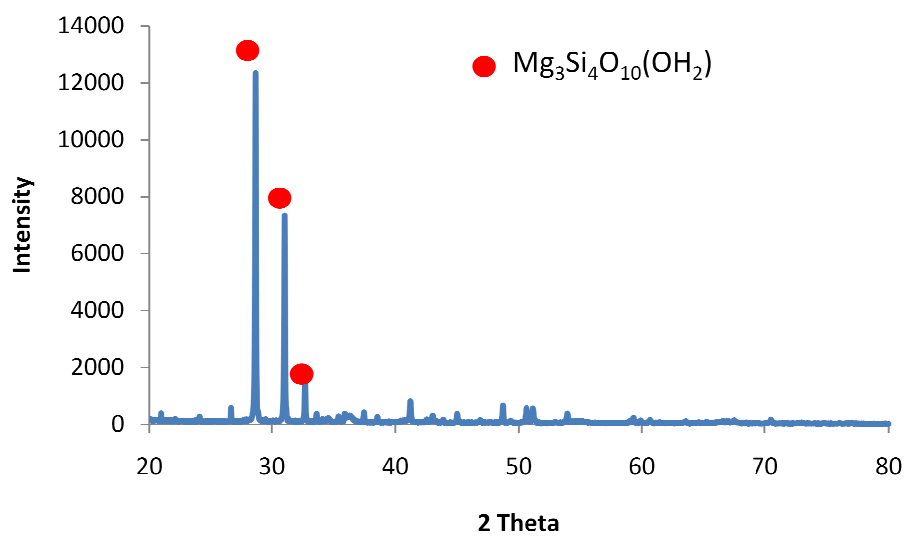
- ผลของตัวเร่งปฏิกิริยา
- ผลของอุณหภูมิ
- ผลของความดัน
- ผลของอัตราส่วน

ส่วนที่ 4 คือผลการทดสอบเสถียรภาพของตัวเร่งปฏิกิริยา และส่วนที่ 5 เป็นผลของค่า Gas Hour Space Velocity (GHSV)

4.1 สมบัติทางกายภาพของตัวเร่งปฏิกิริยาก่อนใช้

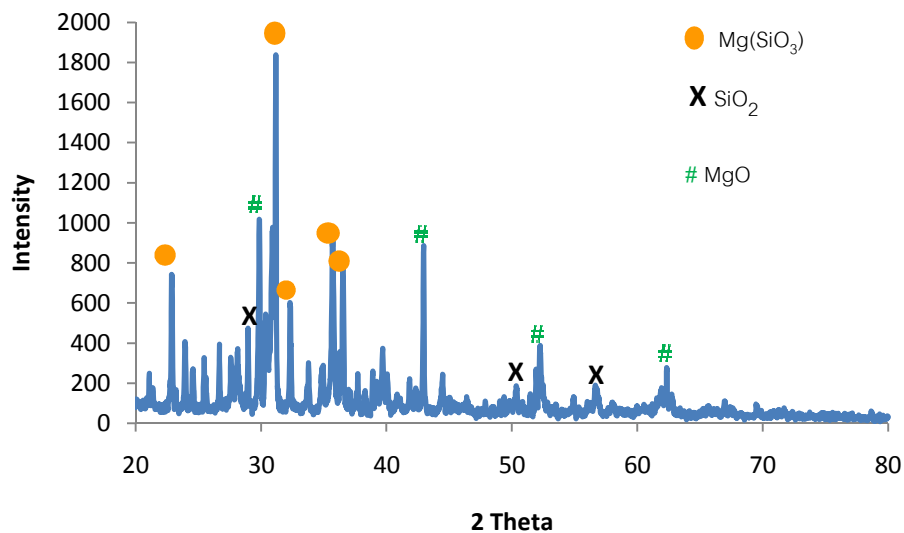
4.1.1 การวิเคราะห์ลักษณะโครงสร้างผลึกของตัวเร่งปฏิกิริยาด้วยเทคนิค XRD

การวิเคราะห์โครงสร้างของแร่ทัลก์ก่อนการเผาด้วยเครื่อง X-ray diffraction (XRD) แสดงดังรูปที่ 4.1 พบว่าแร่ทัลก์ก่อนการเผามีองค์ประกอบของไฮดร็อกไซด์แมกนีเซียมซิลิเกต ($\text{Mg}_3\text{Si}_4\text{O}_{10}(\text{OH})_2$) โดยพบพีคเอกลักษณ์ที่ตำแหน่ง 2θ เท่ากับ 28.8° 31.5° และ 32.8°



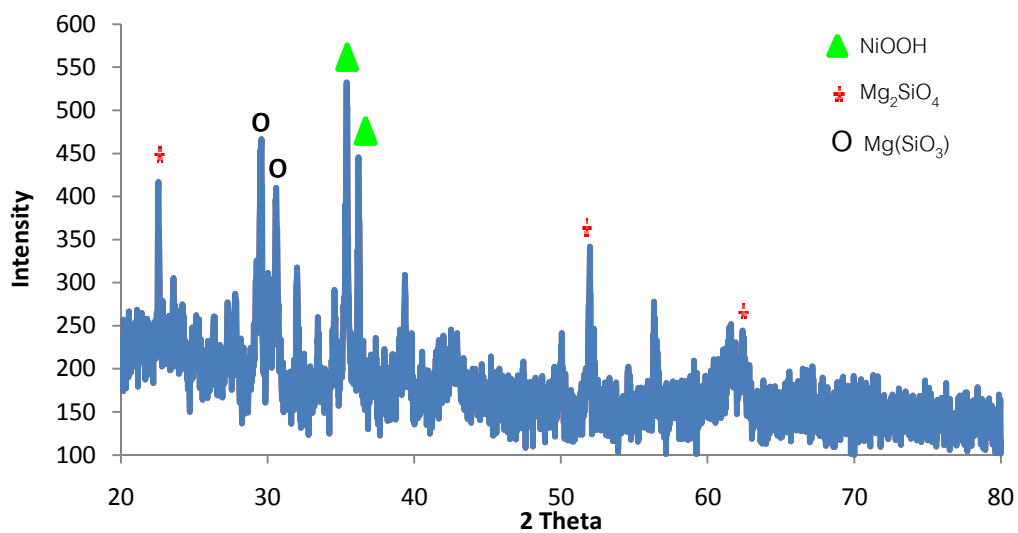
รูปที่ 4.1 ผลการวิเคราะห์โครงสร้างของแร่ทัลก์ก่อนการเผา ด้วยเทคนิค XRD

การวิเคราะห์โครงสร้างของตัวเร่งปฏิกิริยาที่ผ่านการเผาที่ 1200 องศาเซลเซียสก่อนทำปฏิกิริยา ด้วยเครื่อง X-ray diffraction (XRD) แสดงดังรูปที่ 4.2 พบว่าสำหรับตัวเร่งปฏิกิริยาที่ผ่านการเผาแล้วไม่ปรากฏพีคเอกลักษณ์ที่แสดงองค์ประกอบของไฮดรอกไซด์แมกนีเซียมซิลิเกต ($Mg_3Si_4O_{10}(OH)_2$) แต่ปรากฏพีคเอกลักษณ์ที่แสดงถึงองค์ประกอบของแมกนีเซียมซิลิเกต ($Mg(SiO_3)$) โดยพีคเอกลักษณ์ขึ้นที่ตำแหน่ง 2θ เท่ากับ 23° , 31.2° , 32.5° , 36.8° , 37.9° ซิลิคอนไดออกไซด์ (SiO_2) โดยพีคเอกลักษณ์ขึ้นที่ตำแหน่ง 2θ เท่ากับ 28.5° , 50.8° , 56.5° แมกนีเซียมออกไซด์ (MgO) โดยพีคเอกลักษณ์ขึ้นที่ตำแหน่ง 2θ เท่ากับ 29.8° , 43.9° , 53.2° , 62.7°



รูปที่ 4.2 ผลการวิเคราะห์โครงสร้างของตัวเร่งปฏิกิริยาที่ผ่านการเผาที่อุณหภูมิ 1200 องศาเซลเซียส ก่อนทำปฏิกิริยา ด้วยเทคนิค XRD

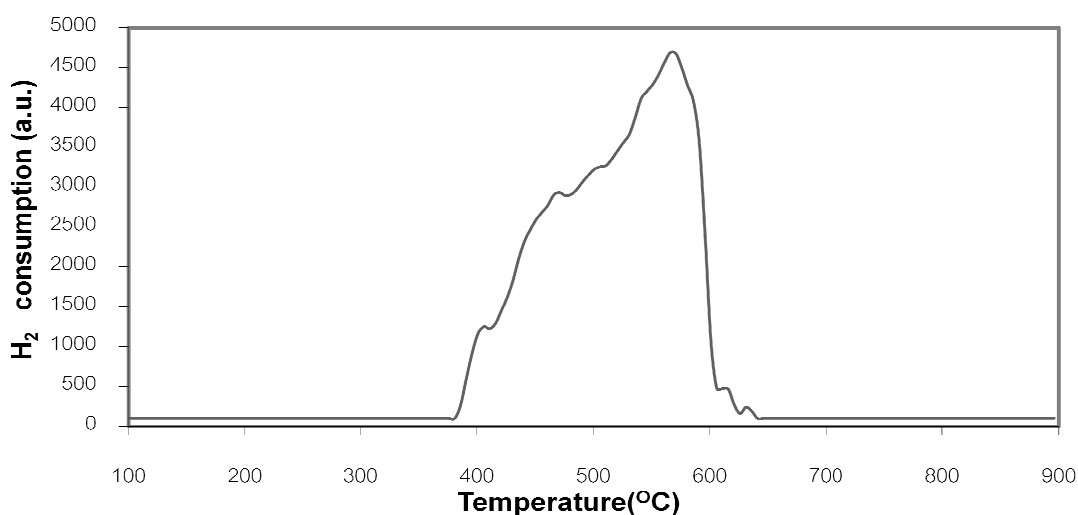
การวิเคราะห์โครงสร้างของตัวเร่งปฏิกิริยา 10wt%NiO/talc ก่อนทำปฏิกิริยาด้วย XRD แสดงดังรูปที่ 4.3 พบว่าตัวเร่งปฏิกิริยา 10wt%NiO/talc ปรากฏพีคเอกลักษณ์ขององค์ประกอบ นิกเกิลออกไซด์ไฮดรอกไซด์ (NiOOH) ที่ตำแหน่ง 2θ เท่ากับ 35.39° และ 36.20° สันนิษฐานว่า อาจเกิดจากตัวเร่ง ปฏิกิริยา 10wt%NiO/talc ที่ผ่านการแคลไซน์ที่อุณหภูมิ 300 องศาเซลเซียส และมีปริมาณของนิกเกิลอยู่เป็นจำนวนมาก ยังไม่สามารถเปลี่ยนโครงสร้างนิกเกิลให้ไปอยู่ในรูป ของโลหะออกไซด์ (NiO) ได้อย่างสมบูรณ์ (สุคนธ์รัตน์ พัวเจริญ, 2552) นอกจากนี้ยังปรากฏพีค เอกลักษณ์ที่แสดงถึงองค์ประกอบของแมกนีเซียมซิลิเกต ($Mg(SiO_3)$) โดยพบพีคเอกลักษณ์ที่ ตำแหน่ง 2θ เท่ากับ 29.50° , 30.59° อีกด้วย



รูปที่ 4.3 ผลการวิเคราะห์โครงสร้างของตัวเร่งปฏิกิริยา 10wt%NiO/talc ก่อนทำปฏิกิริยาด้วย เทคนิค XRD

4.1.2 การวิเคราะห์ความสามารถในการรีดักชันของโลหะบนตัวเร่งปฏิกิริยาด้วยเทคนิค TPR

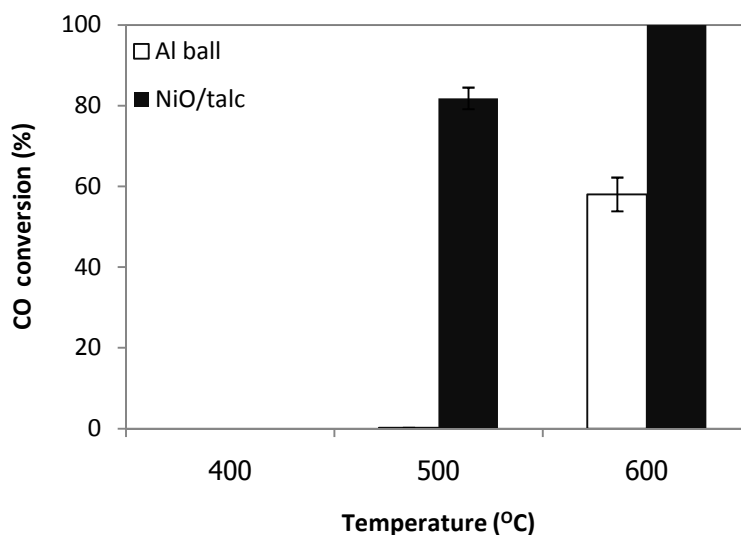
เมื่อวิเคราะห์ความสามารถในการรีดักชันของโลหะบนตัวเร่งปฏิกิริยา 10wt%NiO/talc ด้วยเทคนิค Temperature Programmed Reduction (TPR) แสดงดังรูปที่ 4.4 พบว่าตัวเร่งปฏิกิริยา 10wt%NiO/talc จะปรากฏพีคการรีดักชันแสดงถึงการรีดักชันของโลหะนิกเกิลออกไซด์อิสระ (free NiO) จากรูปอุณหภูมิที่เริ่มรีดักชันคือ 389 องศาเซลเซียส สูงสุดที่ 571 องศาเซลเซียส และสิ้นสุดที่ 611 องศาเซลเซียส จากผลของการทำเทคนิค TPR แสดงให้เห็นว่าตัวเร่งปฏิกิริยา 10wt%NiO/talc สามารถนำไปใช้ได้ที่เหมาะสมที่ภาวะการทดลองที่อุณหภูมิช่วง 400 – 600 องศาเซลเซียสได้



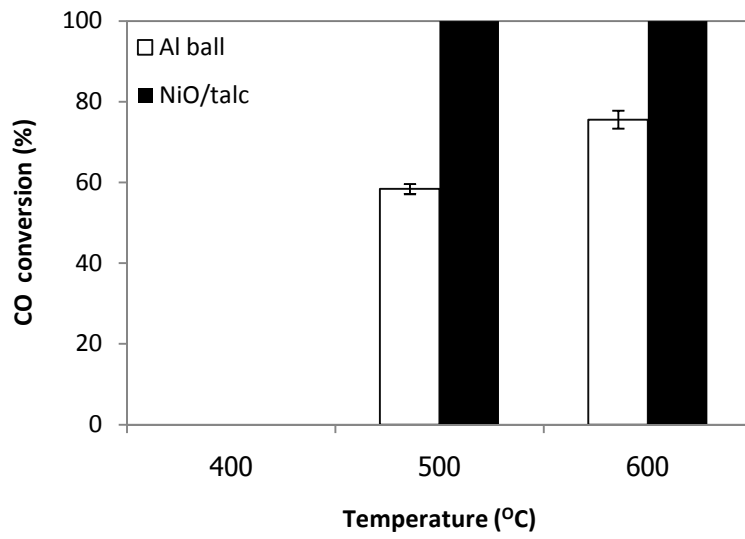
รูปที่ 4.4 รูปแบบ TPR ของตัวเร่งปฏิกิริยา 10wt%NiO/talc

4.2 ปฏิกริยามีเทนชั้นของคาร์บอนมอนอกไซด์

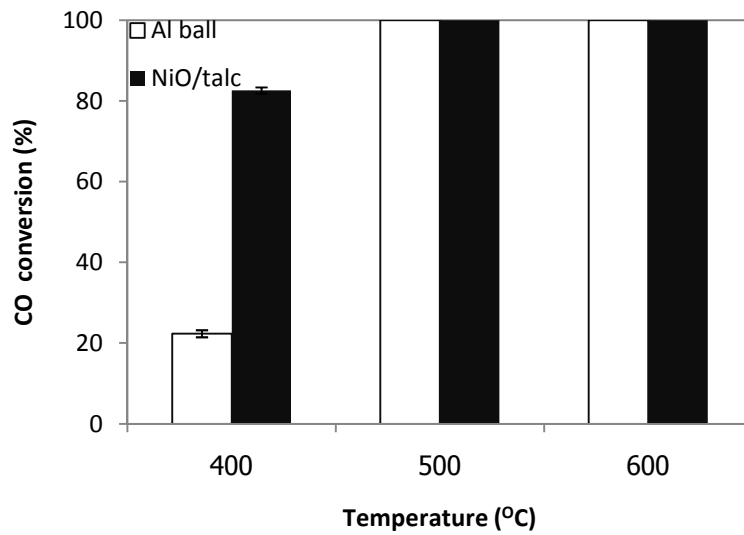
งานวิจัยนี้ทำการศึกษาปฏิกริยามีเทนชั้นของคาร์บอนมอนอกไซด์ ที่อัตราการไหลของแก๊สรวมเท่ากับ 118 มิลลิลิตรต่อนาที อัตราส่วนโดยโมลของไฮโดรเจนต่อคาร์บอนมอนอกไซด์มีค่าเท่ากับ 3/1 โดยที่อัตราการไหลของไฮโดรเจนเท่ากับ 45 มิลลิลิตรต่อนาที และอัตราการไหลของคาร์บอนมอนอกไซด์เท่ากับ 12.5 มิลลิลิตรต่อนาที โดยดำเนินการที่อุณหภูมิ 400 500 และ 600 องศาเซลเซียส และความดัน 1.8 และ 18 บาร์ โดยผลของอุณหภูมิที่ความดันต่างๆ ต่อร้อยละการเปลี่ยนของคาร์บอนมอนอกไซด์ แสดงดังรูปที่ 4.5 ถึง 4.7 และผลของอุณหภูมิที่ความดันต่างๆ ต่อร้อยละการเลือกเกิดมีเทนแสดงดังรูปที่ 4.8 ถึง 4.10



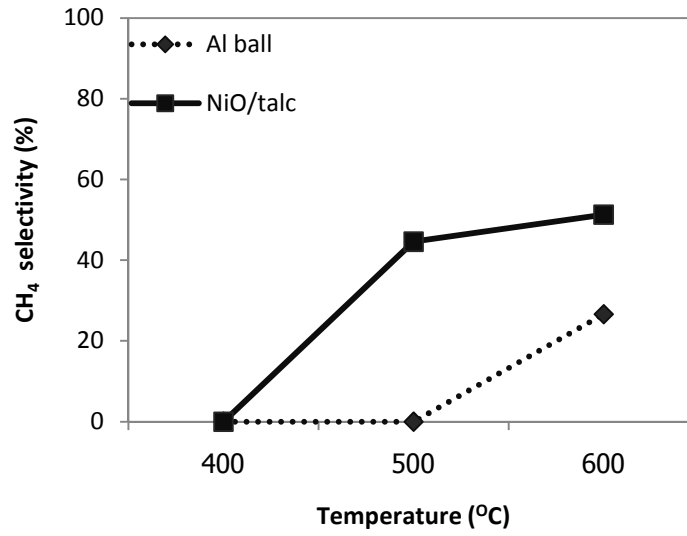
รูปที่ 4.5 ร้อยละการเปลี่ยนของคาร์บอนมอนอกไซด์จากกระบวนการมีเทนชั้นที่ความดัน 1 บาร์ และอัตราส่วนโดยโมลของ H_2/CO เท่ากับ 3/1



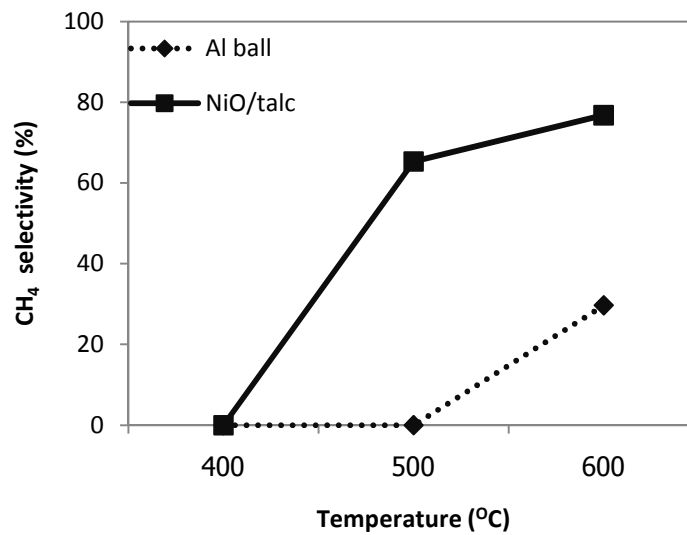
รูปที่ 4.6 ร้อยละการเปลี่ยนของคาร์บอนมอนอกไซด์จากกระบวนการมีเทนชัน ที่ความดัน 8 บาร์ และอัตราส่วนโดยโมลของ H_2/CO เท่ากับ 3/1



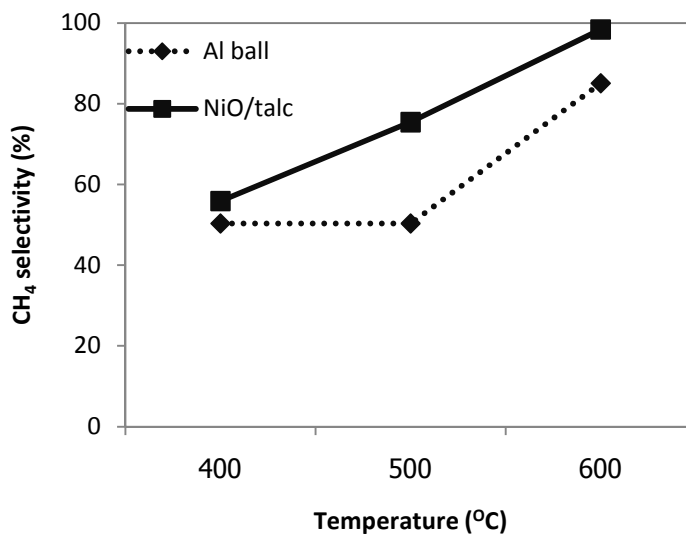
รูปที่ 4.7 ร้อยละการเปลี่ยนของคาร์บอนมอนอกไซด์จากกระบวนการมีเทนชัน ที่ความดัน 18 บาร์ และอัตราส่วนโดยโมลของ H_2/CO เท่ากับ 3/1



รูปที่ 4.8 ร้อยละการเลือกเกิดมีเทนจากกระบวนการมีเทนที่ความดัน 1 บาร์ และอัตราส่วนโดยโมลของ H_2/CO เท่ากับ 3/1



รูปที่ 4.9 ร้อยละการเลือกเกิดมีเทนจากกระบวนการมีเทนที่ความดัน 8 บาร์ และอัตราส่วนโดยโมลของ H_2/CO เท่ากับ 3/1



รูปที่ 4.10 ร้อยละการเลือกเกิดมีเทนจากกระบวนการมีเทนเนชัน ที่ความดัน 18 บาร์ และอัตราส่วนโดยโมลของ H_2/CO เท่ากับ 3/1

4.2.1 ผลของตัวเร่งปฏิกิริยา 10wt%NiO/talc ต่อปฏิกิริยามีเทนเนชันของคาร์บอนมอนอกไซด์ที่อัตราส่วนโดยโมลของ H_2/CO เท่ากับ 3/1

เมื่อทำการเปรียบเทียบผลระหว่างการใช้และไม่ใช้ตัวเร่งปฏิกิริยา 10wt%NiO/talc พบว่าที่อุณหภูมิ 400 องศาเซลเซียส ความดัน 1 และ 8 บาร์ ไม่เกิดปฏิกิริยามีเทนเนชันทั้งกรณีที่ใช้และไม่ใช้ตัวเร่งปฏิกิริยา เมื่อพิจารณาที่ความดัน 18 บาร์ การใช้ตัวเร่งปฏิกิริยาให้ค่าร้อยละการเปลี่ยนของคาร์บอนมอนอกไซด์สูงกว่ากรณีที่ไม่ใช้ตัวเร่งปฏิกิริยา สำหรับอุณหภูมิ 500 และ 600 องศาเซลเซียส พบว่าที่ความดัน 1 และ 8 บาร์ ส่วนที่ความดัน 18 บาร์ พบว่าปฏิกิริยามีเทนเนชันของคาร์บอนมอนอกไซด์สามารถเกิดปฏิกิริยาได้อย่างสมบูรณ์แม้จะไม่ใช้ตัวเร่งปฏิกิริยาการใช้ตัวเร่งปฏิกิริยาให้ร้อยละการเปลี่ยนของคาร์บอนมอนอกไซด์สูงกว่ากรณีที่ไม่ใช้ตัวเร่งปฏิกิริยาอย่างชัดเจน

เมื่อพิจารณาผลของร้อยละการเลือกเกิดมีเทน พบว่าการใช้ตัวเร่งปฏิกิริยา 10wt%NiO/talc ให้ค่าร้อยละการเลือกเกิดมีเทนสูงกว่ากรณีที่ไม่ใช้ตัวเร่งทุกกรณีแสดงให้เห็นว่า

ตัวเร่งปฏิกิริยานี้มีประสิทธิภาพในการเร่งปฏิกิริยาจำเพาะให้เกิดผลิตภัณฑ์ที่เป็นมีเทน ขณะเดียวกันมีคาร์บอนไดออกไซด์ และ น้ำเป็นองค์ประกอบในผลิตภัณฑ์

4.2.2 ผลของอุณหภูมิต่อปฏิกิริยามีเทนชันของคาร์บอนมอนอกไซด์ ที่อัตราส่วนโดยโมลของ H_2/CO เท่ากับ 3/1

ผลของอุณหภูมิต่อปฏิกิริยามีเทนชันของคาร์บอนมอนอกไซด์ ที่อัตราส่วนโดยโมลของ H_2/CO เท่ากับ 3/1 ซึ่งเป็นอัตราส่วนตามสมดุลทางเคมี ที่อุณหภูมิ 400 500 และ 600 องศาเซลเซียส และความดัน 1 8 และ 18 บาร์ แสดงดังรูปที่ 4.5 4.6 และ 4.7 ตามลำดับ พบว่าที่อุณหภูมิ 400 องศาเซลเซียส ค่าร้อยละการเปลี่ยนของคาร์บอนมอนอกไซด์ทั้งกรณีที่ใช้และไม่ใช้ตัวเร่งปฏิกิริยา มีค่าเท่ากับศูนย์ แต่เมื่อทำการเพิ่มอุณหภูมิเป็น 500 และ 600 องศาเซลเซียส ที่ความดัน 1 8 และ 18 บาร์ พบว่าปฏิกิริยามีเทนชันของคาร์บอนมอนอกไซด์สามารถเกิดปฏิกิริยาได้อย่างสมบูรณ์ที่ 600 องศาเซลเซียส หมายความว่า คาร์บอนมอนอกไซด์ที่ป้อนเข้ามาถูกเปลี่ยนให้เป็นผลิตภัณฑ์ทั้งหมด เนื่องจากตัวเร่งปฏิกิริยา 10wt%NiO/talc มีอุณหภูมิวิกฤตที่สูง และเมื่อพิจารณาค่าร้อยละการเลือกเกิดมีเทนที่ความดัน 1 8 และ 18 บาร์ แสดงดังรูปที่ 4.8 4.9 และ 4.10 ตามลำดับ พบว่าการใช้ตัวเร่งปฏิกิริยา 10wt%NiO/talc ทำให้ค่าร้อยละการเลือกเกิดมีเทนมีค่ามากขึ้นเมื่อทำการเพิ่มอุณหภูมิ และมีค่าร้อยละการเลือกเกิดมีเทนสูงสุดที่ 600 องศาเซลเซียส ความดัน 18 บาร์ แสดงให้เห็นว่าการเพิ่มอุณหภูมิส่งผลอย่างมากต่อร้อยละการเปลี่ยนของคาร์บอนมอนอกไซด์และร้อยละการเลือกเกิดมีเทน ตามหลักทางอุณหพลศาสตร์

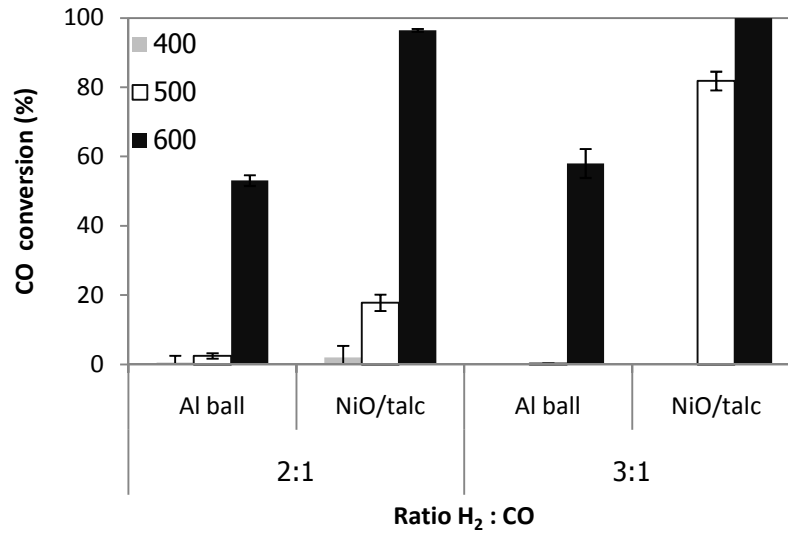
4.2.3 ผลของความดันต่อปฏิกิริยามีเทนชันของคาร์บอนมอนอกไซด์ ที่อัตราส่วนโดยโมลของ H_2/CO เท่ากับ 3/1

เมื่อพิจารณาผลของความดันที่ 1 8 และ 18 บาร์ ที่ส่งผลต่อร้อยละการเปลี่ยนของคาร์บอนมอนอกไซด์ และร้อยละการเลือกเกิดมีเทน พบว่าเมื่อทำการเพิ่มความดันค่าร้อยละการเปลี่ยนของคาร์บอนมอนอกไซด์และร้อยละการเลือกเกิดมีเทนสูงขึ้นอย่างเห็นได้ชัดทั้งในกรณีการใช้และไม่ใช้ตัวเร่งปฏิกิริยา 10wt%NiO/talc และยังพบว่าที่ ความดัน 8 และ 18 บาร์ คาร์บอนมอนอกไซด์สามารถเกิดการสลายตัวได้อย่างสมบูรณ์ ในกรณีที่ใช้ตัวเร่งปฏิกิริยา

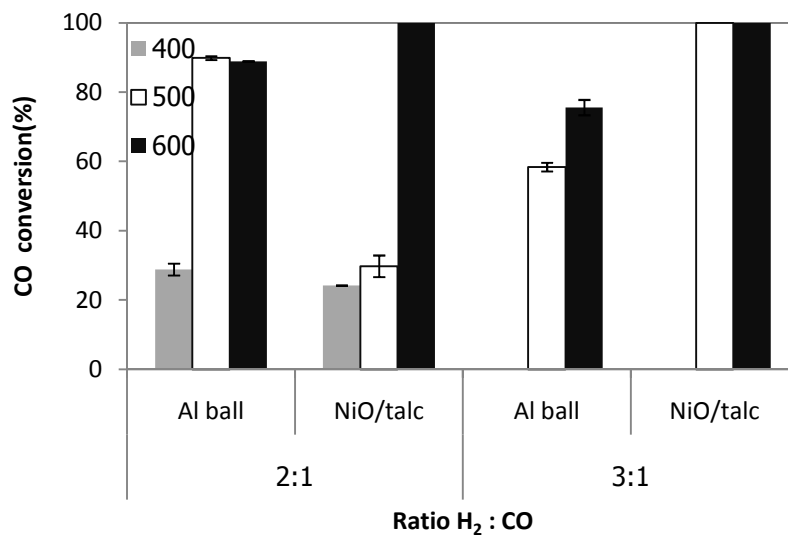
10wt%NiO/talc ที่อุณหภูมิ 500 และ 600 องศาเซลเซียส ทั้งนี้เป็นผลเนื่องจากตัวเร่งปฏิกิริยา 10wt%NiO/talc ทำให้ปฏิกิริยามีเทนชันของคาร์บอนมอนอกไซด์สามารถทำได้ที่ความดัน 1 บาร์ 600 องศาเซลเซียส ดังที่สังเกตเห็นได้จากรูป 4.5 นอกจากนี้ผลของร้อยละการเลือกเกิดมีเทน ยังมีแนวโน้มเดียวกับค่าร้อยละการเปลี่ยนของคาร์บอนมอนอกไซด์ คือเมื่อความดันเพิ่มขึ้นค่าร้อยละการเลือกเกิดมีเทน เพิ่มขึ้นตามไปด้วย แสดงให้เห็นว่าความดันส่งผลต่อการเกิดปฏิกิริยามีเทนชันของคาร์บอนมอนอกไซด์ เพราะเมื่อทำการเพิ่มความดันปฏิกิริยาคาร์บอนมอนอกไซด์มีเทนชันจะดำเนินไปข้างหน้าได้ดี

4.2.4 ผลของอัตราส่วนโดยโมลของไฮโดรเจนและคาร์บอนมอนอกไซด์ (H_2/CO) ต่อปฏิกิริยามีเทนชันของคาร์บอนมอนอกไซด์

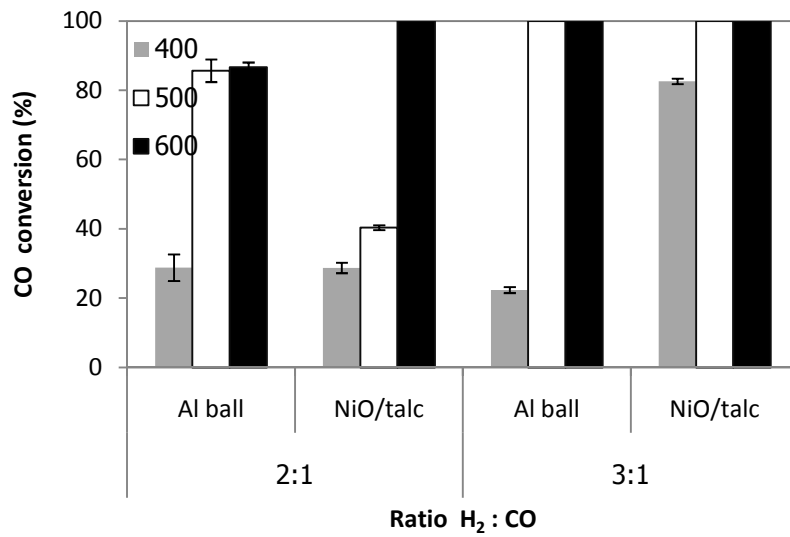
ที่ผ่านมายังไม่มียานวิจัยที่ทำการศึกษาผลของอัตราส่วนไฮโดรเจนต่อคาร์บอนมอนอกไซด์(H_2/CO) ในการทำปฏิกิริยา ในงานวิจัยนี้จึงศึกษาผลของอัตราส่วนโดยโมลของไฮโดรเจนและคาร์บอนมอนอกไซด์ต่อปฏิกิริยามีเทนชันของคาร์บอนมอนอกไซด์ โดยเปรียบเทียบระหว่างอัตราส่วนโดยโมลตามสมการเคมี คือ 3/1 และศึกษาอัตราส่วนโดยโมลของแก๊สสังเคราะห์ที่ผลิตขึ้นได้จริงจากงานวิจัยที่ผ่านมา คืออัตราส่วน 2/1 ที่ความดัน 1 8 และ 18 บาร์ ที่อุณหภูมิ 400 500 และ 600 องศาเซลเซียส ผลการทดลองดังแสดงในรูป 4.11 ถึง 4.16



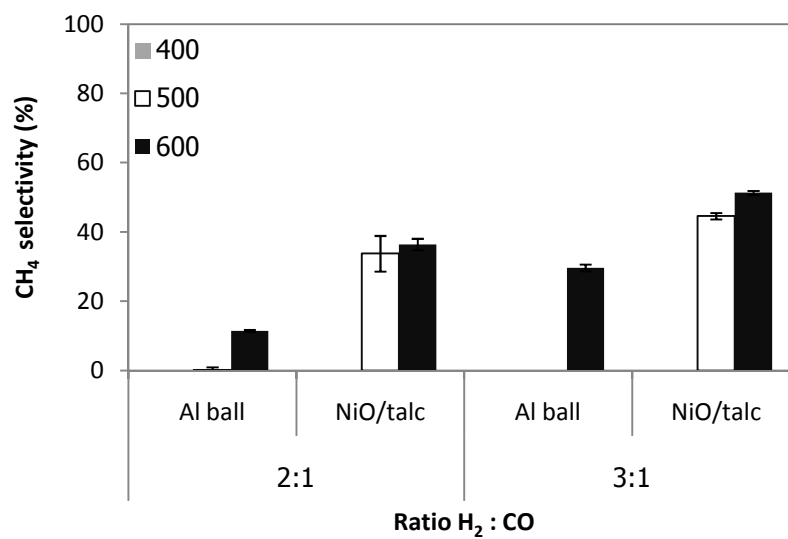
รูปที่ 4.11 ร้อยละการเปลี่ยนของคาร์บอนมอนอกไซด์จากกระบวนการมีเทนชัน ที่ ความดัน 1 บาร์ อัตราส่วนโดยโมลของ H₂/CO เท่ากับ 2/1 และ 3/1



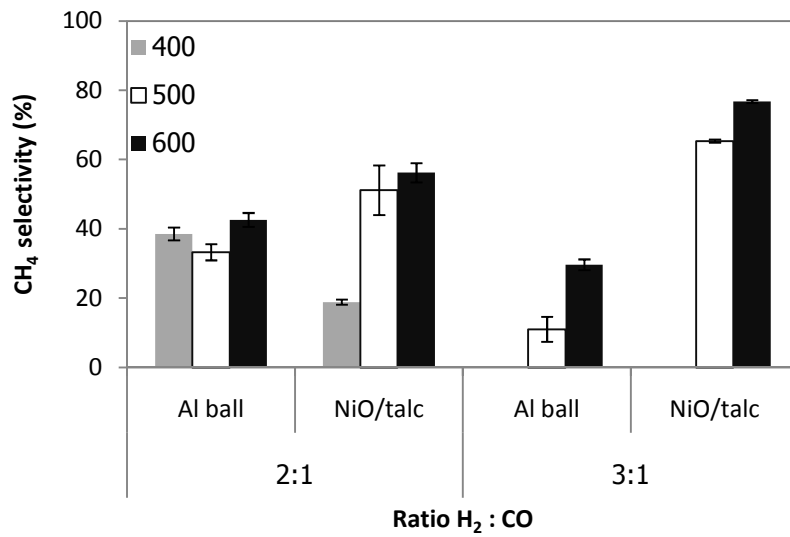
รูปที่ 4.12 ร้อยละการเปลี่ยนของคาร์บอนมอนอกไซด์จากกระบวนการมีเทนชัน ที่ ความดัน 8 บาร์ อัตราส่วนโดยโมลของ H₂/CO เท่ากับ 2/1 และ 3/1



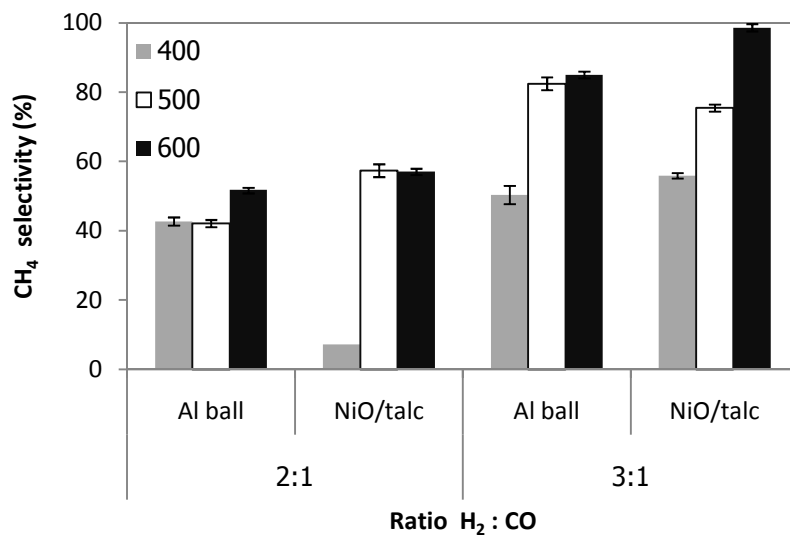
รูปที่ 4.13 ร้อยละการเปลี่ยนของคาร์บอนมอนอกไซด์จากกระบวนการมีเทนชันที่ความดัน 18 บาร์ อัตราส่วนโดยโมลของ H₂/CO เท่ากับ 2/1 และ 3/1



รูปที่ 4.14 ร้อยละการเลือกเกิดมีเทนจากกระบวนการมีเทนชันที่ความดัน 1 บาร์ อัตราส่วนโดยโมลของ H₂/CO เท่ากับ 2/1 และ 3/1



รูปที่ 4.15 ร้อยละการเลือกเกิดมีเทนจากกระบวนการมีเทนชัน ที่ ความดัน 8 บาร์
อัตราส่วนโดยโมลของ H₂/CO เท่ากับ 2/1 และ 3/1



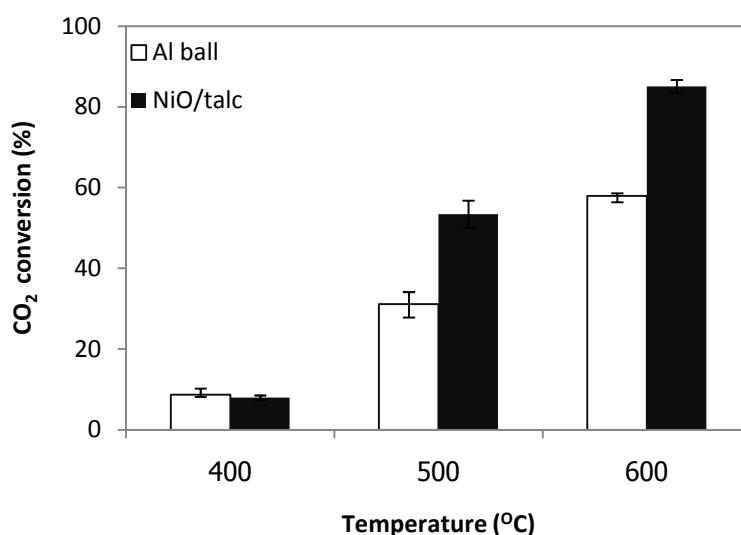
รูปที่ 4.16 ร้อยละการเลือกเกิดมีเทนจากกระบวนการมีเทนชัน ที่ ความดัน 18 บาร์
อัตราส่วนโดยโมลของ H₂/CO เท่ากับ 2/1 และ 3/1

จากรูปที่ 4.11 ซึ่งแสดงร้อยละการเปลี่ยนของคาร์บอนมอนอกไซด์ที่ความดัน 1 บาร์ พบว่าที่อุณหภูมิ 400 องศาเซลเซียส ค่าร้อยละการเปลี่ยนของคาร์บอนมอนอกไซด์มีค่าน้อยมาก แต่เมื่อเพิ่มอุณหภูมิเป็น 500 องศาเซลเซียส จะพบว่าค่าร้อยละการเปลี่ยนของคาร์บอนมอนอกไซด์ของอัตราส่วน 3/1 มีค่ามากกว่า 2/1 และเมื่อเพิ่มอุณหภูมิเป็น 600 องศาเซลเซียส พบว่าค่าร้อยละการเปลี่ยนของคาร์บอนมอนอกไซด์ที่อัตราส่วน 2/1 และ 3/1 มีใกล้เคียงกัน เพราะที่อุณหภูมิสูงผลของอุณหภูมิมิอิทธิพลมากกว่าผลของอัตราส่วนไฮโดรเจนต่อคาร์บอนมอนอกไซด์ นอกจากนี้เมื่อพิจารณาพร้อมกับผลการวิเคราะห์ด้วยเทคนิค พบว่าตัวเร่งปฏิกิริยา 10wt%NiO/talc มีความว่องไวในการเกิดปฏิกิริยาที่อุณหภูมิสูง อย่างไรก็ตามเมื่อพิจารณาผลการทดลองที่ความดัน 8 และ 18 บาร์ ดังแสดงในรูปที่ 4.12 และ 4.13 ตามลำดับ พบว่าที่ความดันสูงจะไม่เห็นความแตกต่างของอัตราส่วนและผลของตัวเร่งปฏิกิริยาต่อร้อยละการเปลี่ยนของคาร์บอนมอนอกไซด์

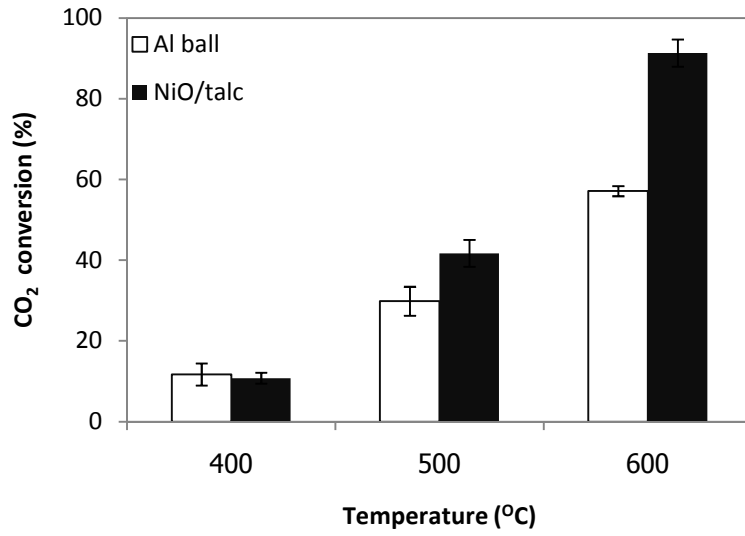
เมื่อพิจารณาค่าร้อยละการเลือกเกิดมีเทนที่อัตราส่วนไฮโดรเจนต่อคาร์บอนมอนอกไซด์เท่ากับ 2/1 และ 3/1 กรณีที่ใช้และไม่ใช้ตัวเร่งปฏิกิริยา 10wt%NiO/talc ที่อุณหภูมิ 400 500 องศาเซลเซียส พบว่าค่าร้อยละการเลือกเกิดมีเทนของอัตราส่วน 3/1 มีค่ามากกว่า 2/1 และมีค่าสูงที่สุดที่อุณหภูมิ 600 องศาเซลเซียส 18 บาร์ ที่อัตราส่วน 3/1 แต่ที่ภาวะความดันสูงทำให้สิ้นเปลืองพลังงานและค่าใช้จ่าย จึงเลือกภาวะดำเนินการในงานวิจัยที่ความดัน 1 บาร์ สำหรับกระบวนการมีเทนชันการใช้ตัวเร่งปฏิกิริยาที่มีความว่องไวสูงในการเลือกเกิดมีเทน ทำให้ไม่จำเป็นต้องทำที่ความดันสูง เพราะตัวเร่งปฏิกิริยาที่มีความว่องไวสูงสามารถให้ค่าร้อยละการสลายตัวของสารตั้งต้นและค่าร้อยละการเลือกเกิดมีเทนที่ใกล้เคียงกับกรณีที่ดำเนินการที่ความดันสูงเช่นเดียวกัน

4.3 ปฏิกริยามีเทนชันของคาร์บอนไดออกไซด์

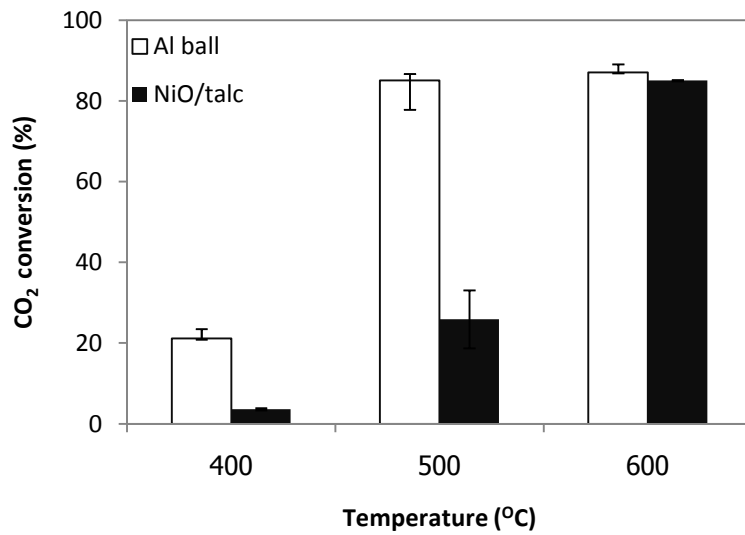
นอกจากงานวิจัยจะทำการศึกษากิจกรรมมีเทนชันของคาร์บอนมอนอกไซด์แล้วยังได้ทำการศึกษากิจกรรมมีเทนชันของคาร์บอนไดออกไซด์ เพื่อศึกษาการนำตัวเร่งปฏิกิริยา 10wt%NiO/talc ไปใช้ได้ทั้ง 2 ปฏิกริยา ที่อัตราการไหลของแก๊สรวมเท่ากับ 118 มิลลิลิตรต่อนาที อัตราส่วนโดยโมลของไฮโดรเจนต่อคาร์บอนไดออกไซด์มีค่าเท่ากับ 4/1 ที่อัตราการไหลของไฮโดรเจนเท่ากับ 50 มิลลิลิตรต่อนาที และอัตราการไหลของคาร์บอนไดออกไซด์เท่ากับ 8 มิลลิลิตรต่อนาที โดยดำเนินการที่อุณหภูมิ 400 500 และ 600 องศาเซลเซียส ความดัน 1 8 และ 18 บาร์ โดยผลของตัวแปรต่างๆ ต่อร้อยละการเปลี่ยนของคาร์บอนไดออกไซด์ ดังแสดงที่รูป 4.17 ถึง 4.19 และผลของตัวแปรต่างๆ ต่อร้อยละการเลือกเกิดมีเทนดังรูปที่ 4.20 ถึง 4.22



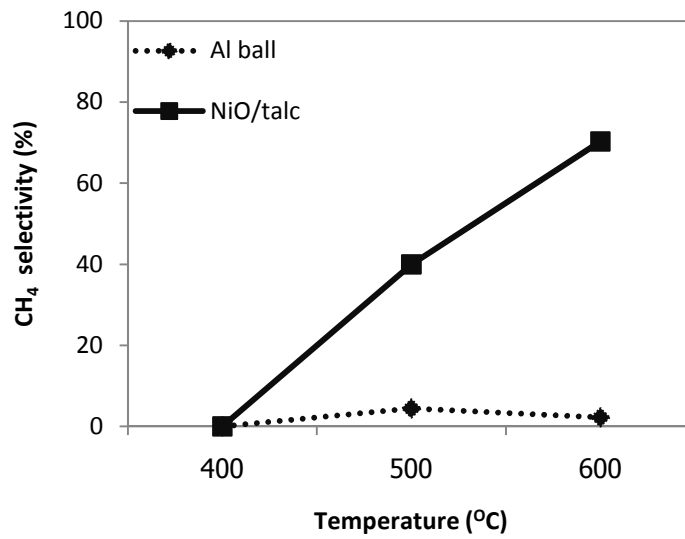
รูปที่ 4.17 ร้อยละการเปลี่ยนของคาร์บอนไดออกไซด์จากกระบวนการมีเทนชัน ที่ความดัน 1 บาร์ อัตราส่วนโดยโมลของ H_2/CO_2 เท่ากับ 4/1



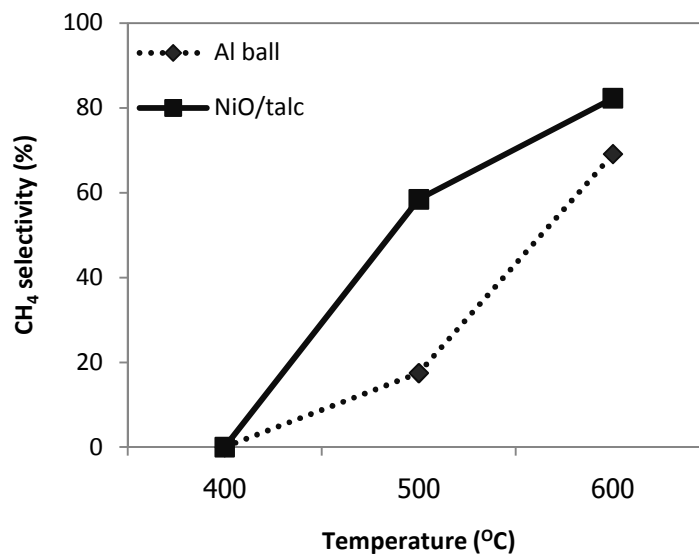
รูปที่ 4.18 ร้อยละการเปลี่ยนของคาร์บอนไดออกไซด์จากกระบวนการมีเทนชัน ที่ความดัน 8 บาร์ อัตราส่วนโดยโมลของ H_2/CO_2 เท่ากับ 4/1



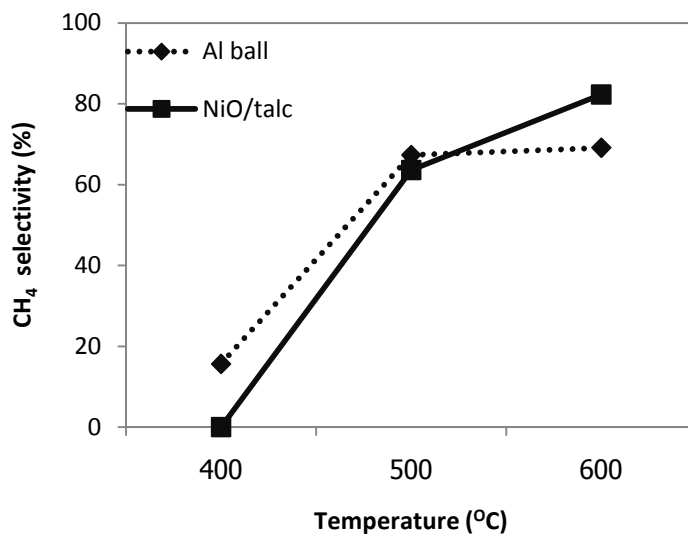
รูปที่ 4.19 ร้อยละการเปลี่ยนของคาร์บอนไดออกไซด์จากกระบวนการมีเทนชัน ที่ความดัน 18 บาร์ อัตราส่วนโดยโมลของ H_2/CO_2 เท่ากับ 4/1



รูปที่ 4.20 ร้อยละการเลือกเกิดมีเทนจากกระบวนการมีเทนชัน ที่ความดัน 1 บาร์
อัตราส่วนโดยโมลของ H_2/CO_2 เท่ากับ 4/1



รูปที่ 4.21 ร้อยละการเลือกเกิดมีเทนจากกระบวนการมีเทนชัน ที่ความดัน 8 บาร์
อัตราส่วนโดยโมลของ H_2/CO_2 เท่ากับ 4/1



รูปที่ 4.22 ร้อยละการเลือกเกิดมีเทนจากกระบวนการมีเทนที่ความดัน 18 บาร์
อัตราส่วนโดยโมลของ H₂/CO₂ เท่ากับ 4/1

4.3.1 ผลของตัวเร่งปฏิกิริยา 10wt%NiO/talc ต่อปฏิกิริยามีเทนของคาร์บอนไดออกไซด์ ที่อัตราส่วนโดยโมลของ H₂/CO₂ เท่ากับ 4/1

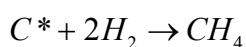
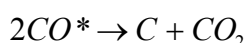
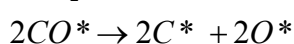
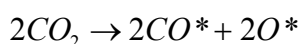
ได้ทำการศึกษาผลของกรณีที่ใช้และไม่ใช้ตัวเร่งปฏิกิริยา 10wt%NiO/talc เพื่อทำการเปรียบเทียบอิทธิพลของการใช้ตัวเร่งปฏิกิริยา 10wt%NiO/talc ในปฏิกิริยามีเทนของคาร์บอนไดออกไซด์ พบว่าที่อุณหภูมิ 400 องศาเซลเซียส ความดัน 1 บาร์และ 8 บาร์ เกิดปฏิกิริยามีเทนขึ้นทั้งกรณีการใช้และไม่ใช้ตัวเร่งปฏิกิริยา และให้ค่าร้อยละการเปลี่ยนของคาร์บอนไดออกไซด์ที่ใกล้เคียงกัน แต่ที่ความดัน 18 บาร์ กรณีการไม่ใช้ตัวเร่งปฏิกิริยาให้ค่าร้อยละการเปลี่ยนของคาร์บอนไดออกไซด์มากกว่ากรณีที่ใช้ตัวเร่งปฏิกิริยา สาเหตุเป็นเพราะตัวเร่งปฏิกิริยา 10wt%NiO/talc มีความว่องไวในการเกิดปฏิกิริยาที่อุณหภูมิสูง ส่วนที่อุณหภูมิ 500 และ 600 องศาเซลเซียส ความดัน 1 และ 8 บาร์ การใช้ตัวเร่งปฏิกิริยาจะมีค่าร้อยละการเปลี่ยนของคาร์บอนไดออกไซด์ที่มากกว่ากรณีที่ไม่ใช้ตัวเร่งปฏิกิริยา ส่วนที่ความดัน 18 บาร์ ที่อุณหภูมิ 600 องศาเซลเซียส การใช้และไม่ใช้ตัวเร่งปฏิกิริยา 10wt%NiO/talc ไม่ส่งผลต่อค่าร้อยละการเปลี่ยน

ของคาร์บอนไดออกไซด์ เพราะกระบวนการมีเทนชันเมื่อดำเนินที่ภาวะความดันสูงปฏิกิริยาจะดำเนินไปข้างหน้าได้ดี ทำให้ผลิตภัณฑ์ที่เกิดขึ้นมีเทนสูงถึงแม้ในกรณีการไม่ใช้ตัวเร่งปฏิกิริยา

เมื่อพิจารณาร้อยละการเลือกเกิดมีเทน ที่ความดัน 18 บาร์ ดังแสดงในรูป 4.22 พบว่ากรณีการใช้ตัวเร่งปฏิกิริยา 10wt%NiO/talc มีค่าร้อยละการเลือกเกิดมีเทนมากกว่ากรณีที่ไม่ใช้ตัวเร่งปฏิกิริยา แสดงให้เห็นว่าการใช้ตัวเร่งปฏิกิริยา 10wt%NiO/talc มีประสิทธิภาพในการเร่งปฏิกิริยาจำเพาะให้เกิดผลิตภัณฑ์ที่เป็นมีเทนได้ดีกว่าปฏิกิริยาออร์เตอร์แก๊สชิฟ (water-gas shift) และปฏิกิริยาบราวดาร์ด (Boudouard)

4.3.2 ผลของอุณหภูมิต่อปฏิกิริยามีเทนชันของคาร์บอนไดออกไซด์ ที่อัตราส่วนโดยโมลของ H_2/CO_2 เท่ากับ 4/1

พิจารณาผลของอุณหภูมิ 400 500 และ 600 องศาเซลเซียส ที่อัตราส่วนโดยโมล H_2/CO_2 เท่ากับ 4/1 และความดัน 1 8 และ 18 บาร์ ต่อยุทธศาสตร์การเปลี่ยนของคาร์บอนไดออกไซด์ ดังรูปที่ 4.17 4.18 และ 4.19 ตามลำดับ จากการทดลองพบว่า การเพิ่มอุณหภูมิจาก 400 ถึง 600 องศาเซลเซียส ทำให้ค่าร้อยละการเปลี่ยนของคาร์บอนไดออกไซด์ และค่าร้อยละการเลือกเกิดมีเทนมีค่าเพิ่มขึ้นอย่างชัดเจน อย่างไรก็ตามผลการทดลองทั้งหมดชี้ให้เห็นว่าค่าร้อยละการเปลี่ยนของคาร์บอนไดออกไซด์ จะมีค่ามากที่สุดไม่ถึง 100 สาเหตุเป็นเพราะแก๊สผลิตภัณฑ์ที่เกิดขึ้นมีแก๊สคาร์บอนไดออกไซด์เป็นส่วนประกอบดังสมการการสลายตัวของคาร์บอนไดออกไซด์ จึงส่งผลกระทบต่อค่าร้อยละการเปลี่ยนของคาร์บอนไดออกไซด์ นอกจากนี้พบว่าอุณหภูมิมียุทธศาสตร์การเปลี่ยนของคาร์บอนไดออกไซด์และร้อยละการเลือกเกิดมีเทน เมื่อพิจารณากลไกการเกิดปฏิกิริยาตามสมการข้างล่างนี้ จะเห็นว่าการเกิดปฏิกิริยามีเทนชันจำเป็นต้องใช้พลังงานที่มาก เป็นการกระตุ้นการทำลายพันธะคู่ 2 พันธะของคาร์บอนไดออกไซด์ ดังนั้นจึงต้องใช้อุณหภูมิสูงในการเกิดปฏิกิริยา

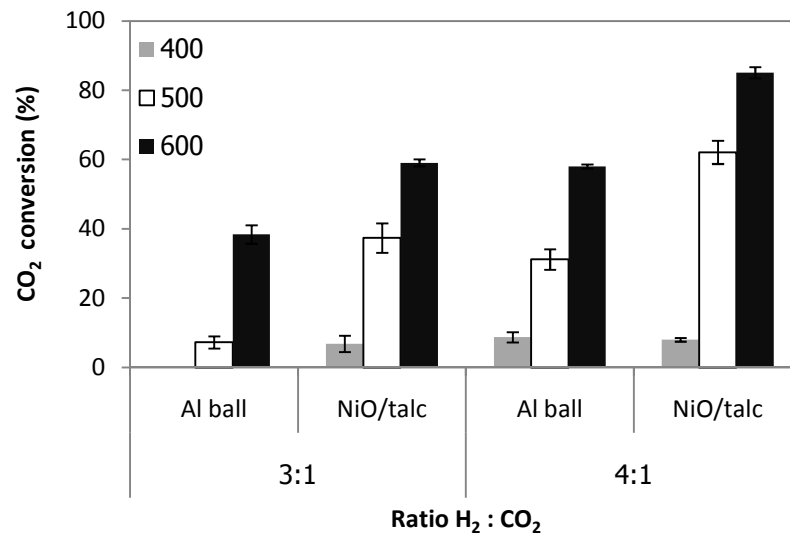


4.3.3. ผลของความดันต่อปฏิกิริยามีเทนชันของคาร์บอนไดออกไซด์ ที่อัตราส่วนโดยโมลของ H_2/CO_2 เท่ากับ 4/1

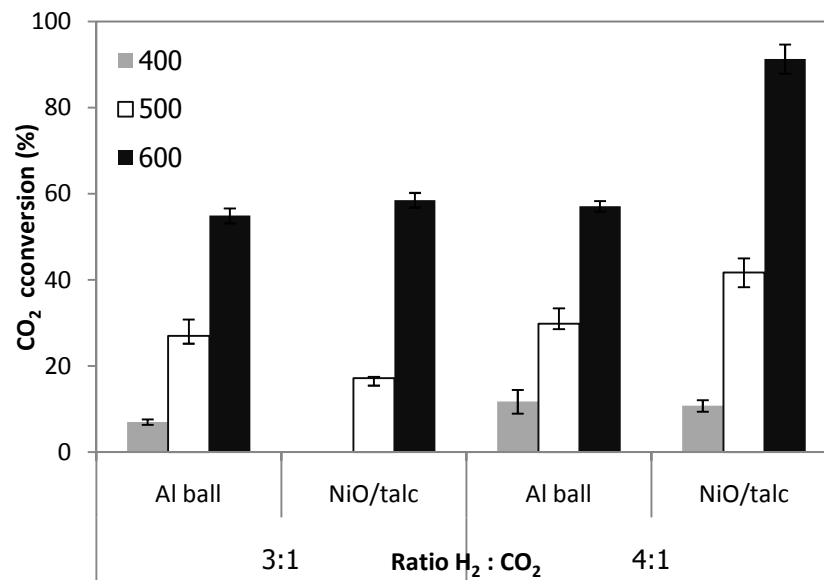
จากรูปที่ 4.17 ถึง 4.19 พบว่าที่ 400 องศาเซลเซียส กรณีใช้และไม่ใช้ตัวเร่งปฏิกิริยาการเพิ่มความดันไม่ส่งผลต่อค่าร้อยละการเปลี่ยนของคาร์บอนไดออกไซด์ แต่การเพิ่มความดันที่ 500 และ 600 องศาเซลเซียส ส่งผลให้ค่าร้อยละการเปลี่ยนของคาร์บอนไดออกไซด์เพิ่มสูงขึ้น และจากรูปที่ 4.20 ถึง 4.22 พบว่าที่อุณหภูมิ 400 องศาเซลเซียส ค่าร้อยละการเลือกเกิดมีเทนมีค่าเท่ากับศูนย์ในทุกๆ ความดัน ทั้งในกรณีที่ใช้และไม่ใช้ตัวเร่งปฏิกิริยา แต่จะเริ่มสังเกตเห็นผลของความดันที่อุณหภูมิ 500 และ 600 องศาเซลเซียส ซึ่งจะเห็นว่าการเพิ่มความดันทำให้ร้อยละการเลือกเกิดมีเทนสูงขึ้น ยกตัวอย่างเช่น ที่อุณหภูมิ 600 องศาเซลเซียส ความดัน 1 บาร์ ให้ค่าร้อยละการเลือกเกิดมีเทน 70.5 และที่ความดัน 18 บาร์ ให้ค่าร้อยละการเลือกเกิดมีเทน 82.3 จึงสรุปได้ว่าการเพิ่มความดันส่งผลให้ค่าร้อยละการเปลี่ยนของคาร์บอนไดออกไซด์ และร้อยละการเลือกเกิดมีเทนเพิ่มขึ้น เพราะการเพิ่มความดันปฏิกิริยาคาร์บอนมอนอกไซด์เกิดปฏิกิริยาไปเป็นมีเทนได้มากกว่าที่ความดันบรรยากาศ

4.3.4 ผลของอัตราส่วนโดยโมลของไฮโดรเจนและคาร์บอนไดออกไซด์ (H_2/CO_2) ต่อปฏิกิริยามีเทนชันของคาร์บอนไดออกไซด์

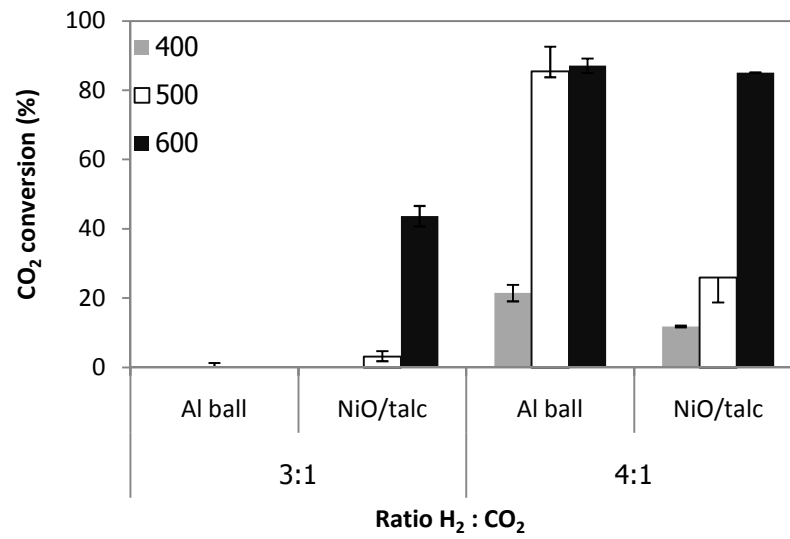
งานวิจัยทำการศึกษาผลของอัตราส่วนไฮโดรเจนต่อคาร์บอนไดออกไซด์ (H_2/CO_2) โดยเปรียบเทียบระหว่างอัตราส่วนโดยโมลตามสมการเคมี คือ 4/1 และศึกษาอัตราไฮโดรเจนต่อคาร์บอนไดออกไซด์เท่ากับ 3/1 ที่ความดัน 1 8 และ 18 บาร์ อุณหภูมิ 400 500 และ 600 องศาเซลเซียส ผลการทดลองดังแสดงในรูป 4.23 ถึง 4.28



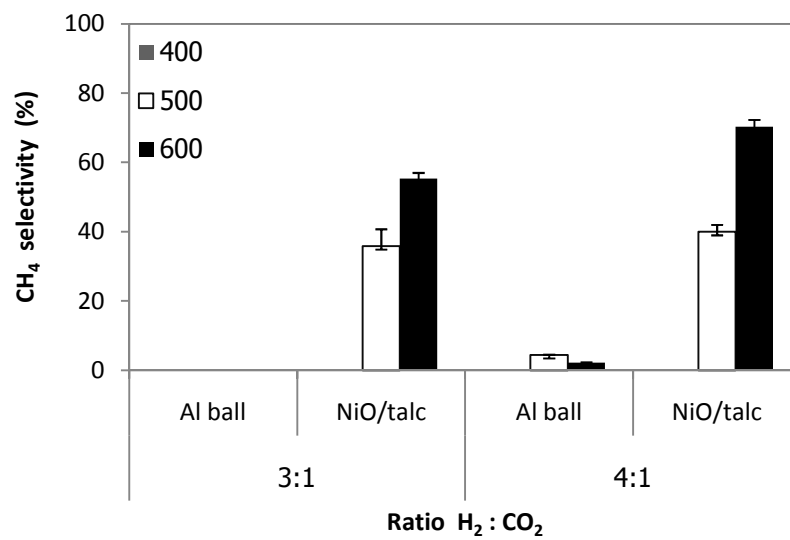
รูปที่ 4.23 ร้อยละการเปลี่ยนของคาร์บอนไดออกไซด์จากกระบวนการมีเทนที่ ความดัน 1 บาร์ อัตราส่วนโดยโมลของ H₂/CO₂ เท่ากับ 3/1 และ 4/1



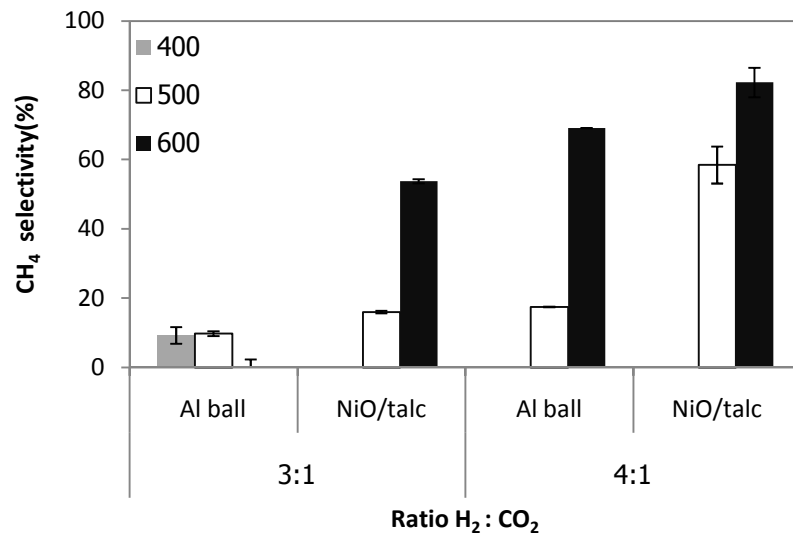
รูปที่ 4.24 ร้อยละการเปลี่ยนของคาร์บอนไดออกไซด์จากกระบวนการมีเทนที่ ความดัน 8 บาร์ อัตราส่วนโดยโมลของ H₂/CO₂ เท่ากับ 3/1 และ 4/1



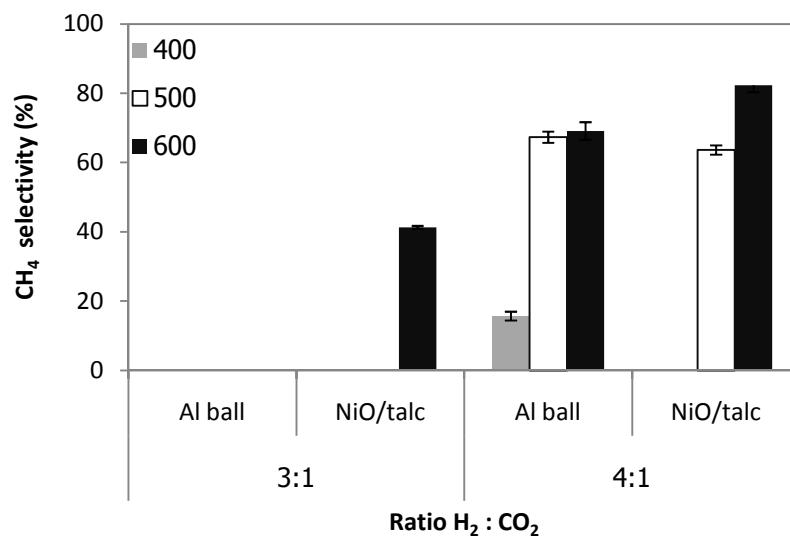
รูปที่ 4.25 ร้อยละการเปลี่ยนของคาร์บอนไดออกไซด์จากกระบวนการมีเทนที่ความดัน 18 บาร์ อัตราส่วนโดยโมลของ H₂/CO₂ เท่ากับ 3/1 และ 4/1



รูปที่ 4.26 ร้อยละการเลือกเกิดมีเทนจากกระบวนการมีเทนที่ความดัน 1 บาร์, อัตราส่วนโดยโมลของ H₂/CO₂ เท่ากับ 3/1 และ 4/1



รูปที่ 4.27 ร้อยละการเลือกเกิดมีเทนจากกระบวนการมีเทนที่ความดัน 8 บาร์
อัตราส่วนโดยโมลของ H₂/CO₂ เท่ากับ 3/1 และ 4/1



รูปที่ 4.28 ร้อยละการเลือกเกิดมีเทนจากกระบวนการมีเทนที่ความดัน 18 บาร์
อัตราส่วนโดยโมลของ H₂/CO₂ เท่ากับ 3/1 และ 4/1

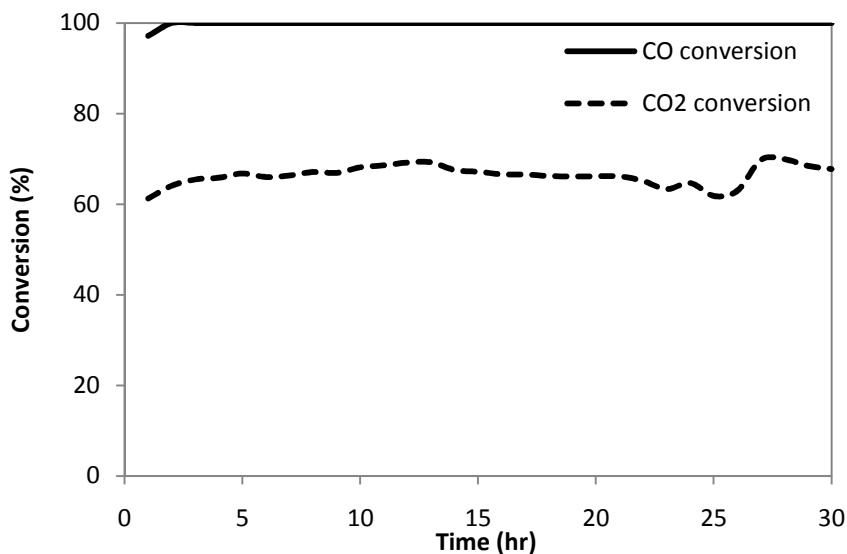
จากรูปที่ 4.23 พบว่าค่าร้อยละการเปลี่ยนของคาร์บอนไดออกไซด์มีค่าเพิ่มขึ้นเมื่อทำการเพิ่มอุณหภูมิ และอัตราส่วนโดยโมล H_2/CO_2 ซึ่งให้ค่าร้อยละการเปลี่ยนของคาร์บอนไดออกไซด์สูงสุดเท่ากับ 85.05 รูปที่ 4.24 แสดงให้เห็นว่ากรณีที่ไม่ใช้ตัวเร่งปฏิกิริยาให้ค่าร้อยละการเปลี่ยนของคาร์บอนไดออกไซด์เท่ากับ ยกเว้นกรณีใช้ตัวเร่งปฏิกิริยาที่ 600 องศาเซลเซียส จะมีค่าร้อยละการเปลี่ยนของคาร์บอนไดออกไซด์สูงสุด และแสดงให้เห็นว่าที่ 600 องศาเซลเซียส อัตราส่วน 4/1 มีค่าร้อยละการเปลี่ยนของคาร์บอนไดออกไซด์เท่ากับ 85 โดยมีค่าเท่ากับกรณีทำการทดลองที่ 1 บาร์

รูป 4.26 ถึง 4.28 แสดงให้เห็นว่าร้อยละการเลือกเกิดมีเทนเท่ากันทั้งกรณีใช้และไม่ใช้ตัวเร่งปฏิกิริยา มีค่าเพิ่มมากขึ้นเมื่อทำการเพิ่มอัตราส่วนโมลของไฮโดรเจนจาก 3/1 เป็น 4/1 ที่ทุกความดัน และมีค่ามากที่สุดที่ 600 องศาเซลเซียส ความดัน 18 บาร์ แต่การใช้ความดันสูงทำให้มีค่าใช้จ่ายสูงและสิ้นเปลืองพลังงานจึงสนใจที่ความดัน 1 บาร์ โดยใช้ตัวเร่งปฏิกิริยา 10wt%NiO/talc เพราะมีค่าร้อยละการเปลี่ยนของคาร์บอนไดออกไซด์ที่ใกล้เคียงกับที่ความดัน 18 บาร์ ซึ่งจากผลการทดลองมีเทนชั้นของคาร์บอนไดออกไซด์เป็นไปตามสมดุลเคมี คือต้องมีปริมาณไฮโดรเจนเพียงพอที่เข้าทำปฏิกิริยากับคาร์บอนไดออกไซด์

4.4 เสถียรภาพของตัวเร่งปฏิกิริยา

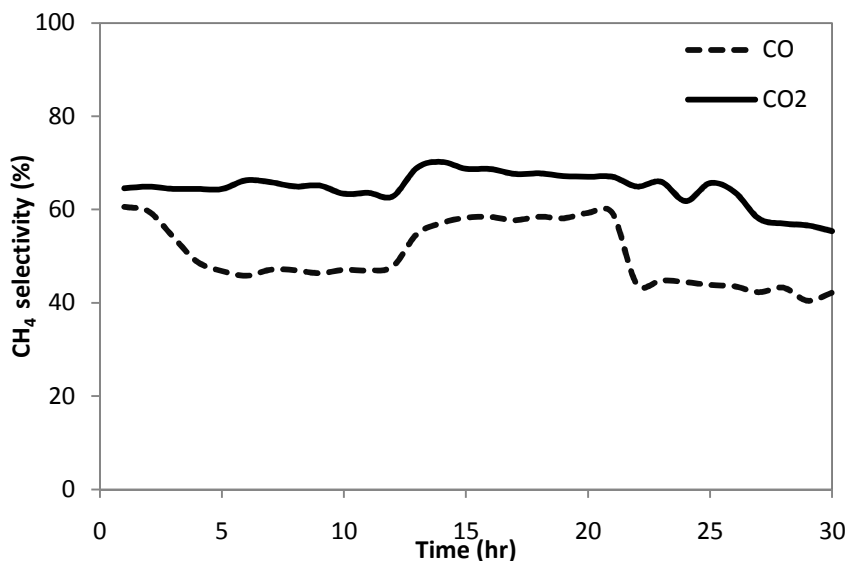
งานวิจัยนี้ได้ใช้ตัวเร่งปฏิกิริยา 10wt%NiO/talc ทั้งปฏิกิริยามีเทนชันของคาร์บอนมอนอกไซด์และมีเทนชันของคาร์บอนไดออกไซด์มีเทนชัน จึงนำตัวเร่งตัวเร่งปฏิกิริยา 10wt%NiO/talc มาทดสอบการเสื่อมสภาพ(deactivation) โดยทำการศึกษาที่อัตราส่วนโมลของไฮโดรเจนต่อโมลของคาร์บอนมอนอกไซด์ มีค่าเท่ากับ 3/1 และ อัตราส่วนโมลของไฮโดรเจนต่อโมลของคาร์บอนไดออกไซด์ มีค่าเท่ากับ 4/1 ที่ความดัน 1 บาร์อุณหภูมิ 600 องศาเซลเซียส เป็นเวลา 30 ชั่วโมง จากรูปที่ 4.29 พบว่าปฏิกิริยามีเทนชันของคาร์บอนมอนอกไซด์สามารถเกิดปฏิกิริยาได้อย่างสมบูรณ์

ส่วนค่าร้อยละการเปลี่ยนของคาร์บอนไดออกไซด์มีค่าเท่ากับ 66.34 และมีแนวโน้มคงที่ตลอดระยะเวลา 30 ชั่วโมง ทั้งนี้คาดว่าน้ำซึ่งเป็นผลิตภัณฑ์จากปฏิกิริยามีเทนชันของคาร์บอนไดออกไซด์ ดังสมการ 2.2 มีผลต่อความว่องไวของตัวเร่งปฏิกิริยา จากงานวิจัยที่ผ่านมาพบว่าตัวเร่งปฏิกิริยาที่มีรูพรุนสามารถดูดซับน้ำไว้ภายในรูพรุน (นรรณวรรณ ถกเถียงติกุล, 2555) ซึ่งไม่สามารถเกิดปฏิกิริยา คือในกรณีที่สารป้อนเป็นคาร์บอนไดออกไซด์ ตรงกันข้ามกับกรณีที่สารป้อนเป็นคาร์บอนมอนอกไซด์ ซึ่งเกิดปฏิกิริยาอวเทอร์แก๊สชิฟต์ (Water-gas shift) ดังสมการ 2.4 ส่งผลให้ค่าร้อยละการเปลี่ยนของคาร์บอนไดออกไซด์ต่ำกว่าการกว่าค่าร้อยละการเปลี่ยนของคาร์บอนมอนอกไซด์



รูปที่ 4.29 ร้อยละการเปลี่ยนของคาร์บอนมอนอกไซด์และคาร์บอนไดออกไซด์มีเทนเนชัน ที่ อุณหภูมิ 600 องศาเซลเซียส ความดัน 1 บาร์ H_2/CO เท่ากับ 3/1 และ H_2/CO_2 เท่ากับ 4/1 โดยใช้ตัวเร่งปฏิกิริยา 10 wt% NiO/talc

รูปที่ 4.30 ร้อยละการเลือกเกิดมีเทนของคาร์บอนมอนอกไซด์และคาร์บอนไดออกไซด์จาก กระบวนการมีเทนเนชัน พบว่าค่าร้อยละการเลือกเกิดมีเทนจากกระบวนการมีเทนเนชันของ คาร์บอนมอนอกไซด์โดยเฉลี่ยประมาณ 40 และค่าร้อยละการเลือกเกิดมีเทนจากกระบวนการมี เทนเนชันของคาร์บอนไดออกไซด์โดยเฉลี่ยประมาณ 63 และมีแนวโน้มคงที่ตลอด 20 ชั่วโมง หลังจากนั้น ค่าร้อยละการเลือกเกิดมีเทนมีแนวโน้มลดลง เนื่องจากการเสื่อมสภาพของตัวเร่ง ปฏิกิริยา ซึ่งโลหะนิกเกิลมีเสื่อมสภาพได้ง่ายที่อุณหภูมิสูง โดยการหลอมรวมกันของโลหะทำให้ พื้นที่ผิวในการทำปฏิกิริยาของตัวเร่งปฏิกิริยาลดลง เป็นสาเหตุให้ความว่องไวของตัวเร่งปฏิกิริยา ในการเลือกเกิดมีเทนลดลง จากการทดสอบพบว่าเสถียรภาพของตัวเร่งปฏิกิริยา 10 wt% NiO/talc มีประสิทธิภาพในการเร่งปฏิกิริยาจำเพาะให้เกิดผลิตภัณฑ์ที่เป็นมีเทนได้ดีภายใน 20 ชั่วโมงแรกทั้งปฏิกิริยามีเทนเนชันของคาร์บอนมอนอกไซด์และคาร์บอนไดออกไซด์

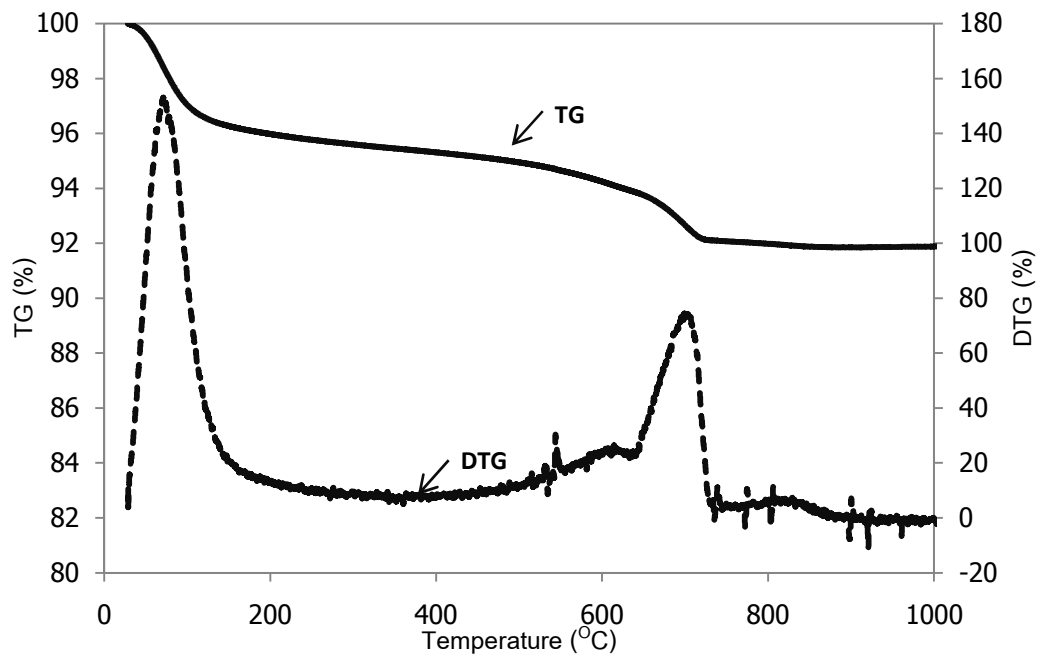


รูปที่ 4.30 ร้อยละการเลือกเกิดมีเทนจากกระบวนการคาร์บอนมอนอกไซด์และคาร์บอนไดออกไซด์มีเทนที่ อุณหภูมิ 600 องศาเซลเซียส ความดัน 1 บาร์, H_2/CO เท่ากับ 3/1 และ H_2/CO_2 เท่ากับ 4/1 โดยใช้ตัวเร่งปฏิกิริยา 10wt%NiO/talc

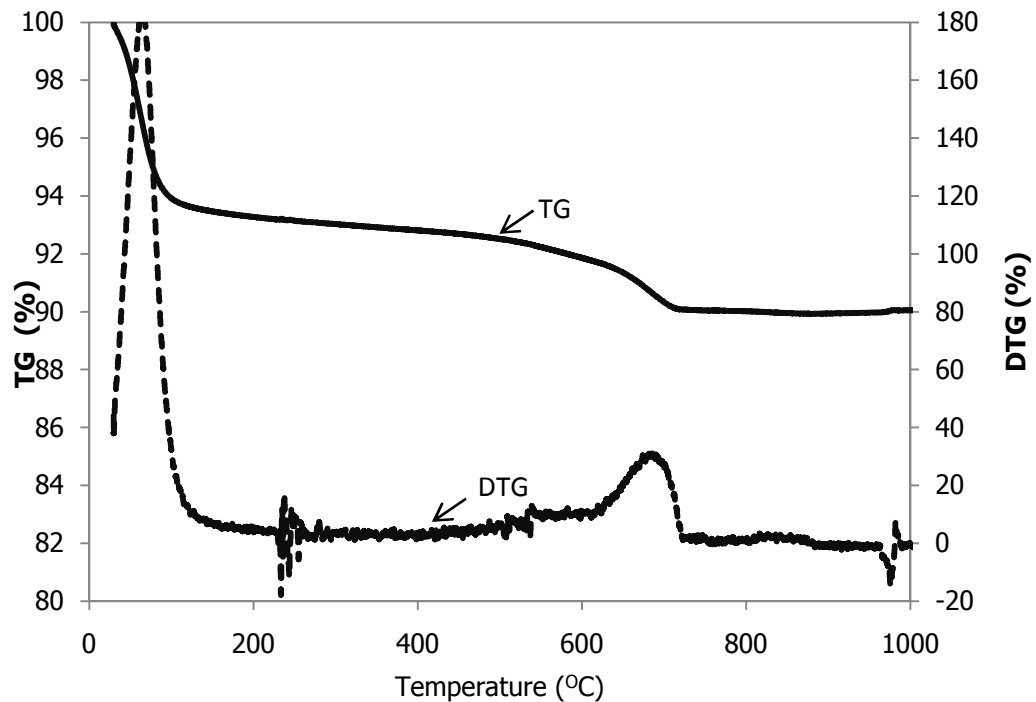
4.4.1 เทคนิควิเคราะห์การเปลี่ยนแปลงน้ำหนักของสารโดยอาศัยคุณสมบัติทางความร้อน (TGA) หลังจากผ่านการทดสอบเสถียรภาพ

ในปฏิกิริยามีเทนชันจำเป็นต้องมีการใช้ตัวเร่งปฏิกิริยา ตัวเร่งปฏิกิริยาส่วนมากที่ใช้ในมีเทนชันคือนิกเกิล แต่นิกเกิลมีปัญหาคือ การเสื่อมสภาพ (deactivation) อย่างรวดเร็วที่อุณหภูมิสูง อันเนื่องมาจาก การเกิดการฝังตัวของโค้กบนพื้นผิวตัวเร่งปฏิกิริยา (coke deposition) หรือการหลอมรวมตัวกันของอนุภาคโลหะ (sintering) เนื่องจากเมื่อทำการทดสอบเสถียรภาพของตัวเร่งปฏิกิริยา แล้วพบว่า มีค่าร้อยละการเลือกเกิดมีเทนของคาร์บอนมอนอกไซด์และคาร์บอนไดออกไซด์จากกระบวนการมีเทนชันลดลง จึงทำการศึกษาหาปริมาณโค้กที่เกิดขึ้นบนพื้นผิวของตัวเร่งปฏิกิริยาที่ผ่านการใช้แล้วของกระบวนการคาร์บอนมอนอกไซด์มีเทนชัน และกระบวนการคาร์บอนไดออกไซด์มีเทนชัน โดยใช้เทคนิค Thermogravimetric analysis (TGA) ที่อุณหภูมิ 40 ถึง 1000 องศาเซลเซียส ผลการทดลองในรูปแบบที่ 4.31 แสดงการสลายตัว

ของโค้กที่อยู่บนผิวของตัวเร่งปฏิกิริยาที่ผ่านการใช้งานในกระบวนการคาร์บอนมอนอกไซด์มีเทนเนชั่น จากการวิเคราะห์ด้วยเทคนิค TGA และรูปที่ 4.32 แสดงการสลายตัวของโค้กที่อยู่บนผิวของของตัวเร่งปฏิกิริยาที่ผ่านการใช้งานในกระบวนการคาร์บอนไดออกไซด์มีเทนเนชั่น



รูปที่ 4.31 ผลการวิเคราะห์ตัวเร่งปฏิกิริยา 10wt%NiO/talc ผ่านการทดลองที่ภาวะ H_2/CO เท่ากับ 3/1 อุณหภูมิ 600 องศาเซลเซียส ที่ความดัน 1 บาร์ หลังทำปฏิกิริยาด้วยเทคนิค TGA



รูปที่ 4.32 ผลการวิเคราะห์ตัวเร่งปฏิกิริยา 10 wt% NiO/talc ผ่านการทดลองที่ภาวะ H_2/CO_2 เท่ากับ 4/1 อุณหภูมิ 600 องศาเซลเซียส ความดัน 1 บาร์ หลังทำปฏิกิริยาด้วยเทคนิค TGA

รูปที่ 4.31 และ 4.32 แสดงให้เห็นว่า เกิดการสลายตัว 2 ช่วง ช่วงแรกเป็นการสลายตัวของน้ำที่อยู่ในรูพรุนของตัวเร่งปฏิกิริยา ตั้งแต่อุณหภูมิ 40 องศาเซลเซียส ถึง อุณหภูมิ 120 องศาเซลเซียส เนื่องจากมีเทนชั้นของคาร์บอนมอนอกไซด์และมีเทนชั้นของคาร์บอนไดออกไซด์เกิดปฏิกิริยาที่ได้ผลิตภัณฑ์ที่มีน้ำ ซึ่งโมเลกุลของน้ำจะอยู่ในรูพรุนของตัวเร่งปฏิกิริยา ช่วงที่สองเป็นการสลายตัวของคาร์บอน (coke) ตั้งแต่อุณหภูมิ 620 องศาเซลเซียส ถึง อุณหภูมิ 750 องศาเซลเซียส และเกิดการสลายตัวมากที่สุดที่ประมาณ 700 องศาเซลเซียส

จากรูปที่ 4.31 และ 4.32 พบว่าตัวเร่งปฏิกิริยา 10wt%NiO/talc ที่ผ่านการใช้งานทั้งสองปฏิกิริยา คือมีเทนชั้นของคาร์บอนนอกไซด์และมีเทนชั้นของคาร์บอนไดออกไซด์เกิดการสลายตัวที่อุณหภูมิเดียวกันคือที่อุณหภูมิ 700 องศาเซลเซียส และจากการคำนวณ พบว่าร้อยละโค้กที่เกิดขึ้นเนื่องจากปฏิกิริยามีเทนชั้นของคาร์บอนนอกไซด์และมีเทนชั้นของคาร์บอนไดออกไซด์ มีค่าปริมาณโค้กที่ใกล้เคียงกัน ประมาณร้อยละ 1 ซึ่งมีค่าน้อยมาก สาเหตุมาจากการที่น้ำที่เกิดขึ้นในมีเทนชั้นเกาะอยู่ในรูพรุนของตัวเร่งปฏิกิริยาส่งผลให้ความสามารถในการเร่งปฏิกิริยาลดลง ปฏิกิริยาจึงไม่ดำเนินไปข้างหน้าทำให้มีปริมาณโค้กที่เกิดขึ้นน้อยมาก

4.5 ผลของ Gas Hour Space Velocity (GHSV)

ในงานวิจัยได้ทำการศึกษาผลของ GHSV โดยใช้ปริมาณตัวเร่งปฏิกิริยา 4 กรัมเวลาในการทำปฏิกิริยาในแต่ละการทดลอง 120 นาที ปริมาตรแก๊สรวมทั้งหมดเท่ากับ 118 มิลลิลิตรต่อนาที มีค่า GHSV เท่ากับ 1416 hr^{-1}

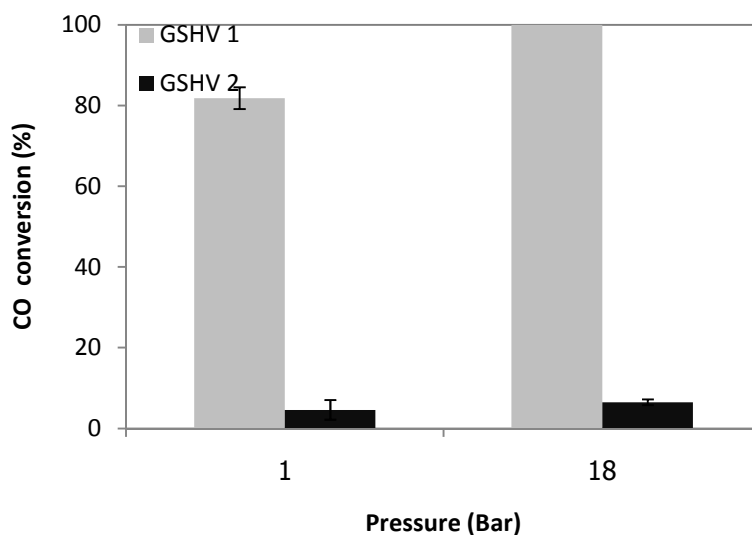
การคำนวณ GHSV

$$\begin{aligned} \text{GHSV} &= \text{Total volumetric gas flow rate} / \text{Bed of catalyst} \\ &= (118 \text{ ml/min}) / (5 \text{ ml}) \\ &= 1416 \text{ hr}^{-1} \end{aligned}$$

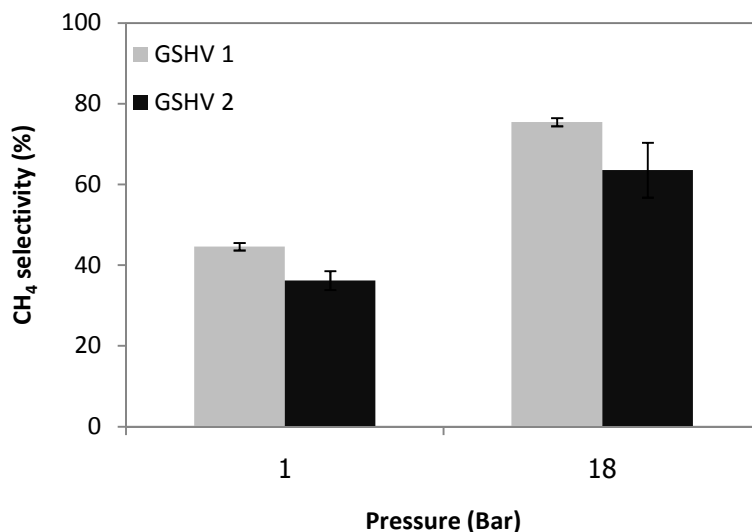
โดยทำเปรียบเทียบอีกสภาวะ คือ ปริมาณตัวเร่งปฏิกิริยา 1 กรัม ปริมาตรแก๊สรวมทั้งหมดเท่ากับ 236 มิลลิลิตรต่อวินาที เวลาในการทำปฏิกิริยาเท่ากัน มีค่า GHSV เท่ากับ 7080 hr^{-1} เมื่อทำการทดลองที่อุณหภูมิ 500 องศาเซลเซียส ความดัน 1 และ 8 บาร์ ค่าร้อยละการเปลี่ยนแปลงและการเลือกเกิดมีเทนที่ได้ แสดงในรูปที่ 4.33 และ 4.34 ตามลำดับ

จากการทดลองพบว่า ร้อยละการเปลี่ยนของคาร์บอนมอนอกไซด์มีค่าลดลงจาก 81.81 เหลือเพียง 4.61 ที่ความดัน 1 บาร์ และลดลงจาก 100 เหลือเพียง 6.05 ที่ความดัน 18 บาร์ โดยมีสัดส่วนสัดส่วนลดลง เมื่อมี GHSV ที่เพิ่มมากขึ้น พบว่าการเพิ่มความดันและการเพิ่ม GHSV ที่อุณหภูมิ 500 องศาเซลเซียส ไม่ส่งผลต่อร้อยละการเปลี่ยนของคาร์บอนมอนอกไซด์ สาเหตุมาจากการเพิ่ม GHSV เป็นการลดเวลาในการเกิดปฏิกิริยา จึงทำให้ค่าร้อยละการเปลี่ยนของคาร์บอนมอนอกไซด์มีค่าลดลง ทำให้ตัวเร่งปฏิกิริยา 10wt%NiO/talc ซึ่งมีความว่องไวที่อุณหภูมิ 571 องศาเซลเซียส ไม่สามารถเกิดปฏิกิริยาได้สมบูรณ์ ดังนั้นถ้าต้องการให้ค่าร้อยละการเปลี่ยนของคาร์บอนมอนอกไซด์ที่มีค่ามากควรทำการทดลองที่ GHSV ที่ 1416 hr⁻¹ ส่วนค่าร้อยละการเลือกเกิดมีเทนลดลงจะลดลงเพียงเล็กน้อยเมื่อทำการเปรียบเทียบกับ GHSV เดิม

- GHSV 1 คือ 1416 hr⁻¹
- GHSV 2 คือ 7080 hr⁻¹



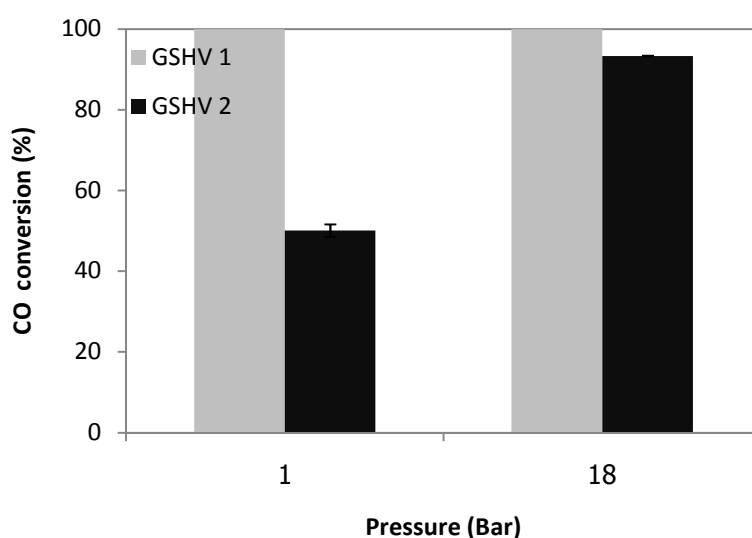
รูปที่ 4.33 ผลของ GHSV ของร้อยละการเปลี่ยนของคาร์บอนมอนอกไซด์ตัวเร่งปฏิกิริยา 10wt%NiO/talc ผ่านการทดลองที่ภาวะ H₂/CO เท่ากับ 3/1 อุณหภูมิ 500 องศาเซลเซียส



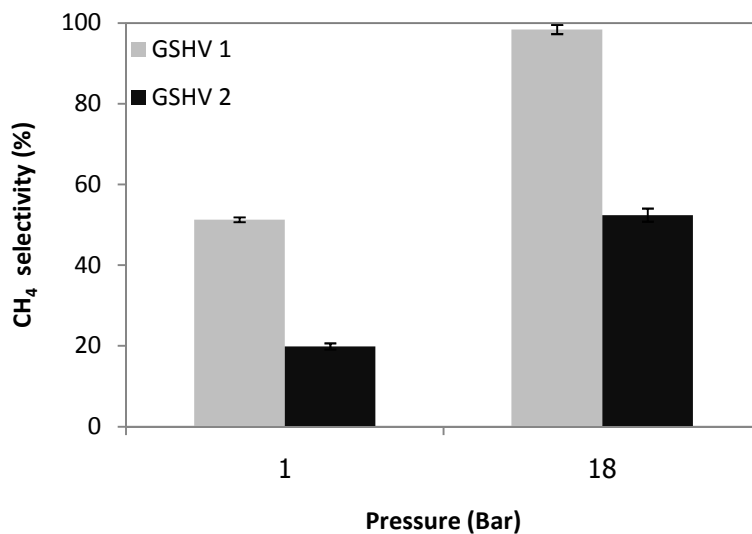
รูปที่ 4.34 ผลของ GHSV ของร้อยละการเลือกเกิดมีเทนของตัวเร่งปฏิกิริยา 10wt%NiO/talc ผ่านการทดลองที่ภาวะ H_2/CO เท่ากับ 3/1 อุณหภูมิ 500 องศาเซลเซียส

เมื่อทำการทดลองศึกษาที่อุณหภูมิ 600 องศาเซลเซียสที่ภาวะการดำเนินการเดียวกัน ผลการทดลองแสดงดังรูปที่ 4.35 และ 4.36 สำหรับค่าร้อยละการเปลี่ยนและร้อยละการเลือกเกิดมีเทนตามลำดับ พบว่าค่าร้อยละการเปลี่ยนของคาร์บอนมอนอกไซด์มีค่าลดลงจาก 100 เหลือเพียง 50.06 ที่ความดัน 1 บาร์ และมีค่าลดลงจาก 100 เหลือเพียง 93.3 ที่ความดัน 18 บาร์ นอกจากนี้ ที่ความดัน 1 บาร์ อุณหภูมิ 600 องศาเซลเซียส การเพิ่มค่า GHSV ทำให้ค่าร้อยละการเปลี่ยนของคาร์บอนมอนอกไซด์มีค่าลดลงประมาณร้อยละ 50 ของ GHSV เดิม เป็นเพราะว่าตัวเร่งปฏิกิริยา 10 wt% NiO/talc มีความว่องไวในการเกิดปฏิกิริยาที่อุณหภูมิสูง จึงทำให้ค่าร้อยละการเปลี่ยนของคาร์บอนมอนอกไซด์ที่อุณหภูมิ 600 องศาเซลเซียส มีค่ามากกว่าที่ อุณหภูมิ 500 องศาเซลเซียส ส่วนที่ความดัน 18 บาร์ ค่า GHSV มีค่าลดลงเพียงเล็กน้อยสาเหตุเกิดจากผลของความดัน คือเมื่อดำเนินการที่ภาวะความดันสูง ค่าร้อยละการเปลี่ยนของคาร์บอนมอนอกไซด์จะขึ้นกับผลของความดันมากกว่าอิทธิพลของค่า GHSV

รูปที่ 4.36 แสดงให้เห็นว่าเมื่อ GHSV เพิ่มขึ้นร้อยละการเลือกเกิดมีเทนลดลงจาก 51.3 เป็น 19.9 แสดงว่า GHSV ส่งผลต่อค่าร้อยละการเลือกเกิดมีเทน ดังนั้นหากต้องการค่าร้อยละการเลือกเกิดมีเทนมาก ควรทำการทดลองที่ค่า GHSV ต่ำ เพราะเป็นการเพิ่มเวลาในการทำปฏิกิริยาในกระบวนการ ส่วนที่ความดัน 18 บาร์นั้น การเพิ่มค่า GHSV ส่งผลให้ค่าร้อยละการเลือกเกิดมีเทนลดลง หนึ่งเท่า เพราะการเพิ่ม GHSV คือเพิ่มอัตราเร็วของแก๊สรวมสองเท่า จึงส่งผลให้ค่าร้อยละการเลือกเกิดมีเทน ลดลงเป็นสองเท่าของค่า GHSV เดิม



รูปที่ 4.35 ผลของ GHSV ของร้อยละการเปลี่ยนของคาร์บอนมอนอกไซด์ตัวเร่งปฏิกิริยา 10wt%NiO/talc ผ่านการทดลองที่ภาวะ H_2/CO เท่ากับ 3/1 อุณหภูมิ 600 องศาเซลเซียส



รูปที่ 4.36 ผลของ GHSV ของร้อยละการเลือกเกิดมีเทนของตัวเร่งปฏิกิริยา 10wt%NiO/talc ผ่านการทดลองที่ภาวะ H_2/CO เท่ากับ 3/1 อุณหภูมิ 600 องศาเซลเซียส

เนื่องจากการวิจัยได้สนใจทำการทดลองที่อุณหภูมิ 600 องศาเซลเซียส ที่ความดันบรรยากาศ เพื่อลดพลังงานในการดำเนินการ ดังนั้นจึงทดสอบผลของ GHSV ที่ความดันบรรยากาศเพียงอย่างเดียว จากผลการทดลองจึงสรุปได้ว่า ปริมาณตัวเร่งปฏิกิริยาที่ใส่ไปในเครื่องปฏิกรณ์ และปริมาณแก๊สรวมทั้งหมดส่งผลต่อค่าร้อยละการเปลี่ยนของคาร์บอนมอนอกไซด์และค่าร้อยละการเลือกเกิดอย่างชัดเจน

บทที่ 5

สรุปผลการทดลอง และข้อเสนอแนะ

5.1 สรุปผลการทดลอง

การศึกษามีเทนชันของคาร์บอนมอนอกไซด์และคาร์บอนไดออกไซด์บนตัวเร่งปฏิกิริยานิกเกิลออกไซด์/ทัลก์ (10 wt% NiO/talc) ในเครื่องปฏิกรณ์แบบเบดนิ่ง สรุปผลการทดลองได้ดังนี้

5.1.1 มีเทนชัน

5.1.1.1 การใช้ตัวเร่งปฏิกิริยา 10 wt% NiO/talc ทำให้ร้อยละการเปลี่ยนและร้อยละการเลือกเกิดมีเทนเพิ่มขึ้นเมื่อทำการเทียบกับกรณีไม่ใช้ตัวเร่งปฏิกิริยา ทั้งมีเทนชันของปฏิกิริยาคาร์บอนมอนอกไซด์มีเทนชันและคาร์บอนไดออกไซด์

5.1.1.2 การเพิ่มความดัน ทำให้ร้อยละการเปลี่ยนของคาร์บอนมอนอกไซด์และคาร์บอนไดออกไซด์ และร้อยละการเลือกเกิดมีเทนเพิ่มขึ้น

5.1.1.3 อุณหภูมิในการทำปฏิกิริยามีผลอย่างมากต่อปริมาณมีเทนที่เกิดขึ้น การเพิ่มอุณหภูมิ ทำให้ร้อยละการเปลี่ยนของคาร์บอนมอนอกไซด์และคาร์บอนไดออกไซด์ และร้อยละการเลือกเกิดมีเทนเพิ่มขึ้น

5.1.1.4 ในปฏิกิริยาคาร์บอนมอนอกไซด์มีเทนชันอัตราส่วนโดยโมลของไฮโดรเจนต่อคาร์บอนมอนอกไซด์ ที่อัตราส่วน 3/1 มีร้อยละการเปลี่ยนของคาร์บอนมอนอกไซด์ และร้อยละการเลือกเกิดมีเทน มากกว่าที่อัตราส่วน 2/1

5.1.1.5 ในปฏิกิริยาคาร์บอนไดออกไซด์มีเทนชั้นอัตราส่วนโมลโดยของไฮโดรเจนต่อคาร์บอนไดออกไซด์ที่อัตราส่วน 4/1 มีร้อยละการเปลี่ยนของคาร์บอนไดออกไซด์ และร้อยละการเลือกเกิดมีเทน มากกว่าที่อัตราส่วน 3/1

5.1.1.6 เมื่อเพิ่ม GSHV โดยการลดปริมาณตัวเร่งปฏิกิริยา และเพิ่มปริมาณไตรอะลูมิเนียมเพิ่มสองเท่า พบว่าค่าร้อยละการเปลี่ยนของคาร์บอนไดออกไซด์ และร้อยละการเลือกเกิดมีเทนจากคาร์บอนไดออกไซด์มีเทนชั้นมีค่าลดลง แสดงให้เห็นว่าค่า GSHV ส่งผลต่อมีเทนชั้น

ภาวะการดำเนินการที่เหมาะสมในปฏิกิริยามีเทนชั้นของคาร์บอนมอนอกไซด์และมีเทนชั้นของคาร์บอนไดออกไซด์ คือ ที่อุณหภูมิ 600 องศาเซลเซียส ความดัน 18 บาร์ แต่เนื่องจากการทำงานที่ความดันสูงทำให้สิ้นเปลืองค่าใช้จ่าย จึงเลือกทำการที่ความดันบรรยากาศ เพราะมีเทนชั้นของคาร์บอนมอนอกไซด์ที่อุณหภูมิ 600 องศาเซลเซียส ความดัน 1 บาร์ สามารถเกิดปฏิกิริยามีเทนชั้นได้สมบูรณ์ และมีค่าร้อยละการเลือกเกิดมีเทนเท่ากับ 51 และปฏิกิริยามีเทนชั้นของคาร์บอนไดออกไซด์มีค่าร้อยละการเปลี่ยนเท่ากับ 85 และมีค่าร้อยละการเลือกเกิดมีเทนเท่ากับ 70

5.2 ข้อเสนอแนะ

1. ศึกษาเพิ่มเติมเกี่ยวกับเวลาที่เหมาะสมในการเกิดปฏิกิริยา เช่น 3 ชั่วโมง เป็นต้น
2. ศึกษาปริมาณตัวเร่งปฏิกิริยาที่ใช้ในแต่ละการทดลอง เช่น 1 2 และ 3 กรัม เป็นต้น
3. ศึกษาปริมาณร้อยละโดยน้ำหนักของนิกเกิลที่ใช้ในตัวรองรับทัลค์ที่เหมาะสมในการเกิดปฏิกิริยา
4. ศึกษาการปรับปรุงประสิทธิภาพของตัวเร่งปฏิกิริยานิกเกิลด้วยโลหะออกไซด์ชนิดอื่น เช่น โคบอล เป็นต้น
5. ศึกษา มีเทนชันของการผสมคาร์บอนมอนอกไซด์และคาร์บอนไดออกไซด์ เพื่อเปรียบเทียบปริมาณมีเทนที่เกิดขึ้นในกระบวนการที่ไม่ได้ทำการผสมคาร์บอนมอนอกไซด์และคาร์บอนไดออกไซด์
6. ปรับปรุงกระบวนการโดยนำข้อมูลที่ได้จากการทดลองไปประยุกต์ใช้ในเครื่องปฏิกรณ์ที่มีขนาดใหญ่ขึ้นเพื่อเปรียบเทียบกับมีเทนที่เกิดขึ้นได้

รายการอ้างอิง

ภาษาไทย

- กัญญา บุญยเกียรติ. เทคโนโลยีแก๊สธรรมชาติ. กรุงเทพมหานคร: โรงพิมพ์จุฬาลงกรณ์มหาวิทยาลัย, 2551.
- ธราธร มงคลศรี. หลักมูลทางวิศวกรรมปฏิกิริยาตัวเร่ง. กรุงเทพมหานคร: ภาควิชาวิศวกรรมเคมี คณะวิศวกรรมศาสตร์ จุฬาลงกรณ์มหาวิทยาลัย, 2530.
- นรรฎวรรณ ถกลเกียรติกุล. การเตรียมโคบอลต์บนเส้นใยซิลิกาอะลูมินา โดยอิเล็กโตรสปินนิง สำหรับการสังเคราะห์ฟิซเซอร์ทอป. วิทยานิพนธ์ปริญญาโทบริหารบัณฑิต, ภาควิชาปิโตรเคมี และวิทยาศาสตร์พอลิเมอร์ คณะวิทยาศาสตร์ จุฬาลงกรณ์มหาวิทยาลัย, 2555.
- วิทยา เรืองพรวิสุทธิ. คะตะไลซิสแบบเฮเทอโรจีเนียส. กรุงเทพมหานคร: โรงพิมพ์จุฬาลงกรณ์มหาวิทยาลัย, 2534.
- วิทยา เรืองพรวิสุทธิโรจน์. ปฏิกิริยาเร่งเคมีเกี่ยวกับผิวและปิโตรเคมี. สมาคมส่งเสริมเทคโนโลยี (ไทย-ญี่ปุ่น), 2547.
- สุธารัตน์ พัวเจริญ. การรีฟอร์มด้วยไอน้ำของโทลูอีนโดยใช้ตัวเร่งปฏิกิริยานิกเกิลออกไซด์บนทัลค์. วิทยานิพนธ์ปริญญาโทบริหารบัณฑิต, ภาควิชาเคมีเทคนิค คณะวิทยาศาสตร์ จุฬาลงกรณ์มหาวิทยาลัย, 2552.

ภาษาอังกฤษ

- Daniela C., da S, Sonia L., Luiz E.P., Lucia G. A., The Ni/ZrO₂ catalyst and the methanation of CO and CO₂. International Journal of Hydrogen Energy, 37,11 (2012): 8923 - 8928.
- Erek J., Edward L. and Calvin H. Catalyst degradation in high temperature methanation. Fuel Processing Technology. 5 (1981): 91-101.

- Fujita, S.I. and N. Takezawa, Difference in the selectivity of CO and CO₂ methanation reactions. Chemical Engineering Journal, 68,1 (1997): 63-68.
- Guido M. and Jacob A. Preparation of supported metal catalysts. Photocatalytic Synthesis Group, IMPACT Institute, University of Twente, The Netherlands.
- Hohlein B., Niessen H., Range J., Methane from synthesis gas and operation of high-temperature methanation. Nuclear Engineering and Design. 78 (1984): 241- 250.
- Jan K., Tilman J.S. and Serge M. Production of synthetic natural gas (SNG) from coal and dry biomass – A technology review from 1950 to 2009. Fuel, 89 (2010): 1763–1783.
- Jens S., Soren D., Joachim J. and Jens R., Methanation of CO over Nickel: Mechanism and Kinetics at High H₂/CO Ratios. Journal of Physical Chemistry, 109 (2005): 2432-2438.
- Jiajian G., Yingli W., Yuan P., Dacheng H., Guangwen X., Fangna G., and Fabing S. A thermodynamic analysis of methanation reactions of carbon oxides for the production of synthetic natural gas. RSC Advances. 2 (2012): 2358–2368.
- Maria S. and A.B., Synthetic Natural gas (SNG) from coal and biomass: a survey of existing process technologies, open issues and perspectives.
- M.C. R., Cazorla-Amorós D., Linares-Solano A. and Salinas-Martínez de Lecea C., CO₂ hydrogenation under pressure on catalysts Pt-Ca/C. Applied Catalysis A: General 134 (1996): 159-167.
- Misirlioglu, Z., Muammer C., and Ali S., Hydrogasification of chars under high pressures. Energy Conversion and Management, 48,1 (2007): 52 - 58.
- Mohamed A., Zakaria Z. and Zulkari Z. Catalytic hydronation of carbon dioxide by Platinum doped Nickel Oxide catalyst. World Applied Science. 4 (2010): 490-495.
- Muhamad B., Choudhury S., Mazen A. and Tomoyuki I. Preferential methanation of CO in a syngas involving CO at lower temperature range. Applied Catalysis A: General. 314 (2006): 47–53.

- Shengli M., Yisheng T. and Yizhuo H., Methanation of syngas over coral reef-like Ni/Al₂O₃ catalysts. Journal of Natural Gas Chemistry, 20,4 (2011): 435 – 440.
- Tada, S., Shimizu T., Kameyama H., Takahide Haneda T., and Kikuchi R., Ni/CeO₂ catalysts with high CO₂ methanation activity and high CH₄ selectivity at low temperatures. International Journal of Hydrogen Energy, 37,7 (2012): 5527 - 5531.
- Takeishi K., Yamashita Y. , and Aika K. Comparison of carbon dioxide and carbon monoxide with respects to hydrogenation on Raney ruthenium catalysts under 1.1 and 2.1 MPa. Applied Catalysis A: General. 168 (1998): 345-351.
- Yue Y., Guo-Qiang J., Ying-Yong W. and Xiang-Yun G, Synthetic natural gas from CO hydrogenation over silicon carbide supported nickel catalysts. Fuel Processing Technology, 92,12 (2011): 2293 - 2298.
- Zhang Y., Guojie Z., Liping .W., Ying X. and Yaling S. Selective methanation of carbon monoxide over Ru-based catalysts in H₂-rich gases. Journal of Industrial and Engineering Chemistr. 2012.

ภาคผนวก

ภาคผนวก ก

วิธีวิเคราะห์โดยเครื่องแก๊สโครมาโตกราฟี

ในงานวิจัยนี้ใช้เครื่องแก๊สโครมาโตกราฟี ยี่ห้อ Shimadzu รุ่น GC-2014 Gas chromatograph (GC) เป็นเทคนิคที่ใช้ในการแยกสารผสมที่ระเหยง่าย โดยสารผสมจะถูกฉีดเข้าไปในคอลัมน์ (Column) ที่บรรจุด้วยสารที่ทำหน้าที่เป็นตัวยึดจับที่เรียกว่า Stationary phase และมีแก๊สพา (Carrier gas) เป็นเฟสเคลื่อนที่ (Mobile phase) เคลื่อนที่ไปตามคอลัมน์เข้าสู่เครื่องวัด (Detector) สัญญาณที่เครื่องตรวจวัดได้รับนั้นจะถูกส่งไปบันทึกเป็นโครมาโตแกรม (Chromatogram) โดยเครื่องบันทึก (Recorder)

โดยแก๊สโครมาโตกราฟีมีส่วนประกอบที่สำคัญดังนี้

1. แก๊สพา (Carrier gas)
2. ตัวควบคุมการไหล (Flow controller)
3. ส่วนที่ฉีดสารตัวอย่าง (Injector port)
4. คอลัมน์ (Column)
5. ดีเทคเตอร์ (Detector)
6. เครื่องบันทึก (Recorder)

ส่วนประกอบที่สำคัญมีดังนี้

1. แก๊สพา(carrier gas)เป็นแก๊สที่ใช้สำหรับพาสารตัวอย่าง ที่ถูกทำให้เป็นไอหรือแก๊สเฟสแล้วที่ส่วนที่ฉีด สารตัวอย่างให้เข้าสู่คอลัมน์ต่อไป แก๊สพานี้ต้องมีการควบคุมอัตราการไหล (Flow rate) ให้คงที่เสมอ โดยสามารถเลือกใช้อัตราการไหลให้เหมาะสมได้ตามต้องการ อัตราการไหลของแก๊สพามี ส่วนสำคัญต่อการวิเคราะห์ทั้งเชิงคุณภาพและปริมาณ ดังนั้นจึงต้องมีการควบคุมให้คงที่ แก๊สพาโดยทั่วไปที่ใช้ในเครื่องควรมีคุณสมบัติคือ มีสมบัติเฉื่อย ไม่เกิดปฏิกิริยากับสารตัวอย่าง มีมวล โมเลกุลต่ำและมีการแพร่กระจาย มีความบริสุทธิ์สูงและราคาไม่แพง แก๊สพาที่ใช้กันโดยทั่วไป ได้แก่ แก๊สไนโตรเจน ฮีเลียม และแก๊สอาร์กอน

2. ดีเทคเตอร์

ดีเทคเตอร์คือเครื่องที่สามารถบ่งบอกว่ามีสารที่ต้องการวิเคราะห์หรือมีสารอื่นที่แตกต่างไปจากแก๊สพาออกมาจากคอลัมน์หรือไม่ ถ้ามีก็จะสามารถวัดได้ว่ามีปริมาณเท่าใดได้ด้วย ดังนั้นเครื่องตรวจวัดจึงต้องเป็นเครื่องที่มีลักษณะเฉพาะ สามารถให้สัญญาณกับสารต่าง ๆ ได้ ให้สภาพ ไวที่สูงพอ มีการตอบสนองที่ดีในช่วงความเข้มข้นของสารที่กว้างพอ และมีหลากหลายชนิด ตาม ความเหมาะสมของงานก็ได้

ลักษณะเฉพาะที่ต้องการของดีเทคเตอร์นั้น ควรจะมีลักษณะเฉพาะในการตอบสนองต่อสารเคมีที่ต้องการวิเคราะห์ดังต่อไปนี้

- ให้สภาพความไวสูง (High sensitivity)
- มีความเฉพาะต่อการตรวจหาสาร (Selectivity)
- ให้ผลการวิเคราะห์เชิงปริมาณในช่วงความเข้มข้นที่กว้างพอที่จะวัดได้อย่างถูกต้อง
- มีเสถียรภาพ (Stability) และความเที่ยง (Reproducibility)

ดีเทคเตอร์ที่นิยมที่ใช้มี 2 ชนิดคือ ทอร์มอลคอนดักติวิตีดีเทคเตอร์ (TCD) และเฟลมไอออนไนเซชันดีเทคเตอร์(FID) โดยในงานวิจัยนี้ใช้ดีเทคเตอร์แบบ TCD

ดีเทคเตอร์แบบ TCP

วิเคราะห์สารที่ออกมาจากแก๊สพา โดยใช้หลักการทำงานดังนี้ แก๊สพาบริสุทธิ์ (Reference gas) กับแก๊สพาที่มีสารตัวอย่างอยู่ด้วยจะมีคุณสมบัติในการนำความร้อน (Thermal conductivity) ที่ต่างกัน เมื่อสารตัวอย่างที่ถูกแยกจากคอลัมน์พร้อมด้วยแก๊สพาผ่านเข้าไปในเครื่องตรวจวัดและผ่านขดลวด (Filament) ซึ่งทำให้ร้อนด้วยกระแสไฟฟ้าปริมาณหนึ่งขดลวดจะเสียความร้อนให้กับแก๊สพาที่มีสารตัวอย่างที่เข้ามาในดีเทคเตอร์แล้ว ดีเทคเตอร์ก็จะทำการปรับกระแสไฟฟ้าเพื่อให้ขดลวดมีความร้อนเท่าเดิม กระแสไฟฟ้าที่ใช้ในการปรับความร้อนนี้จะเป็นสัญญาณส่งเข้าเครื่องบันทึกออกมาเป็นโครมาโทแกรม

ภาคผนวก ข

วิธีการคำนวณ

1. ร้อยละการเปลี่ยนของคาร์บอนมอนอกไซด์จากกระบวนการมีเทนชัน

$$\text{CO conversion (\%)} = \frac{C_{\text{CO,in}} - C_{\text{CO,out}}}{C_{\text{CO,in}}} \times 100$$

2. ร้อยละการเกิดมีเทนจากคาร์บอนมอนอกไซด์มีเทนชัน

$$\% S_{\text{CH}_4} = \frac{C_{\text{CH}_4}}{C_{\text{CO,in}} - C_{\text{CO,out}}} \times 100$$

ตัวอย่างเช่น ตัวเร่งปฏิกิริยา 10wt% NiO/talc ที่อุณหภูมิ 600 องศาเซลเซียส ความดัน 1 บาร์, H₂/CO เท่ากับ 3/1 อัตราการไหลของแก๊สรวมเท่ากับ 118 มิลลิลิตร ต่อนาที

วิธีทำ

ความเข้มข้นของแก๊สคาร์บอนมอนอกไซด์ตั้งต้นก่อนเริ่มทำปฏิกิริยามีค่า 0.620

- 1) ถังที่ 1 (15 นาทีแรก)

ความเข้มข้นของผลิตภัณฑ์แก๊สแต่ละชนิด ประกอบด้วย

- คาร์บอนมอนอกไซด์มีค่า 1.0186
- มีเทนมีค่า 0.2818

$$\text{CO conversion (\%)} = (0.620 - 1.0186) / (0.620) * 100 = 97.006 \%$$

$$\% S_{\text{CH}_4} = (0.2818 * 100) / (0.620 - 1.0186) = 46.71 \%$$

3. ร้อยละการเปลี่ยนของคาร์บอนไดออกไซด์จากกระบวนการมีเทนเนชัน

$$\text{CO}_2 \text{ conversion (\%)} = \frac{C_{\text{CO}_2,\text{in}} - C_{\text{CO}_2,\text{out}}}{C_{\text{CO}_2,\text{in}}} \times 100$$

4. ร้อยละการเกิดมีเทนจากคาร์บอนไดออกไซด์มีเทนเนชัน

$$\% S_{\text{CH}_4} = \frac{C_{\text{CH}_4}}{C_{\text{CO}_2,\text{in}} - C_{\text{CO}_2,\text{out}}} \times 100$$

ตัวอย่างเช่น ตัวเร่งปฏิกิริยา 10wt% NiO/talc ที่อุณหภูมิ 600 องศาเซลเซียส ความดัน 1 บาร์, H₂/CO₂ เท่ากับ 4/1 อัตราการไหลของแก๊สรวมเท่ากับ 118 มิลลิลิตร ต่อนาที

วิธีทำ

ความเข้มข้นของแก๊สคาร์บอนไดออกไซด์ตั้งต้นก่อนเริ่มทำปฏิกิริยามีค่า 0.5487

2) ถู่งที่ 1 (15 นาทีแรก)

ความเข้มข้นของผลิตภัณฑ์แก๊สแต่ละชนิด ประกอบด้วย

- คาร์บอนไดออกไซด์มีค่า 0.1034
- มีเทนมีค่า 0.0183

$$\text{CO conversion (\%)} = (0.5487 - 0.1034) / (0.5487) * 100 = 81.16 \%$$

$$\% S_{\text{CH}_4} = (0.0183 * 100) / (0.5487 - 0.1034) = 4.03 \%$$

ภาคผนวก ค

การหาความเข้มข้นของผลิตภัณฑ์แก๊สแต่ละชนิด

1. ปฏิริยาคาร์บอนมอนอกไซด์มีเทนเนชั่น

ภาวะดำเนินการ H_2/CO เท่ากับ 3/1 ความดัน 1 บาร์ อุณหภูมิ 600 องศาเซลเซียส

- อัตราการไหลแก๊สรวม 118 มิลลิลิตรต่อนาที
 - แก๊สไฮโดรเจน 45.5 มิลลิลิตรต่อนาที
 - แก๊สคาร์บอนมอนอกไซด์ 12.5 มิลลิลิตรต่อนาที
 - แก๊สไนโตรเจน 60 มิลลิลิตรต่อนาที
- เวลาที่เก็บแก๊สทุก 15 นาที บรรจุนในถุงเก็บแก๊ส เป็นเวลา 120 นาที
- ปริมาตรแก๊สในถุงเก็บแก๊ส 1 ถุง เท่ากับ 1770 มิลลิลิตร

ตาราง ค1 ความเข้มข้นของแก๊สแต่ละชนิดของตัวมาตรฐาน (Standard)

ชนิดแก๊ส	area	% balance in N_2
H_2	34023.4	1.00
CO	1890.4	1.00
CH_4	6746	1.00
CO_2	1916.1	1.00

ตาราง ค2 ความเข้มข้นของแก๊สสารตั้งต้นก่อนเริ่มทำปฏิกิริยาแต่ละชนิด

ชนิดแก๊ส	area	% เทียบกับ std	ปริมาตรแก๊ส ในถุง (mL)	จำนวนโมล (mmol)
H ₂	1443436.1	48.11	56.77	2.3216
CO	32122.6	12.85	15.16	0.6200
CH ₄	0	0	0	0
CO ₂	0	0	0	0

ตาราง ค3 ความเข้มข้นของผลิตภัณฑ์แก๊สแต่ละชนิด

1) ถุงที่ 1 (15 นาทีแรก)

ชนิดแก๊ส	area	% เทียบกับ std	ปริมาตรแก๊ส ในถุง (mL)	จำนวนโมล (mmol)
H ₂	1090045	30.44	71.04	1.0786
CO	1315.6	0.53	1.23	1.0186
CH ₄	78253.5	7.95	18.56	0.2818
CO ₂	5317	2.13	4.96	0.0753

2) ถังที่ 2 (30 นาที)

ชนิดแก๊ส	area	% เทียบกับ std	ปริมาตรแก๊ส ในถัง (mL)	จำนวนโมล (mmol)
H ₂	891040	20.49	56.19	0.7342
CO	1109.6	0.44	1.22	0.0159
CH ₄	80040.5	8.17	22.4	0.2928
CO ₂	4936	1.97	5.41	0.0707

3) ถังที่ 3 (45 นาที)

ชนิดแก๊ส	area	% เทียบกับ std	ปริมาตรแก๊ส ในถัง (mL)	จำนวนโมล (mmol)
H ₂	844846.8	18.18	52.99	0.6459
CO	0	0	0	0
CH ₄	83429.3	8.59	25.03	0.3051
CO ₂	4370.8	1.75	5.10	0.0621

4) ถังที่ 4 (60 นาที)

ชนิดแก๊ส	area	% เทียบกับ std	ปริมาตรแก๊ส ในถัง (mL)	จำนวนโมล (mmol)
H ₂	843116.8	18.10	52.55	0.6443
CO	0	0	0	0
CH ₄	85480.2	8.84	25.68	0.3149
CO ₂	4188.9	1.68	4.87	0.0597

5) ถังที่ 5 (75 นาที)

ชนิดแก๊ส	area	% เทียบกับ std	ปริมาตรแก๊ส ในถัง (mL)	จำนวนโมล (mmol)
H ₂	859077.3	18.89	54.53	0.6552
CO	0	0	0	0
CH ₄	87608.8	9.11	26.29	0.3159
CO ₂	4122.2	1.65	4.76	0.0572

6) ถังที่ 6 (90 นาที)

ชนิดแก๊ส	area	% เทียบกับ std	ปริมาตรแก๊ส ในถัง (mL)	จำนวนโมล (mmol)
H ₂	833557.7	17.62	52.36	0.6090
CO	0	0	0	0
CH ₄	88481.5	9.22	27.40	0.3187
CO ₂	4030	1.61	4.79	0.0557

7) ถังที่ 7 (105 นาที)

ชนิดแก๊ส	area	% เทียบกับ std	ปริมาตรแก๊ส ในถัง (mL)	จำนวนโมล (mmol)
H ₂	815195.3	16.70	50.20	0.5891
CO	0	0	0	0
CH ₄	88003.5	9.16	27.53	0.3231
CO ₂	3865	1.55	4.65	0.0545

8) ถังที่ 8 (120 นาที)

ชนิดแก๊ส	area	% เทียบกับ std	ปริมาตรแก๊ส ในถัง (mL)	จำนวนโมล (mmol)
H ₂	815740.2	16.73	50.31	0.5891
CO	0	0	0	0
CH ₄	88115.4	9.17	27.59	0.3231
CO ₂	3831	1.53	4.61	0.0546

2. ปฏิริยาคาร์บอนไดออกไซด์มีเทนเนส

ภาวะดำเนินการ H_2/CO_2 เท่ากับ 4/1 ความดัน 1 บาร์ อุณหภูมิ 600 องศาเซลเซียส

- อัตราการไหลแก๊สรวม 118 มิลลิลิตรต่อนาที
 - แก๊สไฮโดรเจน 50 มิลลิลิตรต่อนาที
 - แก๊สคาร์บอนไดออกไซด์ 8 มิลลิลิตรต่อนาที
 - แก๊สไนโตรเจน 60 มิลลิลิตรต่อนาที
- เวลาที่เก็บแก๊สทุก 15 นาที บรวจในถุงเก็บแก๊ส เป็นเวลา 120 นาที
- ปริมาตรแก๊สในถุงเก็บแก๊ส 1 ถุง เท่ากับ 1770 มิลลิลิตร

ตาราง ค4 ความเข้มข้นของแก๊สแต่ละชนิดของตัวมาตรฐาน (Standard)

ชนิดแก๊ส	area	% balance in N_2
H_2	38460.7	1.00
CO	1886.3	1.00
CH_4	6826.1	1.00
CO_2	4597.6	1.00

ตาราง ค5 ความเข้มข้นของแก๊สสารตั้งต้นก่อนเริ่มทำปฏิกิริยาแต่ละชนิด

ชนิดแก๊ส	area	% เทียบกับ std	ปริมาตรแก๊ส ในถุง (mL)	จำนวนโมล (mmol)
H ₂	1675378.3	59.71	70.46	2.8812
CO	0	0	0	0
CH ₄	0	0	0	0
CO ₂	28427.2	11.37	13.41	0.5487

ตาราง ค6 ความเข้มข้นของผลิตภัณฑ์แก๊สแต่ละชนิด

1) ถุงที่ 1 (15 นาทีแรก)

ชนิดแก๊ส	area	% เทียบกับ std	ปริมาตรแก๊ส ในถุง (mL)	จำนวนโมล (mmol)
H ₂	1018603.1	26.87	69.87	0.0876
CO	0	0	0	0
CH ₄	7397.1	0.61	1.58	0.0183
CO ₂	8597	3.44	8.94	0.0133

2) ถุงที่ 2 (30 นาที)

ชนิดแก๊ส	area	% เทียบกับ std	ปริมาตรแก๊ส ในถุง (mL)	จำนวนโมล (mmol)
H ₂	1003959.9	26.14	60.25	0.0816
CO	0	0	0	0
CH ₄	8306.3	0.69	8.24	0.1019
CO ₂	8314.8	3.33	8.24	0.1020

3) ถุงที่ 3 (45 นาที)

ชนิดแก๊ส	area	% เทียบกับ std	ปริมาตรแก๊ส ในถุง (mL)	จำนวนโมล (mmol)
H ₂	968496.2	24.36	56.33	0.7472
CO	0	0	0	0
CH ₄	90041	9.42	21.77	0.2888
CO ₂	7951.7	3.18	7.35	0.0975

4) ถังที่ 4 (60 นาที)

ชนิดแก๊ส	area	% เทียบกับ std	ปริมาตรแก๊ส ในถัง (mL)	จำนวนโมล (mmol)
H ₂	976876.2	24.78	56.96	0.7601
CO	0	0	0	0
CH ₄	90187	9.44	21.68	0.2894
CO ₂	7834	3.13	7.20	0.0961

5) ถังที่ 5 (75 นาที)

ชนิดแก๊ส	area	% เทียบกับ std	ปริมาตรแก๊ส ในถัง (mL)	จำนวนโมล (mmol)
H ₂	908775.9	21.38	52.21	0.6179
CO	0	0	0	0
CH ₄	103618	11.18	27.29	0.3231
CO ₂	7804.3	3.12	7.62	0.0902

6) ถังที่ 6 (90 นาที)

ชนิดแก๊ส	area	% เทียบกับ std	ปริมาตรแก๊ส ในถัง (mL)	จำนวนโมล (mmol)
H ₂	968602.2	24.37	54.01	0.7474
CO	0	0	0	0
CH ₄	114114.1	12.59	27.90	0.3861
CO ₂	7261.6	2.90	6.44	0.0891

7) ถังที่ 7 (105 นาที)

ชนิดแก๊ส	area	% เทียบกับ std	ปริมาตรแก๊ส ในถัง (mL)	จำนวนโมล (mmol)
H ₂	985929.1	25.24	56.42	0.7489
CO	0	0	0	0
CH ₄	115435.2	12.77	28.55	0.3789
CO ₂	6364.7	2.55	5.69	0.0756

8) ถังที่ 8 (120 นาที)

ชนิดแก๊ส	area	% เทียบกับ std	ปริมาตรแก๊ส ในถัง (mL)	จำนวนโมล (mmol)
H ₂	956746.8	23.78	53.70	0.7150
CO	0	0	0	0
CH ₄	117700.3	13.08	29.55	0.3934
CO ₂	6078.6	2.43	5.49	0.0731

ภาคผนวก ง

ข้อมูลการทดลอง

ตาราง ง1 ข้อมูลการทดลองผลของความดัน และอุณหภูมิ โดยใช้ตัวเร่งปฏิกิริยา 10%wt NiO/talc และกรณีไม่ใช้ตัวเร่งปฏิกิริยา ที่อัตราส่วนโดยโมลของไฮโดรเจนต่อโมลของคาร์บอนมอนอกไซด์ เท่ากับ2/1ในปฏิกิริยาคาร์บอนมอนอกไซด์มีเทน

ตัวเร่งปฏิกิริยา	ความดัน (Bar)	อุณหภูมิ (°C)	CO conversion (%)	CH ₄ selectivity (%)
10% wt NiO/talc Al ball	1	400	0.29	0.00
		500	17.80	33.76
		600	96.60	36.42
		400	3.30	0.00
		500	1.49	0.82
		600	53.69	11.47
10% wt NiO/talc Al ball	8	400	18.87	19.02
		500	29.54	51.17
		600	100.00	56.23
		400	28.85	38.54
		500	89.95	33.28
		600	88.88	42.60
10% wt NiO/talc Al ball	18	400	28.74	28.74
		500	39.87	57.35
		600	100.00	57.11
		400	30.41	42.68
		500	85.63	42.06
		600	86.66	51.77

ตาราง ง2 ข้อมูลการทดลองผลของความดัน และอุณหภูมิ โดยใช้ตัวเร่งปฏิกิริยา 10 wt NiO/talc และกรณีไม่ใช้ตัวเร่งปฏิกิริยา ที่อัตราส่วนโดยโมลของไฮโดรเจนต่อโมลของคาร์บอนมอนอกไซด์เท่ากับ 3/1 ในปฏิกิริยาคาร์บอนมอนอกไซด์มีเทนเนส

ตัวเร่งปฏิกิริยา	ความดัน (Bar)	อุณหภูมิ ($^{\circ}$ C)	CO conversion (%)	CH ₄ selectivity (%)
10% wt NiO/talc Al ball	1	400	0.00	0.00
		500	81.83	44.59
		600	100.00	51.31
		400	0.00	0.00
		500	0.22	0.00
		600	55.08	26.59
10% wt NiO/talc Al ball	8	400	4.64	0.00
		500	100.00	65.33
		600	100.00	76.78
		400	0.00	0.00
		500	58.27	11.00
		600	75.58	29.66
10% wt NiO/talc Al ball	18	400	82.40	55.87
		500	100.00	75.43
		600	100.00	98.54
		400	21.97	50.33
		500	100.00	82.41
		600	100.00	85.02

ตาราง 3 ข้อมูลการทดลองผลของความดัน และอุณหภูมิ โดยใช้ตัวเร่งปฏิกิริยา 10%wt NiO/talc และกรณีไม่ใช้ตัวเร่งปฏิกิริยา ที่อัตราส่วนโดยโมลของไฮโดรเจนต่อโมลของคาร์บอนไดออกไซด์ เท่ากับ 3/1 ในปฏิกิริยาคาร์บอนไดออกไซด์มีเทนเนส

ตัวเร่งปฏิกิริยา	ความดัน (Bar)	อุณหภูมิ (°C)	CO conversion (%)	CH ₄ selectivity (%)
10% wt NiO/talc	1	400	6.80	0.00
		500	38.62	35.86
		600	59.06	55.36
Al ball		400	0.00	0.00
		500	7.24	0.00
		600	38.38	0.00
10% wt NiO/talc	8	400	2.00	0.00
		500	28.17	16.00
		600	58.56	53.75
Al ball		400	9.61	9.26
		500	23.94	9.80
		600	0.00	0.00
10% wt NiO/talc	18	400	0.00	0.00
		500	3.10	0.00
		600	43.68	41.30
Al ball		400	0.00	0.00
		500	0.00	0.00
		600	0.00	0.00

ตาราง 4 ข้อมูลการทดลองผลของความดัน และอุณหภูมิ โดยใช้ตัวเร่งปฏิกิริยา 10%wt NiO/talc และกรณีไม่ใช้ตัวเร่งปฏิกิริยา ที่อัตราส่วนโดยโมลของไฮโดรเจนต่อโมลของคาร์บอนไดออกไซด์ เท่ากับ 4/1 ในปฏิกิริยาคาร์บอนไดออกไซด์มีเทนเนส

ตัวเร่งปฏิกิริยา	ความดัน (Bar)	อุณหภูมิ (°C)	CO conversion (%)	CH ₄ selectivity (%)
10% wt NiO/talc	1	400	7.99	0.00
		500	62.11	39.97
		600	85.06	70.47
Al ball		400	7.99	0.00
		500	28.86	4.43
		600	56.35	2.23
10% wt NiO/talc	8	400	10.78	0.00
		500	41.70	58.43
		600	90.65	73.76
Al ball		400	9.73	0.00
		500	75.48	17.48
		600	81.39	25.79
10% wt NiO/talc	18	400	11.81	0.00
		500	25.94	63.61
		600	85.06	82.28
Al ball		400	21.47	15.67
		500	85.42	67.31
		600	87.13	69.11

ประวัติผู้เขียนวิทยานิพนธ์

นางสาววัจนภรณ์ คำบุญเรือง เกิดเมื่อวันที่ 19 เมษายน พ.ศ.2527 สำเร็จการศึกษาปริญญาตรีวิศวกรรมศาสตรบัณฑิต (ปิโตรเคมีและวัสดุพอลิเมอร์) คณะวิศวกรรมศาสตร์และเทคโนโลยีอุตสาหกรรม มหาวิทยาลัยศิลปากร ในปีการศึกษา 2550 และเข้าศึกษาต่อในหลักสูตรวิทยาศาสตรมหาบัณฑิต ภาควิชาเคมีเทคนิค คณะวิทยาศาสตร์ จุฬาลงกรณ์มหาวิทยาลัย เมื่อ พ.ศ. 2553 สำเร็จการศึกษาปริญญาวิทยาศาสตรมหาบัณฑิต ปีการศึกษา 2555 และได้เข้าร่วมประชุมวิชาการนานาชาติ The 22nd Thai Institute of Chemical Engineering and Applied Chemistry International Conference 2012 (TiChE) ในวันที่ 25 -26 ตุลาคม 2555 ณ โรงแรมเดอะกรีนเนอริตี้สอร์ท เขาใหญ่ จ. นครราชสีมา